

ΕΙΣΑΓΩΓΗ ΣΤΟΝ
ΑΥΤΟΜΑΤΟ ΕΛΕΓΧΟ

(συμπερίληψη διδασκαλίας)

N.T. ΜΑΡΑΤΟΣ

Εισαγωγή στον Αυτόματο Έλεγχο

- Εισαγωγή
 - Μοντελοποίηση
 - Εξισώσεις κατάστασης
 - Χρονική απόκριση συστήματος
 - Ευστάθεια
 - Ελαχιστότητα και παρεκκρίστικότητα
 - Αφρονική απόκριση συστήματος
 - Γαλβανικός τύπος ριζών
- Παράρτημα : μεταχρηματισμοί Laplace και Z.

Επαλήθευση

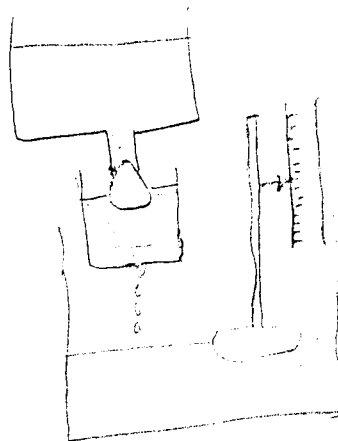
- 1) Γερμική λήψη : πρέζες διανυσμάτων & πίνακων
γερμική μεταφράση, βαθμός πίνακα
υπολογισμός ορίσματος
μεταφορά πίνακα
- 2) Μεταχρηματισμοί Laplace και Z : ορισμοί και ιδιότητες

Βιβλιογραφία

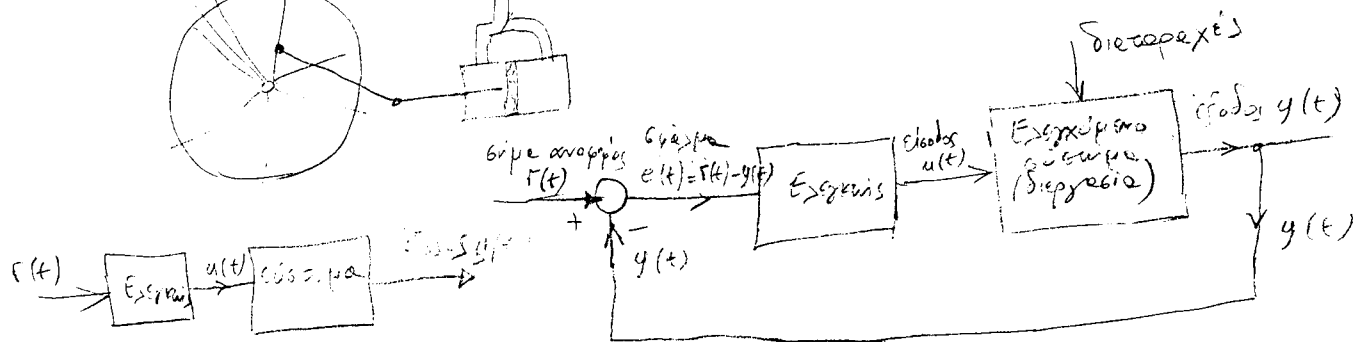
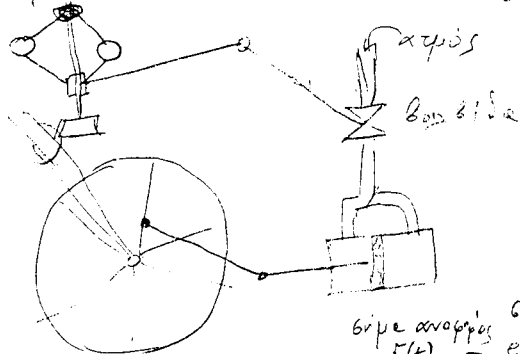
- [1] R. Dorf, R. Bishop, "Σύγχρονα συστήματα αυτομάτου ελέγχου", Εκδ. Τηόρα
- [2] J. Distefano, A. Stubbleud, I. Williams, "Συστήματα αυτομάτου ελέγχου" Εκδ. Τηόρα
- [3] Τ.Γ. Κουσιούρης, "Εισαγωγή στον Αυτόματο Έλεγχο", Συμπόσιος
- [4] Σ. Τζαφρόπουλος, "Αυτόματος Έλεγχος", Αθήνα
- [5] Π. Παρασκευάπουλος, "Συστήματα Αυτόματου Ελέγχου", Αθήνα
- [6] Β. Πετρίδης, " - - - - - ", Θεσσαλονίκη
- [7] Ν. Κριζής, " - - - - - ", Αθήνα

1. Εισαγωγή

300 π.Χ. υδραυλικό ρολόι του Κτησίβιου :
 150 π.Χ. Ηρώ ο Αλεξανδρινός
 (υδραυλικά & πνευματικά συστ. ελέγχου)



1769 μ.Χ. James Watt υδρ. πίεσης - ατμ. μηχανής



Σ.Ε. ανοικτού βρόχου

Σ.Ε. κλειστού βρόχου

19^{ος} αιώ.: J. Maxwell θεωρία ρυθμίσεων Watt, Vyshegradskii θεωρία ρυθμίσεων, I

19^{ος} 20^{ος} αιώ.: Bode, Nyquist πεδίο συχνότητας, Lyapunov θεωρία σταθερότητας (απόδοσης)

19^{ος} 20^{ος} αιώ.: Θεωρία γραμμικών συστημάτων, εξισώσεις διαφορών, βέλτιστος έλεγχος

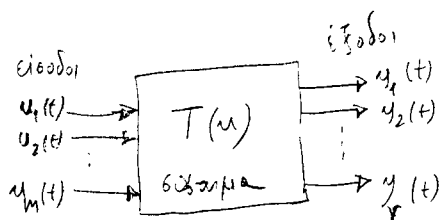
1970 : Έλεγχος μέσω Η/Υ, προηγμένη θεωρία ελέγχου (δορυφορικός, τρομοεργοποιός)

1980 : Εξέλιξη ελέγχου, ρομποτική

Άλλες λειτουργίες αυτοματισμού εκτός του απλού ελέγχου.

- ρογνίς και ακολουδιακός έλεγχος : αλληλοεξαρτώμενες αβεβαιότητες & καθυστερήσεις
 παραδοσιακά με ηλεκτρονικούς (ρελαί), τώρα με PLC (programmable logic controllers)
- υπολογισμός βέλτιστων ενεργειών λειτουργίας και οφόντων ανατορής (off-line)
- βιοδυναμικές λειτουργίες : παρακολούθηση επιδόσεων, ανίχνευση βλαβών, επίπεδα απόδοσης και παραγομένων προϊόντων, προγραμματισμός παραγωγής κ.α.

Σε σύγχρονες μηχανές εγκαταστάσεις : Σύνθετο Η/Υ.



Σύστημα με μεταβλητές T π.ω. $y(t) = T(u(t))$ αρχικές συνθήκες
 Σύστημα με μεταβλητές T π.ω. $y(t) = T(u(t), t, x_0)$
 όπου $u(t) = \begin{bmatrix} u_1(t) \\ \vdots \\ u_m(t) \end{bmatrix}$, $y(t) = \begin{bmatrix} y_1(t) \\ \vdots \\ y_r(t) \end{bmatrix}$ διανύσματα εισόδων & εξόδων αντίστοιχα

Το πρόβλημα του αυτομάτου εφέδχου.

Ανάγκη : Αν δοθούν προς έλεγχο σύστημα και εξεχτικές νέ ερεδών οι έξδοι για κάθε ώρα αναφοράς.

Σχεδίαση : Αν δοθεί προς έλεγχο σύστημα να ερεδεί εξεχτικές τέτοιος ώστε το σύστημα κλειστό βρόχου (κλεισθήμενο σύστημα ή σύστημα έλεγχου) να έχη επιθυμητή συμπεριφορά.

Βασικές απαιτήσεις από σύστημα έλεγχου.

1) Ευσταθία : ότα τα σήματα (εναρτήεις $y(t)$, $\dot{y}(t)$, $e(t)$) να συγκλίνουν όταν

$t \rightarrow \infty$ ή τουλάχιστον να είναι φραγμένα όταν $t \rightarrow \infty$.

Ευρωστός ή ημεγέτος έλεγχος : ο έλεγχος εφερείλει σήματα ότα το σύστημα έχη αέβαιότητα.

2) Ικανότητα παρακολούθησης : Το δεινόμε έξόδον $y(t)$ πρέπει να ακολουθεί το δεινόμε αναφοράς $r(t)$ το οποίο περιέχει τις επιθυμητές αποκρίεις του συστήματος κ.λ.βρ.

Αν $r(t)$ ανεξάρτητο του χρόνου : πρόβλημα ρύθμισης (regulation)

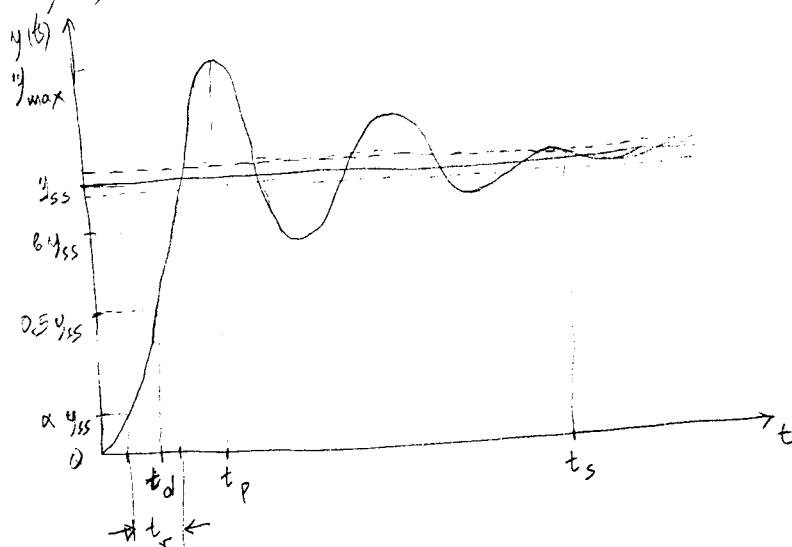
π.χ. θερμοκρασία χώρου, στάθμη υγρού, ταχύτητα τρένου κ.λ.π.

Αν $r(t)$ εξαρτάται από τον χρόνο : πρόβλημα παρακολούθησης (tracking)

π.χ. παρακολούθηση σήχου απόρροιας, δοσφόρου από κεραία κ.λ.π.

Η ικανότητα παρακολούθησης αξιολογείται με βάση την δυναμική απόκριση

$y(t)$ του συστήματος κλειστού βρόχου. Προδιαγράφονται οι εής παράμετροι :



— χρόνος καθυστέρησης t_d :
 $y(t_d) = 0.5 y_{ss}$

— χρόνος ανόδου t_r :
 $y(t_1) = \alpha y_{ss}, y(t_2) = \beta y_{ss}$
 $t_r = t_2 - t_1$
συνήδως $\alpha = 0.1, \beta = 0.9$

— χρόνος κορυφής t_p :
 $y(t_p) = y_{\max} \triangleq \max_t \{y(t)\}$

— μέγιστη % υπερπήδηση $M_p \triangleq \frac{y_{\max} - y_{ss}}{y_{ss}} \cdot 100 \%$

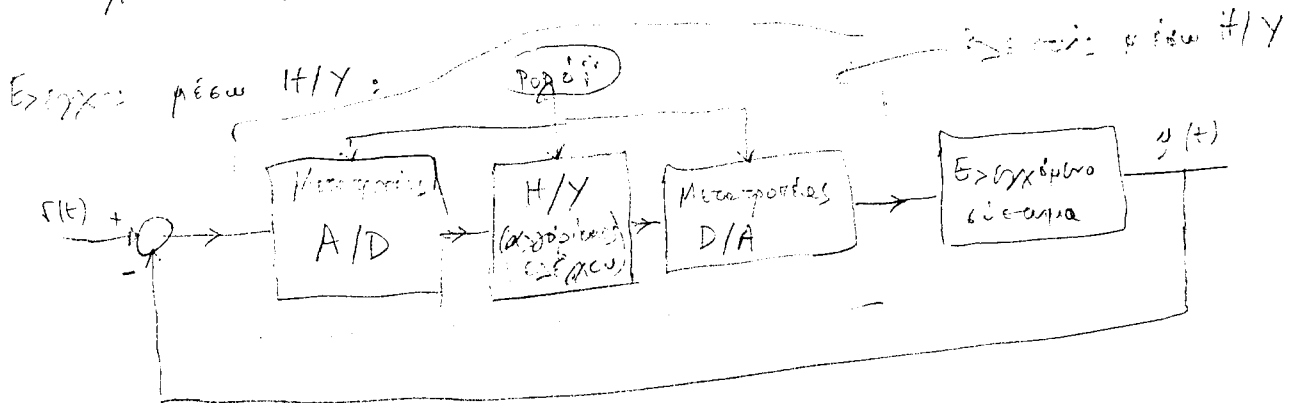
— χρόνος αποκατάστασης t_s : ο χρόνος που απαιτείται για να γράβει καν να παρεμυνη η $y(t)$ σε μία περιοχή της τελικής τιμής y_{ss} :

$$|y(t) - y_{ss}| \leq \gamma y_{ss} \quad \forall t \geq t_s \quad (\text{συνήδως } \gamma = 5\% \text{ ή } 2\%)$$

— σφάλμα μόνιμης κατάστασης e_{ss} : $e_{ss} \triangleq \lim_{t \rightarrow \infty} \{r(t) - y(t)\}$

3. Απόρριψη διαταραχών: Οι διαταραχές είναι τυχαία αίρετα σήματα στο προς έλεγχο σύστημα (π.χ. άνεμος σε ραντάρ) που επηρεάζουν τις εξόδους. Είναι επιθυμητό στο ανασχεδιασμένο σύστημα η επίδρασή τους να είναι μικρή ή μηδενική.

4. Αποσίζευση εισόδου-εξόδου. Η μεταβολή μερικών παραμέτρων του διασυστήματος αναφέρει $y(t)$ είναι επιθυμητό να επηρεάζει η αντίστοιχη συνιστώσα του διασυστήματος εισόδου $u(t)$ να πάρει ή εισόδου τις ίδιες συνιστώσες του $y(t)$. Π.χ. αεροπλάνο.



Ανταρρέατος ελεγχόμενος: σύστημα διακριτού χρόνου
αυτό που έχουμε ο H/Y : --- --- ---

2. ΜΟΝΤΕΛΟΠΟΙΗΣΗ

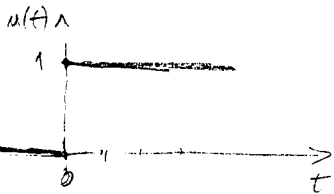
2.1 Ορισμοί

Διασυνδεδεμένο φυσικό δίκτυο: συλλογή φυσικών αντικειμένων (μελών, εξαρτήτων, αποθεωμάτων, πυκνωτών, αντιστάσεων, βαλβίδων, δοχείων αποθήκευσης κ.λπ.) διασυνδεδεμένων μεταξύ τους.

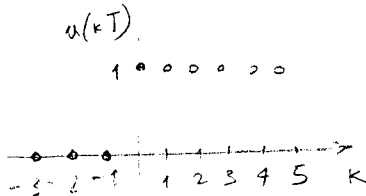
Περιβάλλον: ό,τι \notin στο σύστημα.

Σήμα: συνάρτηση του χρόνου ή/και άλλων μεταβλητών που έχει φυσική υπόσταση (π.χ. τάση, ταχύτητα, πίεση κ.λπ.)

Διακρίνει σήματα ως προς το πεδίο ορισμού: συνεχούς χρόνου, διακριτού χρόνου



Συνεχής συνάρτηση π.χ. $u(t)$



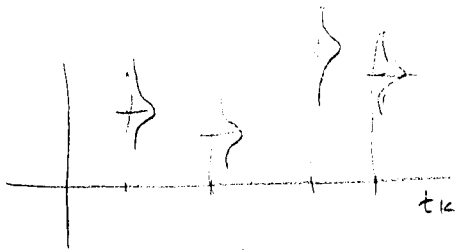
Διακριτή συνάρτηση π.χ. $u(kT)$

ορίζεται $\forall t \in \mathbb{R}$

ορίζεται μόνο για

$t_k, k \in \mathbb{N}$
(συνήθως $t_k = kT$, $k \in \mathbb{N}$)

Διακρίνει σήματα ως προς το πεδίο τιμών: υαεσφρηνιστικά, στοχευμένα



Στοχευμένο σήμα διακριτού χρόνου

$f(t) \in \mathbb{R}$ ή $f(kT) \in \mathbb{R}$, $f(t)$ ή $f(kT)$ μία τυχαία μεταβλητή (κατανομή πιθανότητας) σε τις διάφορες περιοχές πριν του σήματος

Σύστημα - περιβάλλον: επικοινωνούν με σήματα.

Ακροδέκτης συστήματος: σήμα του συστήματος διαδίδεται στο περιβάλλον.

Είσοδοι ή διεγέρσεις: σήματα που προέρχονται από το περιβάλλον και εισέρχονται στο σύστημα χωρίς να επηρεάζονται από αυτό.

Έξοδοι ή αποκρίσεις: σήματα που παράγονται από το σύστημα (όταν αποκρίσεις στις διεγέρσεις που δέχεται) και επικοινωνούνται προς το περιβάλλον

$$\text{Διάνυσμα εισόδων: } u(t) = \begin{bmatrix} u_1(t) \\ u_2(t) \\ \vdots \\ u_m(t) \end{bmatrix}, \quad u(t_k) = \begin{bmatrix} u_1(t_k) \\ u_2(t_k) \\ \vdots \\ u_m(t_k) \end{bmatrix}$$

$$\text{Διάνυσμα εξόδων: } y(t) = \begin{bmatrix} y_1(t) \\ y_2(t) \\ \vdots \\ y_q(t) \end{bmatrix}, \quad y(t_k) = \begin{bmatrix} y_1(t_k) \\ y_2(t_k) \\ \vdots \\ y_q(t_k) \end{bmatrix}$$

Μαθηματικό μοντέλο φυσικού συστήματος : μαθηματική περιγραφή των νόμων της φύσης εφαρμοσμένων πάνω στο φυσικό σύστημα.

Μοντελοποίηση : διαδικασία όρεσης μαθηματικού μοντέλου

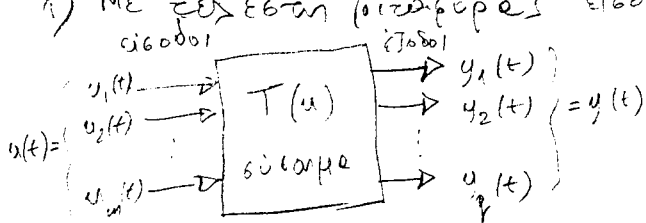
Μεσα τη μοντελοποίηση "σύστημα" \equiv μαθηματικό μοντέλο.

Διακρίσεις συστημάτων :

- ηλεκτρικά, μηχανικά, γραμμικά, μηχανικά περιστροφικά, υδραυλικά/πνευματικά, θερμικά, μισα
- συνεχούς χρόνου, διακριτού χρόνου
- γραμμικά, μη-γραμμικά
- χρονικά σταθερά, χρονικά μεταβαλλόμενα
- μίας ή πολλών εισόδων, μίας ή πολλών εξόδων
- ντετερμινιστικά, стоχαστικά.

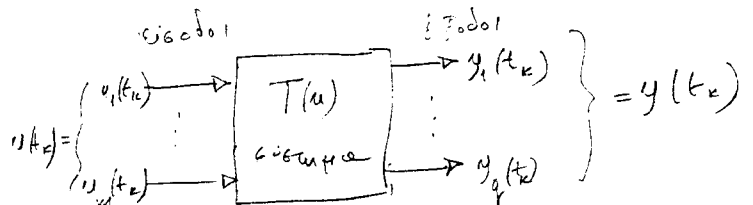
2.2 Τρόποι περιγραφής συστημάτων

1) Με πεπεσμένη (πεταστή) εισόδους - εξόδους



$$y(t) = T(u(t), t, x_0), \quad \forall t \geq t_0$$

συνεχούς χρόνου



$$y(t_k) = T(u(t_k)), \quad k=0,1,2,\dots$$

διακριτού χρόνου

2) Με διαφορικές εξισώσεις (εξισώσεις διαφορών) εισόδους - εξόδους

συνεχούς χρόνου : $F(y(t), y^{(1)}(t), y^{(2)}(t), \dots, y^{(n)}(t), u(t), u^{(1)}(t), \dots, u^{(p)}(t), t) = 0$

όπου $y^{(k)}(t) = \frac{d^k y(t)}{dt^k}$

διακριτού χρόνου : $F(y(t_k), y(t_{k+1}), y(t_{k+2}), \dots, y(t_{k+n}), u(t_k), u(t_{k+1}), \dots, u(t_{k+p}), t) = 0$

F : διανυσματική συνάρτηση με πεδίο τιμών $\subset \mathbb{R}^p$

Χρονικά σταθερό αν F δεν εξαρτάται από t ή k

Γραμμικό αν F γραμμικό

χρονικά σταθερό αν $y(t-\tau) = T(u(t-\tau)) \quad \forall \tau$ ή $y(t_k-\sigma) = T(u(t_k-\sigma)) \quad \forall \sigma$

γραμμικό αν $T(\alpha \tilde{u}(t) + \beta \tilde{v}(t)) = \alpha T(\tilde{u}(t)) + \beta T(\tilde{v}(t)) \quad \forall \alpha, \beta \in \mathbb{R}$

3) Με εξισώσεις κατά τον χρόνο :

$$\dot{x}(t) = f(x(t), u(t), t)$$

$$y(t) = g(x(t), u(t), t)$$

μη-γραμμικό,
χρονικά μεταβαλλόμενο

$$\dot{x}(t) = f(x(t), u(t))$$

$$y(t) = g(x(t), u(t))$$

μη-γραμμικό
χρονικά απερίσπαστο

$$\dot{x}(t) = A(t)x(t) + B(t)u(t)$$

$$y(t) = C(t)x(t) + D(t)u(t)$$

γραμμικό
χρονικά μεταβαλλόμενο

$$\dot{x}(t) = Ax(t) + Bu(t)$$

$$y(t) = Cx(t) + Du(t)$$

γραμμικό
χρονικά απερίσπαστο

Διακριτά χρονικά

$$x(t_{k+1}) = f(x(t_k), u(t_k), t_k)$$

$$y(t_k) = g(x(t_k), u(t_k), t_k)$$

$$x(t_{k+1}) = f(x(t_k), u(t_k))$$

$$y(t_k) = g(x(t_k), u(t_k))$$

$$x(t_{k+1}) = A_k x(t_k) + B_k u(t_k)$$

$$y(t_{k+1}) = C_k x(t_k) + D_k u(t_k)$$

$$x(t_{k+1}) = Ax(t_k) + Bu(t_k)$$

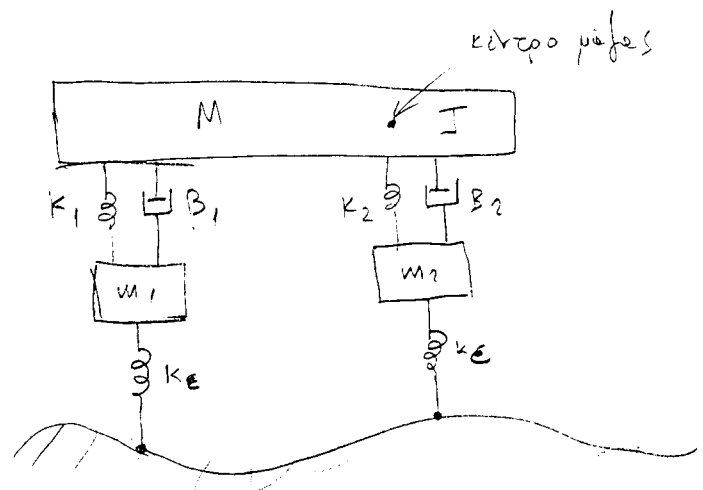
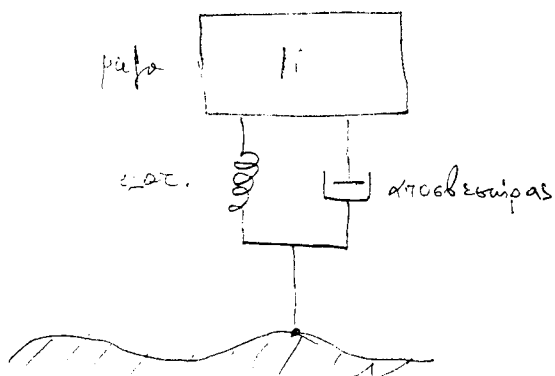
$$y(t_{k+1}) = Cx(t_k) + Du(t_k)$$

$$x(t) = \begin{bmatrix} x_1(t) \\ x_2(t) \\ \vdots \\ x_n(t) \end{bmatrix}, \quad x(t_k) = \begin{bmatrix} x_1(t_k) \\ x_2(t_k) \\ \vdots \\ x_n(t_k) \end{bmatrix}$$

← διάνομα καταστάσεων.

(απαιτείται να είναι μέγιστο και πλήρες)

Διεικτική μοντελοποίησης \Rightarrow εξίσωση συστήματος που επιτρέπει συνήθως και άλλες μεταβλητές εκτός των $u(t), y(t), x(t)$
 \therefore απαιτούνται απλοποιήσεις



σύστημα ανεξάρτητης αυτοκινήτου

2.3 Βασικές αρχές μοντελοποίησης

8

Διασυνδεδεμένο σύστημα: αποτελείται από (επιδεδομένους) μεγάλο αριθμό απλών (υπο)συστημάτων (πρώτων στοιχείων) διασυνδεδεμένων μεταξύ τους.

Πρώτα ή βασικά στοιχεία: - τα απλούστερα δυνατά συστήματα
- τα διαφορετικά είδη στοιχείων είναι λίγα
- η λειτουργία τους βασίζεται σε απλά φυσικά φαινόμενα

Τοπολογία συστήματος: - ο τρόπος αλληλοσυνδεύσεως των στοιχείων
- μπορεί να είναι ποικίλη

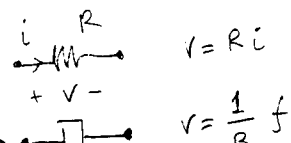
Εξισώσεις φυσικού συστήματος:

(i) Περιγραφικές σχέσεις στοιχείων (Π.Σ.Σ.)

- 1 ή 2 για κάθε στοιχείο
- εξαρτώνται από το είδος του στοιχείου
- είναι αλγεβρικές ή διαφορικές εξισώσεις γραμμικές ή μη-γραμμικές

(ii) Σχέσεις αλληλοσυνδεύσεως

- είναι γραμμικές αλγεβρικές εξισώσεις
- δεν εξαρτώνται από το είδος των στοιχείων που επηρεάζονται
- εκφράζουν βασικούς νόμους της φύσης του συστήματος (π.χ. νόμοι Kirchhoff)

Ε ομοιογένεια των Π.Σ.Σ. σε διάφορα φυσικά συστήματα:  $v = Ri$

⇒ Ε αναλογίες μεταξύ στοιχείων διαφόρων φ.σ.

⇒ Ε γενικευμένη περιγραφή συστημάτων (εν πολλοίς) ανεξάρτητη των φυσικών φαινομένων που λαμβάνουν χώρα.

Βάση για την γενικευμένη περιγραφή: ένα ζευγάρι μεταβλητών $v(t)$, $i(t)$

$i(t)$: Γενικευμένη Μεταβλητή Εντάσεως (ΓΜΕ)

- Για περνά το στοιχείο, ~~δεν κτείνεται στο χώρο~~, χαρακτηρίζεται στην αναφορά
- αμεση ροή ρεύματος i , δύναμη f , ροπή T , παροχή ρεύματος Q , παροχή θερμότητας

$v(t)$: Γενικευμένη Μεταβλητή Τάσης (ΓΜΤ)

- βρίσκεται κατά μήκος του στοιχείου απαιτείται στην αναφορά
- τάση v , ταχύτητα u , γωνιακή ταχύτητα ω , διαφορά πίεσης ΔP , διαφορά θερμοκρασίας Δ

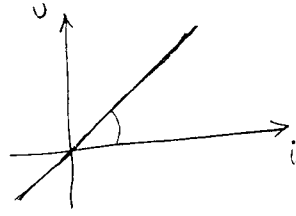
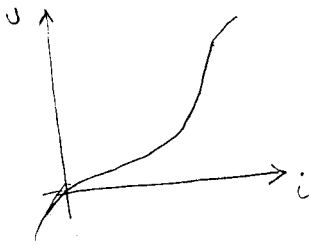
$P(t) = v(t)i(t)$ ← ισχύς σε κάθε φ.σ. εκτός θερμικών

→ Δύο συστήματα:

2.4 Περιγραφή πρώτων στοιχείων

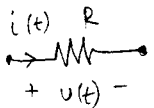
9

(α) Γενικευμένη ανίσταση.



χαρακτηριστική $u-i$

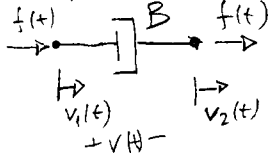
Ωμική ανίσταση



$$u(t) = R i(t)$$

$$V(s) = R I(s)$$

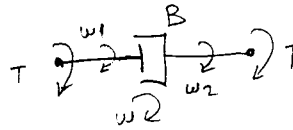
γραμμικός
πλίκας



$$v(t) = v_1(t) - v_2(t) = \frac{1}{B} f(t)$$

$$V(s) = \frac{1}{B} F(s)$$

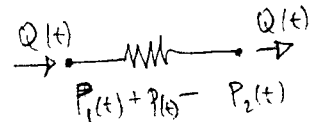
περιστροφικός
επίβιας



$$\omega(t) = \omega_1(t) - \omega_2(t) = \frac{1}{B} T(t)$$

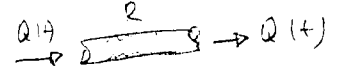
$$Q(s) = \frac{1}{B} T(s)$$

υδραυλική
ανίσταση
(μη-υποβάθρου ποί)



$$P(t) = P_1(t) - P_2(t) = R Q(t)$$

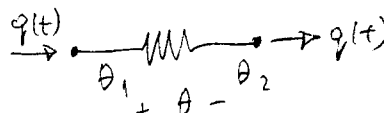
$$P(s) = R Q(s)$$



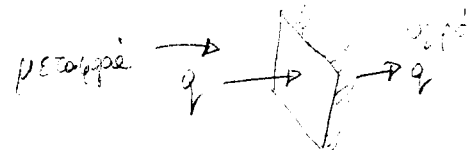
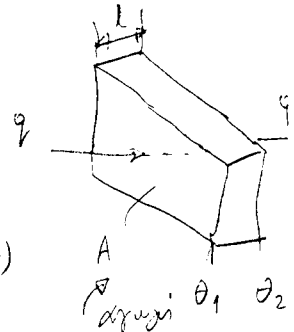
υδραυλική
ανίσταση
(υποβάθρου ποί,
χωνίες, στενώσεις,
πρεσύνσεις)

$$P(t) = P_1(t) - P_2(t) = R_T (Q(t))^2$$

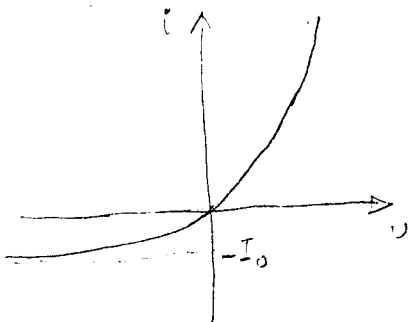
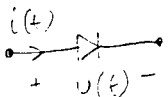
Θερμική ανίσταση
(μετάδοση θερμότητας
με αγωγή ή μεταφορά)



$$q(t) = \frac{1}{R} (\theta_1(t) - \theta_2(t)) = \frac{1}{R} \Theta(t)$$



Δίοδος

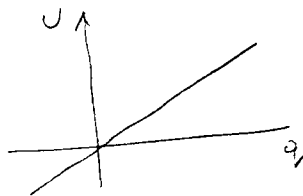
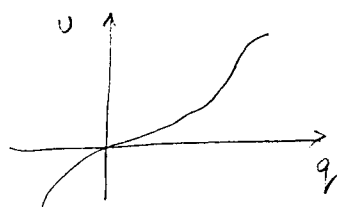


$$i(t) = f(u(t))$$

$$i(t) = I_0 (e^{\alpha u(t)} - 1)$$

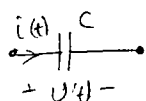
(β) Γενικωμένη χωρητικότητα.

$$q(t) \triangleq \int_{-\infty}^t i(\tau) d\tau \leftarrow \text{χωρημένο φορτίο (ορμή, απορροφή)}$$



χαρακτηριστική $q-u$

Πυκνωτής

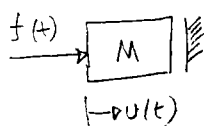


$$u(t) = \frac{1}{C} q(t)$$

$$\Leftrightarrow i(t) = C \frac{du(t)}{dt}$$

$$I(s) = s C V(s) - C u(0)$$

Μάζα

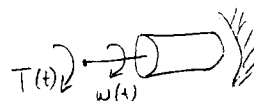


$$v(t) = \frac{1}{M} q(t)$$

$$\Leftrightarrow f(t) = M \frac{dv(t)}{dt}$$

$$F(s) = s M V(s) - M v(0)$$

Ροπή αδράνειας

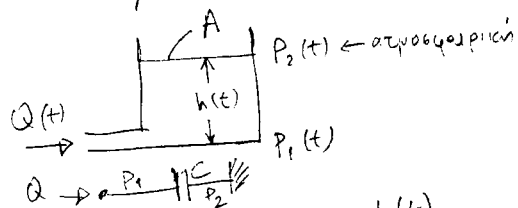


$$w(t) = \frac{1}{J} q(t)$$

$$\Leftrightarrow T(t) = J \frac{dw(t)}{dt}$$

$$T(s) = s J \Omega(s) - J w(0)$$

Υδραυλική/πνευματική χωρητικότητα
πνευματική χωρητικότητα



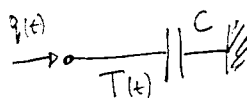
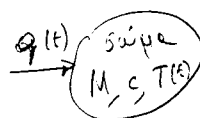
$$P(t) = P_1(t) - P_2(t) = \rho g h(t)$$

$$Q(t) = A \frac{dh(t)}{dt} = \frac{A}{\rho g} \frac{dP(t)}{dt}$$

$$Q(t) = C \frac{dP(t)}{dt}, \quad C = \frac{A}{\rho g}$$

$$Q(s) = s C P(s) - C P(0)$$

Θερμική χωρητικότητα



αδίκη θερμότητα

$$q(t) = M C \frac{dT(t)}{dt} = C \frac{dT(t)}{dt}$$

$$Q(s) = s C T(s) - C T(0)$$

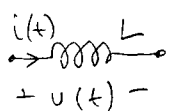
18) Γενικωμένη επαγωγή

$$\lambda(t) \triangleq \int_{-\infty}^t v(\tau) d\tau \leftarrow \text{γενικωμένη πεπλεγμένη ροή (διάστημα, γωνία στροφής)}$$



Χαρακτηριστική $\lambda - i$

πηνίο
αυτεπαγωγή

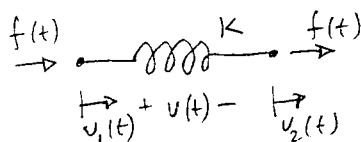


$$i(t) = \frac{1}{L} \lambda(t)$$

$$\Rightarrow v(t) = L \frac{di(t)}{dt}$$

$$V(s) = s L I(s) - L i(0)$$

ελατήριο

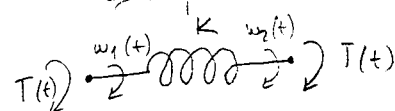


$$f(t) = K x(t) \leftarrow \text{επιμήκυνση}$$

$$\Rightarrow v(t) = v_1(t) - v_2(t) = \frac{1}{K} \frac{df(t)}{dt}$$

$$V(s) = \frac{1}{K} s F(s) - \frac{1}{K} f(0)$$

πριόνιο
ελατήριο

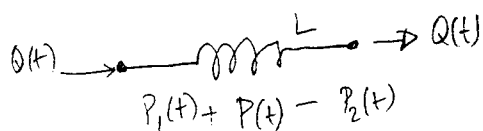
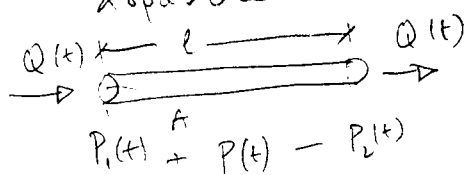


$$T(t) = K \theta(t)$$

$$\Rightarrow w(t) = w_1(t) - w_2(t) = \frac{1}{K} \frac{dT(t)}{dt}$$

$$\underline{Q}(s) = \frac{s T(s)}{K} - \frac{T(0)}{K}$$

Υδραυλική/πνευματική
αδράτεια



$$\text{επιτέχυνση σωρευτού: } f(t) = m \ddot{x}(t)$$

$$\Rightarrow P(t) A = \rho A l \frac{dv(t)}{dt} = \rho l \frac{dQ(t)}{dt}$$

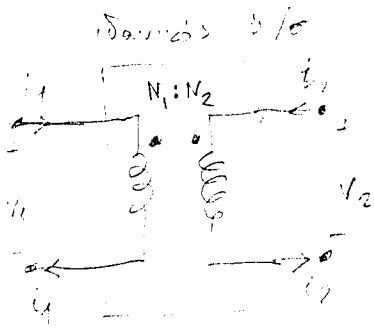
$$\Rightarrow P(t) = L \frac{dQ(t)}{dt}, \quad L = \frac{\rho l}{A}$$

$$P(s) = s L Q(s) - L Q(0)$$

Θερμικό

(8) Γενικευμένες Δυνάμεις με ασυμμετρία

12

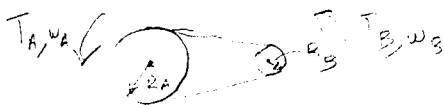
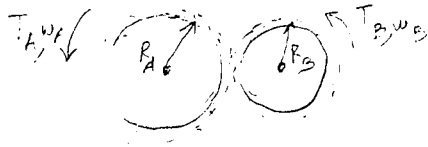


$$\begin{aligned} V_1(t) &= -\sigma \frac{N_1}{N_2} V_2(t) \\ i_2(t) &= -\sigma \frac{N_1}{N_2} i_1(t) \end{aligned} \quad \sigma = \pm 1$$

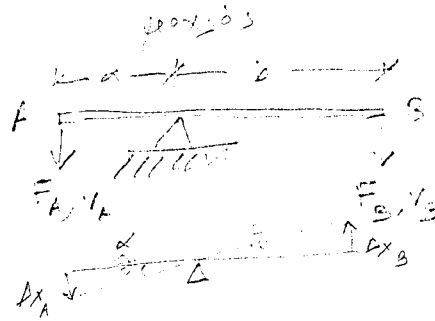
$$\frac{V_1(t)}{V_2(t)} = -\frac{i_2(t)}{i_1(t)} = \sigma \frac{N_1}{N_2}$$

$$\frac{V_1(s)}{V_2(s)} = -\frac{i_2(s)}{i_1(s)} = \sigma \frac{N_1}{N_2}$$

Δύο συντηρητικές δυνάμεις
(δύο άξονες)



$$\frac{w_A(t)}{w_B(t)} = -\frac{T_B(t)}{T_A(t)} = \sigma \frac{R_A}{R_B}$$

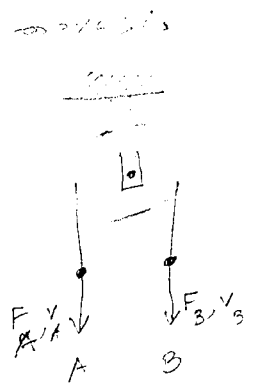


$$F_A a - F_B b = 0$$

$$Lx_A = a\theta, \quad Lx_B = -b\theta$$

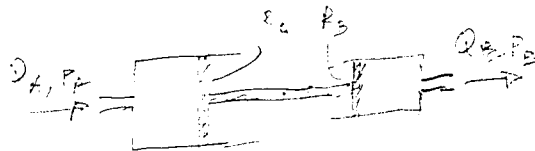
$$v_A = a\omega, \quad v_B = -b\omega$$

$$\frac{v_A(t)}{v_B(t)} = -\frac{F_B(t)}{F_A(t)} = -\frac{a}{b} = \sigma \frac{a}{b}$$

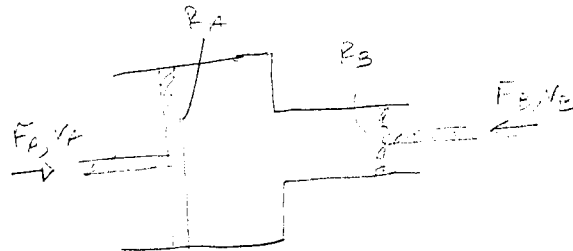


$$\frac{v_A(t)}{v_B(t)} = -\frac{F_B(t)}{F_A(t)} = -1 = \sigma$$

Συντηρητική δύναμη



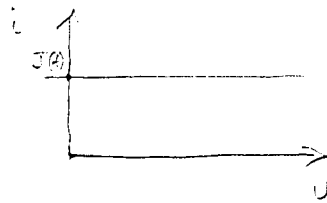
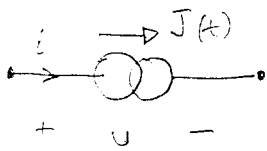
$$\frac{P_A(t)}{P_B(t)} = -\frac{Q_B(t)}{Q_A(t)} = \frac{R_B^2}{R_A^2}$$



$$\frac{V_A(t)}{V_B(t)} = -\frac{F_B(t)}{F_A(t)} = -\frac{R_B^2}{R_A^2}$$

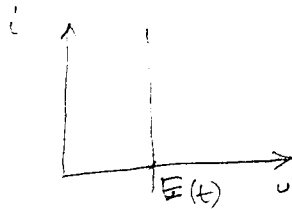
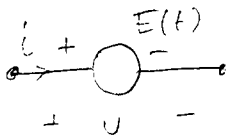
(ε) Ανεξάρτητες πηγές Γ.Μ.Ε. ως Γ.Μ.Τ.

13



$$i(t) = J(t)$$

ανεξάρτητες πηγή Γ.Μ.Ε. (ένταση, δύναμη, ροπή, παροχή, παροχ. όριο)



$$U(t) = E(t)$$

ανεξάρτητες πηγή Γ.Μ.Τ. (τάση, ταχύτητα, γω. ταχύτητα, πίεση, διαφοροκλίση)

2.5 Σχέση αλληλεπιδράσεων

14

- γραμμικές αλληλεπιδράσεις
- εξαρτάται από τρόπο αλληλεπιδράσεων των στοιχείων (τοπολογία)
- δεν εξαρτάται από το είδος των στοιχείων
- εκφράζουν βασικούς νόμους της φύσης του συστήματος

κόμβος : κοινό, αποδοτέως τουλάχιστον δύο στοιχεία

ζεύγος : κλειστή διαδρομή από δύο σημεία.

Πρόταση 1: Συνέχεια Γ.Μ.Ε.

Το αλγεβρικό άθροισμα των Γ.Μ.Ε. που υπάρχουν σε ένα κόμβο $= 0$

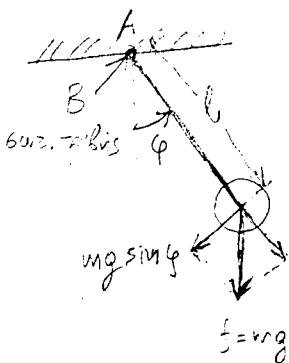
Πρόταση 1 \equiv νόμος ρεύματος Kirchhoff, αρχή D'Alembert, διατήρηση ενέργειας,
1^ο θερμοδυναμικό α^πλοποιημένο (αρχή διατήρησης ενέργειας)

Πρόταση 2: Συμβιβαστικότητα Γ.Μ.Τ.

Το αλγεβρικό άθροισμα των Γ.Μ.Τ. κατά μήκος ενός βρόχου $= 0$

Πρόταση 2 \equiv νόμος τάσεων Kirchhoff, αρχή Γαλιλαίου (σχισμάτα ταχύτητας),
σχισμάτα πιέσεων, σχισμάτα θερμοκρασιών.

Παράδειγμα 1: βρόχος : μήκος l , αμελητέες μάζες
Ροπή αδράνειας ράβδου ως προς Α : $J = ml^2$



$$\text{Ροπή στο Α λόγω } f=mg : T = lmg \sin \varphi \quad (1)$$

$$\text{Ροπή λόγω J} : T_J = J \frac{d\omega(t)}{dt} = ml^2 \frac{d^2\varphi(t)}{dt^2}$$

$$\text{Ροπή λόγω B} : T_B = B \frac{d\varphi(t)}{dt} \quad (3)$$

$$\text{Πρόταση 1 στο Α : } -T = T_J + T_B \quad (4)$$

$$\Rightarrow mgl \sin \varphi + ml^2 \frac{d^2\varphi}{dt^2} + B \frac{d\varphi}{dt} = 0$$

$$\Rightarrow \frac{d^2\varphi(t)}{dt^2} + \frac{B}{ml^2} \frac{d\varphi(t)}{dt} + \frac{g}{l} \sin \varphi(t) = 0 \quad (5)$$

$$\text{ως προς } F(\varphi^{(2)}, \varphi^{(1)}, \varphi) = 0$$

3. ΕΞΙΣΩΣΕΙΣ ΚΑΤΑΣΤΑΣΗΣ

3.1. Τρόποι περιγραφής συστημάτων (π.χ.)

(i). Με τρέχουσες μεταβλητές εισόδων - εξόδων : $y(t) = T(u(t), t; x_0)$
 μεταβλητές : είσοδοι $u(t), u(t_k)$, εξόδους $y(t), y(t_k)$. $y(t_k) = T(u(t_k), k; x_0)$

(ii). Με διακριτές εξισώσεις (εξισώσεις διαφορών) εισόδων - εξόδων :

$$F(y(t), y''(t), \dots, y^{(n)}(t), u(t), u''(t), \dots, u^{(p)}(t), t) = 0$$

$$F(y(t_k), y(t_{k+1}), \dots, y(t_{k+n}), u(t_k), u(t_{k+1}), \dots, u(t_{k+p}), k) = 0$$

(iii). Με εξισώσεις κατάστασης :

$$\begin{cases} \dot{x}(t) = f(x(t), u(t), t) \\ y(t) = g(x(t), u(t)) \end{cases} \quad \begin{cases} x(t_{k+1}) = f(x(t_k), u(t_k), k) \\ y(t_k) = g(x(t_k), u(t_k), k) \end{cases}$$

μεταβλητές : είσοδοι $u(t), u(t_k)$, εξόδους $y(t), y(t_k)$, καταστάσεις $x(t), x(t_k)$

(iv). Με εξισώσεις συστήματος (π.χ.) :

μεταβλητές : Γ.Μ.Τ. εισόδων $u(t), u(t_k)$, Γ.Μ.Ε. εισόδων $i(t), i(t_k)$.
 (παραστάσεις εισόδων, εξόδων, καταστάσεων)

(α) Π.Σ.Σ. : $f_j(u(t), \frac{\partial u(t)}{\partial t}, i(t), \frac{\partial i(t)}{\partial t}) = 0, j=1, \dots, k$

(β) εξισώσεις συνόλων Γ.Μ.Ε. : $\alpha_j^T i(t) = 0, j=1, \dots, M$

(γ) εξισώσεις συνόλων Γ.Μ.Τ. : $\beta_l^T u(t) = 0, l=1, \dots, L$

αλγεβροδιαφορικές εξισώσεις

Παράδειγμα 1 : (α) Π.Σ.Σ., εξισώσεις (1), (2), (3)
 (β) Γ.Μ.Ε., εισόδους (4)

3.2. Μετα-τροπή περιγραφής (iv) σε (ii) :

(εξισώσεις συστήματος σε δ.ε. εισόδων - εξόδων)

Ορίσμοι εισόδων $u(t)$ και εξόδων $y(t)$ προφανείς.

Απαγορεύεται όμως των δ.ε. Γ.Μ.Ε, Γ.Μ.Τ. εκτός των εισόδων, εξόδων.

Παράδειγμα 1 : Ανακατασκευάζουμε των Π.Σ.Σ. (1), (2), (3) στην (4)

$$\Rightarrow F(\phi^{(2)}, \phi^{(n)}, \phi) = \frac{d^2 \phi(t)}{dt^2} + \frac{3}{n l^2} \frac{d \phi(t)}{dt} + \frac{2}{l} \sin \phi = 0 \quad (5)$$

3.3 Μετατροπή περιγραφής (iv) σε (iii)

(εξιδύσας συστήματα σε εξιδύσας καταστάσεις)

Ορίσμοι $u(t)$, $y(t)$ προφανείς

Ορίσμος $x(t)$: Το διάνυσμα $x(t)$ περιέχει :

(α) τις ανεξάρτητες Γ.Μ.Τ. γενικ. χωρικοτήτων

(β) τις ανεξάρτητες Γ.Μ.Ε. γενικ. επαχυνών

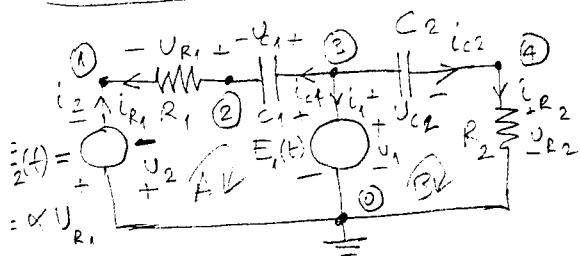
Τα στοιχεία του διανύσματος $x(t)$ πρέπει να είναι ανεξάρτητα
δυναμικά, πρέπει να \nexists αμοιβαίες σχέσεις μεταξύ των καταστάσεων.

Μετατροπή περιγραφής (iv) σε (iii) : Απαγορεύει όσον την
έξοδων Γ.Μ.Ε. $i(t)$ και Γ.Μ.Τ. $u(t)$ εκτός των
εισόδων $u(t)$, εξόδων $y(t)$ και καταστάσεων $x(t)$,

Ανεξάρτητοι γραμμικοί συνδυασμοί καταστάσεων ή
καταστάσεων και εισόδων είναι επίσης καταστάσεις
(ισόδοκιμες περιγραφές)

Παράδειγμα 2

Παράδειγμα 2:



1) Γ.Σ.Σ.:

$$U_{R1} = R_1 i_{R1} \quad (1.1)$$

$$U_{R2} = R_2 i_{R2} \quad (1.2)$$

$$i_{C1} = C_1 \frac{dU_{C1}}{dt} \quad (1.3)$$

$$i_{C2} = C_2 \frac{dU_{C2}}{dt} \quad (1.4)$$

$$U_1 = E_1(t) \quad (1.5)$$

$$U_2 = \alpha U_{R1} \quad (1.6)$$

2) Πρόταση 1 (εναντίστοιχα Γ, Μ, Ε. \Rightarrow Ν, Ρ, Κ.)

$$\textcircled{1} : i_{R1} + i_2 = 0 \quad (2.1)$$

$$\textcircled{2} : i_{C1} - i_{R2} = 0 \quad (2.2)$$

$$\textcircled{3} : i_1 + i_{C1} + i_{C2} = 0 \quad (2.3)$$

$$\textcircled{4} : i_{C2} - i_{R2} = 0 \quad (2.4)$$

3) Πρόταση 2 (εναντίστοιχα Γ, Μ, Τ. \Rightarrow Ν, Τ, Κ.)

$$\text{βρόχος A} : U_2 - U_{R1} - U_{C1} + U_1 = 0 \quad (3.1)$$

$$\text{βρόχος B} : -U_1 + U_{C2} + U_{R2} = 0 \quad (3.2)$$

$$(2.2), (1.1), (1.3) \Rightarrow i_{C1} = C_1 \frac{dU_{C1}}{dt} = i_{R1} = \frac{U_{R1}}{R_1} \quad (4.1)$$

$$(2.4), (1.2), (1.4) \Rightarrow i_{C2} = C_2 \frac{dU_{C2}}{dt} = i_{R2} = \frac{U_{R2}}{R_2} \quad (4.2)$$

$$(3.2), (1.5) \Rightarrow U_{R2} = U_1 - U_{C2} = E_1 - U_{C2} \quad (4.3)$$

$$(3.1), (1.5), (1.6) \Rightarrow \alpha U_{R1} - U_{R1} - U_{C1} + E_1 = 0 \Rightarrow U_{R1} = \frac{U_{C1} - E_1}{(\alpha - 1)} \quad (4.4)$$

$$(4.1), (4.4) \Rightarrow C_1 \frac{dU_{C1}}{dt} = \frac{U_{R1}}{R_1} = \frac{U_{C1} - E_1}{(\alpha - 1)R_1} \Leftrightarrow \frac{dU_{C1}}{dt} = \frac{U_{C1}}{(\alpha - 1)C_1 R_1} - \frac{E_1}{(\alpha - 1)C_1 R_1}$$

$$(4.2), (4.3) \Rightarrow C_2 \frac{dU_{C2}}{dt} = \frac{U_{R2}}{R_2} = \frac{E_1 - U_{C2}}{R_2} \Leftrightarrow \frac{dU_{C2}}{dt} = -\frac{U_{C2}}{C_2 R_2} + \frac{E_1}{C_2 R_2}$$

$$\dot{x}(t) = \begin{bmatrix} \frac{dU_{C1}(t)}{dt} \\ \frac{dU_{C2}(t)}{dt} \end{bmatrix} = \begin{bmatrix} \frac{1}{(\alpha - 1)C_1 R_1} & 0 \\ 0 & -\frac{1}{C_2 R_2} \end{bmatrix} \begin{bmatrix} U_{C1}(t) \\ U_{C2}(t) \end{bmatrix} + \begin{bmatrix} \frac{1}{(1 - \alpha)C_1 R_1} \\ \frac{1}{C_2 R_2} \end{bmatrix} E_1(t) = A x(t) + B u(t)$$

3.4. Μετατροπή περιγραφής (i) σε (ii)
(δ.ε. εισόδου-εξόδου σε εξισώσεις κατάστασης)

(α) συστήματα μιας εισόδου.

Η δ.ε. εισόδου-εξόδου επιλύεται ως προς $y^{(n)}(t) = \frac{d^n y(t)}{dt^n}$:

$$F(y(t), y'(t), \dots, y^{(n)}(t), u(t), t) = 0$$

$$\Rightarrow y^{(n)}(t) = \frac{d^n y(t)}{dt^n} = \Phi(y(t), y'(t), \dots, y^{(n-1)}(t), u(t), t) \quad (1)$$

Ορίζουμε καταστάσεις :

$$x_1(t) = y(t) \quad (2.1)$$

$$x_2(t) = y'(t) = \frac{dy(t)}{dt} = \dot{x}_1(t) \quad (2.2)$$

$$\vdots$$

$$x_j(t) = y^{(j-1)}(t) = \frac{d^{j-1} y(t)}{dt^{j-1}} = \dot{x}_{j-1}(t) \quad (2.j)$$

$$\vdots$$

$$x_n(t) = y^{(n-1)}(t) = \frac{d^{n-1} y(t)}{dt^{n-1}} = \dot{x}_{n-1}(t) \quad (2.n)$$

$$(1) \Rightarrow \dot{x}_n(t) = y^{(n)}(t) = \Phi(x_1(t), x_2(t), \dots, x_n(t), u(t), t) \quad (3)$$

Εξισώσεις καταστάσεων : (2.2) ÷ (2.n) και (3)

$$\dot{x}_1(t) = x_2(t)$$

$$\dot{x}_2(t) = x_3(t)$$

$$\vdots$$

$$\dot{x}_{n-1}(t) = x_n(t)$$

$$\dot{x}_n(t) = f_n(x(t), u(t), t)$$

Συνολικά

$$\dot{x}(t) = f(x(t), u(t), t) =$$

$$\begin{bmatrix} f_1(x(t)) \\ f_2(x(t)) \\ \vdots \\ f_{n-1}(x(t)) \\ f_n(x(t), u(t), t) \end{bmatrix}$$

όπου $f_j(x(t)) = x_{j+1}(t), j=1, \dots, n-1$

$$f_n(x(t), u(t), t) = \Phi(x(t), u(t), t)$$

Εξίσωση εξόδου η (2.1) : $y(t) = x_1(t) = [1, 0, \dots, 0] x(t) = e_1^T x(t)$

(β) συστήματα πολλών εισόδων.

Εφαρμόζεται η ίδια τεχνική για κάθε είσοδο ξεχωριστά.

19

Παράδειγμα 1 : $F(\varphi(t), \dot{\varphi}(t), \ddot{\varphi}(t)) = \frac{d^2 \varphi(t)}{dt^2} + \frac{B}{m l^2} \frac{d \varphi(t)}{dt} + \frac{g}{l} \sin \varphi(t) = 0$

$$\Rightarrow \ddot{\varphi}(t) = \frac{d^2 \varphi(t)}{dt^2} = -\frac{B}{m l^2} \frac{d \varphi(t)}{dt} - \frac{g}{l} \sin \varphi(t) \triangleq \phi(\varphi(t), \dot{\varphi}(t))$$

$$x_1(t) = \varphi(t) = \varphi(t)$$

$$x_2(t) = \frac{d \varphi(t)}{dt} = \dot{x}_1(t)$$

Εξίσωση καταστάσεων :

$$\begin{bmatrix} \frac{d x_1(t)}{dt} \\ \frac{d x_2(t)}{dt} \end{bmatrix} = \begin{bmatrix} x_2(t) \\ -\frac{B}{m l^2} x_2(t) - \frac{g}{l} \sin x_1(t) \end{bmatrix}$$

Εξίσηση εξόδου : $y(t) = \varphi(t) = x_1(t) = \begin{bmatrix} 1 & 0 \end{bmatrix} x(t)$

Συνεχούς χρόνου :

$$\dot{x}(t) = f(x(t), u(t), t) \quad (1.1) \quad \forall t \in \mathbb{R}, t \geq t_0$$

$$y(t) = g(x(t), u(t), t) \quad (1.2)$$

$x(t), x(t_k) \in \mathbb{R}^n$	διδωμεκα καταστάσεων	}	$f: \mathbb{R}^n \times \mathbb{R}^p \times \mathbb{R} \rightarrow \mathbb{R}^n$
$u(t), u(t_k) \in \mathbb{R}^p$	εισόδων		$g: \mathbb{R}^n \times \mathbb{R}^p \times \mathbb{R} \rightarrow \mathbb{R}^m$
$y(t), y(t_k) \in \mathbb{R}^m$	εξόδων		

Διακριτός χρόνος :

$$\begin{cases} x(t_{k+1}) = f(x(t_k), u(t_k), t_k) & (2.1) \\ y(t_k) = g(x(t_k), u(t_k), t_k) & (2.2) \end{cases} \quad \begin{cases} \text{ορίσας } t_k = kT \\ \forall k \in \mathbb{N}, k \geq k_0 \end{cases}$$

n = αριθμός καταστάσεων = διάσταση του $x(t)$ ή $x(t_k)$ = εξή της περιγραφής

Θέσημα υπάρξας λύσεων : Για τη δ.ε. $\dot{x}(t) = f(x(t), t)$ με α.σ. $x(t_0) = x_0$,

(α) έστω ότι η $f(x, t)$ είναι συνεχής ως προς t σχεδόν παντού στο \mathbb{R}

(δυσ. είναι συνεχής στο \mathbb{R} εκτός ίσως από ένα αριθμητικό σύνολο σημείων)
 $\{\tilde{t}_i\}$ στα οποία η $f(x, t)$ έχει καλύτερο και δεξιό όριο.

(β) έστω ότι \exists σημαντικά συνεχής συνάρτηση $k(t)$ τέω.

$$\|f(x, t) - f(x', t)\| \leq k(t) \|x - x'\|$$

(δυσ. η f είναι συνεχής κατά Lipschitz ως προς x)

Τότε

$\forall x_0 \in \mathbb{R}^n, \forall t_0 \in \mathbb{R}, \exists$ μοναδική συνεχής συνάρτηση $x(t)$ που ικανοποιεί και $x(t_0) = x_0$.

ως $\dot{x}(t) = f(x(t), t), \quad \forall t \geq t_0, t \neq \tilde{t}_i$

3.6 Εξισώσεις κατάστασης γραμμικών χρονικά διακριτών συστημάτων - 21
 - συνάρτηση μεταφοράς
 - χαρακτηριστικό πολυώνυμο

(α) Συνεχούς χρόνου: $\dot{x}(t) = A x(t) + B u(t)$ (1)

$y(t) = C x(t) + D u(t)$ (2)

$x(t) \in \mathbb{R}^n$, $u(t) \in \mathbb{R}^p$, $y(t) \in \mathbb{R}^m$, $A: n \times n$, $B: n \times p$, $C: m \times n$, $D: m \times p$

Μεταχειριστέμενες κατά Laplace των μεταβλητών:

$X(s) = \mathcal{L}\{x(t)\}$, $U(s) = \mathcal{L}\{u(t)\}$, $Y(s) = \mathcal{L}\{y(t)\}$

Ιδιότητα μ/σ Laplace: $\mathcal{L}\{\dot{x}(t)\} = sX(s) - x(0)$

(1) $\xRightarrow{\mathcal{L}}$ $sX(s) - x(0) = AX(s) + BU(s)$ (3)

(2) $\xRightarrow{\mathcal{L}}$ $Y(s) = CX(s) + DU(s)$ (4)

(3) $\Rightarrow (sI - A)X(s) = BU(s) + x(0) \Rightarrow X(s) = [sI - A]^{-1}BU(s) + [sI - A]^{-1}x(0)$

(4) $\Rightarrow Y(s) = [C[sI - A]^{-1}B + D]U(s) + C[sI - A]^{-1}x(0)$ (5)

Ορισμός: Η $m \times p$ μήτρα $G(s) = C[sI - A]^{-1}B + D$ λέγεται μήτρα

συνάρτησης μεταφοράς $\xrightarrow{\text{αλγεβρικό συμπλήρωμα}}$
 Ισχύουν: $[sI - A]^{-1} = \frac{\text{Adj}(sI - A)}{\det(sI - A)}$ και $[\text{Adj}(sI - A)]_{ij} = (-1)^{i+j} \det[sI - A]_{ji}$

Ορισμός: Το πολυώνυμο $\psi(s) = \det(sI - A)$ λέγεται χαρακτηριστικό πολυώνυμο

Το $\psi(s)$ είναι βαθμού n (= τάξη συστήματος = διάσταση $x(t)$)

Ορίζονται: πόλοι = οι ρίζες του $\psi(s)$, μηδενικά διρίδες των αριθμητών της $G(s)$.

(β) Διακριτού χρόνου: $x(t_{k+1}) = A x(t_k) + B u(t_k)$ (1')

$y(t_k) = C x(t_k) + D u(t_k)$ (2')

$x(t_k) \in \mathbb{R}^n$, $u(t_k) \in \mathbb{R}^p$, $y(t_k) \in \mathbb{R}^m$, $A: n \times n$, $B: n \times p$, $C: m \times n$, $D: m \times p$

Μεταχειριστέμενες κατά Z των μεταβλητών:

$X(z) = Z(x(t_k))$, $Y(z) = Z(y(t_k))$, $U(z) = Z(u(t_k))$

Ιδιότητα μ/σ Z : $Z(x(t_{k+1})) = z(X(z) - x(0))$

(1') $\Rightarrow zX(z) - zx(0) = AX(z) + BU(z) \Rightarrow X(z) = [zI - A]^{-1}(BU(z) + zx(0))$

(2') $\Rightarrow Y(z) = CX(z) + DU(z) = [C[zI - A]^{-1}B + D]U(z) + zC[zI - A]^{-1}x(0)$ (5')

Ορισμός: Η $m \times p$ μήτρα $G(z) = C [zI - A]^{-1} B + D$ λέγεται μήτρα μεταφοράς προεξόχως

Ορισμός: Το πολυώνυμο $\psi(z) = \det(zI - A)$ λέγεται χαρακτηριστικό πολυώνυμο

Το $\psi(z)$ είναι βαθμύς n .

$$G(s) = C \frac{\text{Adj}(sI - A)}{\det(sI - A)} B + D, \quad G(z) = C \frac{\text{Adj}(zI - A)}{\det(zI - A)} B + D$$

$$Y(s) = G(s) U(s) \text{ αν } x(0) = 0, \quad Y(z) = G(z) U(z) \text{ αν } x(0) = 0$$

$$y(t) = \mathcal{L}^{-1}\{G(s)U(s)\} \text{ αν } x(0) = 0, \quad y(t_k) = Z^{-1}\{G(z)U(z)\} \text{ αν } x(0) = 0$$

$$y(t) = \mathcal{L}^{-1}\{G(s)U(s)\} + \mathcal{L}^{-1}\{C(sI - A)^{-1}x(0)\}$$

$$y(t_k) = Z^{-1}\{G(z)U(z)\} + Z^{-1}\{z C (zI - A)^{-1}x(0)\}$$

3.7 Μεταχρηματισμός ομοιότητας

Συμπλεκτικό σύστημα (A, B, C, D)

$$\dot{x}(t) = A x(t) + B u(t) \quad (1.1) \quad x(t) \in \mathbb{R}^n, u(t) \in \mathbb{R}^p, y(t) \in \mathbb{R}^m$$

$$y(t) = C x(t) + D u(t) \quad (1.2) \quad A: n \times n, B: n \times p, C: m \times n, D: m \times p$$

Ας είναι P ορθή (αντιστρέψιμη) $n \times n$ μήτρα.

A >> ορθή βάση στο χώρο κατάστασης (\mathbb{R}^n) από την I στην P :

$$x = P \hat{x} \Leftrightarrow \hat{x} = P^{-1}x \quad (2)$$

$$\dot{\hat{x}} = P^{-1} \dot{x} = P^{-1} A x + P^{-1} B u = P^{-1} A P \hat{x} + P^{-1} B u$$

$$\Leftrightarrow \dot{\hat{x}}(t) = \hat{A} \hat{x}(t) + \hat{B} u(t) \quad \text{όπου } \hat{A} = P^{-1} A P, \hat{B} = P^{-1} B$$

$$y(t) = C x(t) + D u(t) = C P \hat{x}(t) + D u(t)$$

$$\Leftrightarrow y(t) = \hat{C} \hat{x}(t) + \hat{D} u(t) \quad \text{όπου } \hat{C} = C P, \hat{D} = D$$

$$\text{Άρα: } (1.1), (1.2) \Leftrightarrow \begin{cases} \dot{\hat{x}}(t) = \hat{A} \hat{x}(t) + \hat{B} u(t) & (3.1) \\ y(t) = \hat{C} \hat{x}(t) + \hat{D} u(t) & (3.2) \end{cases}$$

$$\text{όπου } \hat{A} = P^{-1} A P, \hat{B} = P^{-1} B, \hat{C} = C P, \hat{D} = D \quad (4)$$

(4) λέγονται μεταχρηματισμός ομοιότητας. Είναι σχέση ισοδυναμίας.

(A, B, C, D) και $(\hat{A}, \hat{B}, \hat{C}, \hat{D})$ λένται όμοια αν ισχύει η (4) για κάποια P αντιστρέψιμη $n \times n$

τότε τα (A, B, C, D) και $(\hat{A}, \hat{B}, \hat{C}, \hat{D})$ μπορούν να θεωρηθούν σαν διαφορετικές περιγραφές του ίδιου συστήματος.

Θεώρημα: Αν δύο περιγραφές (A, B, C, D) και $(\hat{A}, \hat{B}, \hat{C}, \hat{D})$ συνδέονται με μετασχηματισμό ομοιότητας (4) τότε:

- (α) έχουν το ίδιο χαρακτηριστικό πολυώνυμο
- (β) έχουν την ίδια μέτρα συναρτήσεων μεταφοράς.

Απόδειξη:

$$(α) \quad \hat{\psi}(s) = \det(sI - \hat{A}) = \det(sP^{-1}P - P^{-1}AP) = \det[P^{-1}(sI - A)P] = \\ = \det P^{-1} \det(sI - A) \det P = \det(sI - A) = \psi(s)$$

$$(β) \quad \hat{G}(s) = \hat{C}(sI - \hat{A})^{-1}\hat{B} + \hat{D} = CP(sP^{-1}P - P^{-1}AP)^{-1}P^{-1}B + D \\ = CP[P^{-1}(sI - A)P]^{-1}P^{-1}B + D = CPP^{-1}(sI - A)^{-1}PP^{-1}B + D \\ = C(sI - A)^{-1}B + D = G(s)$$

3.8 Κανονικές μορφές της μήτρας A

Ιδιοτιμή λ και ιδιοδιάνυσμα p της μήτρας A : $Ap = \lambda p$, $\lambda \in \mathbb{C}$, $p \in \mathbb{C}^n$, $p \neq 0$

Η $n \times n$ μήτρα A έχει n ιδιοτιμές $\lambda_1, \lambda_2, \dots, \lambda_n$, ενδεχομένως πολλαπλές.

(α) Διαγώνια κανονική μορφή

Εστω ότι η A έχει n ανεξάρτητα ιδιοδιανύσματα p_1, p_2, \dots, p_n

Τότε $Ap_i = \lambda_i p_i$, $i=1, \dots, n$. Λαμβάνοντας $P = [p_1, p_2, \dots, p_n]$ έχουμε:

$$\hat{A} = P^{-1}AP = P^{-1}[Ap_1, Ap_2, \dots, Ap_n] = P^{-1}[\lambda_1 p_1, \lambda_2 p_2, \dots, \lambda_n p_n] = \\ = P^{-1}P \operatorname{diag}\{\lambda_1, \lambda_2, \dots, \lambda_n\} = \operatorname{diag}\{\lambda_1, \lambda_2, \dots, \lambda_n\}$$

Συμπεραίνει η \hat{A} είναι διαγώνια με διαγώνια στοιχεία τις ιδιοτιμές της A (ή \hat{A}).

$$\left. \begin{array}{l} \text{Πόλοι} \equiv \text{ρίζες του } \psi(s) \\ \psi(s) = \det(sI - A) \end{array} \right\} \Rightarrow \text{πόλοι} = \text{ιδιοτιμές της } A \text{ (ή } \hat{A})$$

Αν η A έχει διακριτές ιδιοτιμές (όχι πολλαπλές) τότε έχει n ανεξάρτητα ιδιοδιανύσματα.

(b) Κανονική μορφή Jordan

Αν η $n \times n$ μήτρα A έχει πολλαπλές ιδιοτιμές τότε ενδέχεται να μην έχει n ανεξάρτητα ιδιοδιανύσματα αλλά λιγότερα.

Τότε θα μπορούσε να διαγωνοποιηθεί με μετασχηματισμό ομοιότητας.

Μπορεί όμως να τεθεί στην σχεδόν διαγώνια μορφή Jordan:

$$\hat{A} = \text{diag} [J_{\mu_1}, J_{\mu_2}, \dots, J_{\mu_\sigma}]$$

όπου $J_{\mu_k} = \begin{bmatrix} \lambda_k & 1 & 0 & \dots & 0 \\ 0 & \lambda_k & 1 & \dots & 0 \\ \vdots & \vdots & \vdots & \ddots & \vdots \\ 0 & \dots & 0 & \lambda_k & 1 \\ 0 & \dots & 0 & 0 & \lambda_k \end{bmatrix}$ ← Jordan block
 με διαστάσεις $\mu_k \times \mu_k$
 και $\mu_1 + \mu_2 + \dots + \mu_\sigma = n$

Γενικευμένα ιδιοδιανύσματα: Αν λ_k ιδιοτιμή της A , τότε ένα διάνυσμα $v_{kr} \neq 0$ λέγεται γενικευμένο ιδιοδιάνυσμα της A βαθμού r που αντιστοιχεί στην ιδιοτ. λ_k

και ισχύουν:

$$(A - \lambda_k I)^{r-1} v_{kr} \neq 0$$

$$(A - \lambda_k I)^r v_{kr} = 0$$

Τα v_{kr} προσδιορίζονται ως εξής:

$$(A - \lambda_k I) v_{k1} = 0$$

$$(A - \lambda_k I) v_{k2} = v_{k1}$$

$$(A - \lambda_k I) v_{k3} = v_{k2}$$

$$\vdots$$

$$(A - \lambda_k I) v_{kr} = v_{k,r-1} \quad \text{κ.λ.π. όσο το δυνατόν περισσότερα.}$$

Όπως v_{k1} ενδέχεται να υπάρχουν πολλα.

Αν $\text{rank}(A - \lambda_k I) = n - m$ τότε $\exists m$ ανεξάρτητα ιδιοδιανύσματα που αντιστοιχούν στην λ_k .

Κάθε ένα απ' αυτά συμβάλλεται σαν v_{k1} και δημιουργείται μία αλυσίδα. Τα γεωμ. ιδιοδ. που προκύπτουν είναι ανεξάρτητα.

Αν η A έχει σ ανεξάρτητα ιδιοδιανύσματα $v_{11}, v_{21}, v_{31}, \dots, v_{\sigma 1}$,

αν με αρχικό κάθε ένα απ' αυτά σχηματισθεί η απόσπαστη αλυσίδα

$$v_{k1}, v_{k2}, \dots, v_{kr_k} \quad , \quad k=1, \dots, \sigma$$

και αν τεθεί $P = [v_{11}, v_{12}, \dots, v_{1\mu_1}, v_{21}, v_{22}, \dots, v_{2\mu_2}, \dots, v_{\sigma 1}, v_{\sigma 2}, \dots, v_{\sigma \mu_\sigma}]$

τότε η P αντιστρέφεται και μετασχηματίζει την A σε κανονική μορφή

Jordan : $\hat{A} = P^{-1}AP = \text{diag}[J_{\mu_1}, J_{\mu_2}, \dots, J_{\mu_\sigma}]$ με σ Jordan blocks.

Παράδειγμα : $A = \begin{bmatrix} -2 & 0 & 0 & 0 & 0 \\ 0 & -2 & 0 & 1 & 0 \\ 0 & 0 & -1 & 0 & 0 \\ 0 & 0 & 0 & -2 & 0 \\ 0 & 0 & 1 & 0 & -1 \end{bmatrix}$

(γ) Κανονική εξεχόμενη μορφή

Για απρόσθετα διαμορφωμένα συστήματα 1 είσοδου - 1 εξόδου, οπότε $B = b = \begin{bmatrix} b_1 \\ \vdots \\ b_n \end{bmatrix}$
και $C = c^T = [c_1, c_2, \dots, c_n]$.

As είναι $Q = [b, Ab, A^2b, \dots, A^{n-1}b]$

As είναι v_n^T η τελευταία γραμμή της Q^{-1}

As είναι $P^{-1} = \begin{bmatrix} v_n^T \\ v_n^T A \\ v_n^T A^2 \\ \vdots \\ v_n^T A^{n-1} \end{bmatrix}$

Τότε : $\hat{A} = P^{-1}AP = \begin{bmatrix} 0 & 1 & 0 & \dots & 0 \\ 0 & 0 & 1 & \dots & 0 \\ 0 & 0 & 0 & \dots & 1 \\ \vdots & \vdots & \vdots & \ddots & \vdots \\ 0 & 0 & 0 & \dots & 0 \\ -\alpha_n & -\alpha_{n-1} & -\alpha_{n-2} & \dots & -\alpha_1 \end{bmatrix}$, $\hat{b} = P^{-1}b = \begin{bmatrix} 0 \\ 0 \\ \vdots \\ 0 \\ 1 \end{bmatrix}$,
 $\hat{c}^T = c^T P = [\hat{c}_1, \hat{c}_2, \dots, \hat{c}_n]$ \leftarrow κανονική εξεχόμενη μορφή του συστήματος.

$$\dot{\hat{x}}(t) = \hat{A} \hat{x}(t) + \hat{b} u(t) \Leftrightarrow s \hat{X}(s) = \hat{A} \hat{X}(s) + \hat{b} U(s)$$

$$\Leftrightarrow \begin{cases} s \hat{X}_1(s) = \hat{X}_2(s) \\ s \hat{X}_2(s) = \hat{X}_3(s) \\ \vdots \\ s \hat{X}_{n-1}(s) = \hat{X}_n(s) \end{cases}$$

$$s \hat{X}_n(s) = -\alpha_n \hat{X}_1(s) - \alpha_{n-1} \hat{X}_2(s) - \dots - \alpha_1 \hat{X}_n(s) + U(s)$$

$$Y(s) = \hat{c}^T \hat{X}(s) = \hat{c}_1 \hat{X}_1(s) + \hat{c}_2 \hat{X}_2(s) + \dots + \hat{c}_n \hat{X}_n(s)$$

Απομειώνοντας τον $\hat{X}_i(s)$, $i=1, \dots, n$ έχουμε

$$G(s) = \frac{Y(s)}{U(s)} = \frac{\hat{c}_1 + \hat{c}_2 s + \dots + \hat{c}_n s^{n-1}}{s^n + \alpha_1 s^{n-1} + \dots + \alpha_n}$$

Παράδειγμα: $\dot{x}(t) = \begin{bmatrix} \dot{x}_1(t) \\ \dot{x}_2(t) \\ \dot{x}_3(t) \end{bmatrix} = \begin{bmatrix} -8 & 1 & 0 \\ -16 & 0 & 1 \\ -6 & 0 & 0 \end{bmatrix} \begin{bmatrix} x_1(t) \\ x_2(t) \\ x_3(t) \end{bmatrix} + \begin{bmatrix} 2 \\ 8 \\ 6 \end{bmatrix} u(t)$

$y(t) = \begin{bmatrix} 1 & 0 & 0 \end{bmatrix} \begin{bmatrix} x_1(t) \\ x_2(t) \\ x_3(t) \end{bmatrix} = x_1(t)$

$$A = \begin{bmatrix} -8 & 1 & 0 \\ -16 & 0 & 1 \\ -6 & 0 & 0 \end{bmatrix}, \quad b = \begin{bmatrix} 2 \\ 8 \\ 6 \end{bmatrix}, \quad c^T = \begin{bmatrix} 1 & 0 & 0 \end{bmatrix}, \quad n=3$$

$$Q = [b, Ab, A^2b] = \begin{bmatrix} 2 & -8 & 38 \\ 8 & -26 & 116 \\ 6 & -12 & 48 \end{bmatrix} \Rightarrow Q^{-1} = \begin{bmatrix} 2 & -1 & \frac{5}{6} \\ 13/3 & -\frac{11}{6} & 1 \\ 5/6 & -\frac{1}{3} & \frac{1}{6} \end{bmatrix}$$

$$v_3^T = \frac{1}{6} [5 \quad -2 \quad 1]$$

$$P^{-1} = \begin{bmatrix} v_3^T \\ v_3^T A \\ v_3^T A^2 \end{bmatrix} = \frac{1}{6} \begin{bmatrix} 5 & -2 & 1 \\ -14 & 5 & -2 \\ 44 & -14 & 5 \end{bmatrix} \Rightarrow P = \begin{bmatrix} 6 & 8 & 2 \\ 36 & 38 & 8 \\ 48 & 36 & 6 \end{bmatrix}$$

$$\hat{A} = P^{-1}AP = \begin{bmatrix} 0 & 1 & 0 \\ 0 & 0 & 1 \\ -6 & -16 & -8 \end{bmatrix}, \quad \hat{b} = P^{-1}b = \begin{bmatrix} 0 \\ 0 \\ 1 \end{bmatrix}$$

$$\hat{c}^T = c^T P = [6 \quad 8 \quad 2]$$

$$\begin{aligned} \hat{\dot{x}}(t) &= \hat{A} \hat{x}(t) + \hat{b} u(t) \\ y(t) &= \hat{c}^T \hat{x}(t) \end{aligned} \Leftrightarrow \begin{aligned} \begin{bmatrix} \dot{\hat{x}}_1(t) \\ \dot{\hat{x}}_2(t) \\ \dot{\hat{x}}_3(t) \end{bmatrix} &= \begin{bmatrix} 0 & 1 & 0 \\ 0 & 0 & 1 \\ -6 & -16 & -8 \end{bmatrix} \begin{bmatrix} \hat{x}_1(t) \\ \hat{x}_2(t) \\ \hat{x}_3(t) \end{bmatrix} + \begin{bmatrix} 0 \\ 0 \\ 1 \end{bmatrix} u(t) \\ &= \begin{bmatrix} \hat{x}_2(t) \\ \hat{x}_3(t) \\ -6\hat{x}_1(t) - 16\hat{x}_2(t) - 8\hat{x}_3(t) + u(t) \end{bmatrix} \end{aligned}$$

$\Rightarrow y(t) = 6\hat{x}_1(t) + 8\hat{x}_2(t) + 2\hat{x}_3(t)$

$$\begin{aligned} \downarrow \\ s\hat{X}(s) &= \hat{A} \hat{X}(s) + \hat{b} u(s) \\ y(s) &= \hat{c}^T \hat{X}(s) \end{aligned} \Leftrightarrow \begin{cases} s\hat{X}_1(s) = \hat{X}_2(s) \\ s\hat{X}_2(s) = \hat{X}_3(s) \\ s\hat{X}_3(s) = -6\hat{X}_1(s) - 16\hat{X}_2(s) - 8\hat{X}_3(s) + u(s) \end{cases} \Rightarrow \hat{X}_3(s) = s^2 \hat{X}_1(s) \Rightarrow$$

$$y(s) = 6\hat{X}_1(s) + 8s\hat{X}_1(s) + 2s^2\hat{X}_1(s) = 6\hat{X}_1(s) + 8s\hat{X}_1(s) + 2s^2\hat{X}_1(s)$$

$$\Rightarrow u(s) = s^3 \hat{X}_1(s) + 6\hat{X}_1(s) + 16s\hat{X}_1(s) + 8s^2\hat{X}_1(s)$$

$$G(s) = \frac{y(s)}{u(s)} = \frac{(6 + 8s + 2s^2) \hat{X}_1(s)}{(s^3 + 6 + 16s + 8s^2) \hat{X}_1(s)} = \frac{2s^2 + 8s + 6}{s^3 + 8s^2 + 16s + 6}$$

$$\dot{x}(t) = f(x(t), u(t)) \quad (1.1)$$

$$y(t) = g(x(t), u(t)) \quad (1.2)$$

Σημείο λειτουργίας ή σημείο ισορροπίας: (x_0, u_0) τ.ω. $f(x_0, u_0) = 0$

Αν $x(0) = x_0, u(t) = u_0 \forall t \geq 0$ τότε $x(t) = x_0 \forall t \geq 0$.

Ανάπτυξη Taylor 1^{ης} τάξης των $f(x, u), g(x, u)$ γύρω από το (x_0, u_0) :

$$f(x, u) = f(x_0, u_0) + \left. \frac{\partial f(x, u)}{\partial x} \right|_{(x_0, u_0)} (x - x_0) + \left. \frac{\partial f(x, u)}{\partial u} \right|_{(x_0, u_0)} (u - u_0) + \text{υπόλοιπο}$$

$$g(x, u) = g(x_0, u_0) + \left. \frac{\partial g(x, u)}{\partial x} \right|_{(x_0, u_0)} (x - x_0) + \left. \frac{\partial g(x, u)}{\partial u} \right|_{(x_0, u_0)} (u - u_0) + \text{υπόλοιπο}$$

Αν $\|u(t) - u_0\|$ και $\|x(t) - x_0\|$ μικρά $\forall t$ (2), τότε

$$\frac{d \Delta x(t)}{dt} = \left. \frac{\partial f(x, u)}{\partial x} \right|_{(x_0, u_0)} \Delta x(t) + \left. \frac{\partial f(x, u)}{\partial u} \right|_{(x_0, u_0)} \Delta u(t) = A \Delta x(t) + B \Delta u(t) \quad (3.1)$$

$$\Delta y(t) = \left. \frac{\partial g(x, u)}{\partial x} \right|_{(x_0, u_0)} \Delta x(t) + \left. \frac{\partial g(x, u)}{\partial u} \right|_{(x_0, u_0)} \Delta u(t) = C \Delta x(t) + D \Delta u(t) \quad (3.2)$$

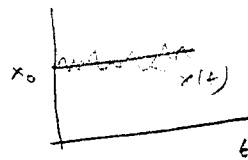
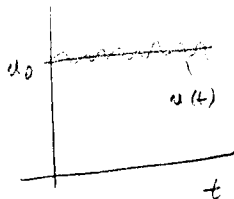
όπου $\Delta x(t) = x(t) - x_0$, $\Delta u(t) = u(t) - u_0$, $\Delta y(t) = y(t) - g(x_0, u_0)$.

Το (A, B, C, D) όπου $A = \left. \frac{\partial f(x, u)}{\partial x} \right|_{(x_0, u_0)}$, $B = \left. \frac{\partial f(x, u)}{\partial u} \right|_{(x_0, u_0)}$,

$C = \left. \frac{\partial g(x, u)}{\partial x} \right|_{(x_0, u_0)}$, $D = \left. \frac{\partial g(x, u)}{\partial u} \right|_{(x_0, u_0)}$ σχετίζονται γραμμικοποιημένα

μοντέλο του (1.1), (1.2) στην περιοχή του σημείου σταθ/ισορρ. (x_0, u_0) .

Το (3.1), (3.2) προσεγγίζει ικανοποιητικά το (1.1), (1.2) αν ισχύει η συνθήκη (2).



Πολλές φορές παραλείπονται τα Δ από τα (3.1), (3.2) (κεκώς)

Παράδειγμα 1 (εκκρεμής):
$$\begin{bmatrix} \dot{x}_1(t) \\ \dot{x}_2(t) \end{bmatrix} = \begin{bmatrix} x_2(t) \\ -\frac{B}{m\ell^2} x_2(t) - \frac{g}{\ell} \sin x_1(t) \end{bmatrix}$$

$y(t) = x_1(t) = \begin{bmatrix} 1 & 0 \end{bmatrix} x(t)$

Σημεία ισορροπίας: $(x_0)_2 = 0$
 $-\frac{B}{m\ell^2} (x_0)_2 - \frac{g}{\ell} \sin(x_0)_1 = 0$ } \Leftrightarrow $\begin{cases} \sin(x_0)_1 = 0 \\ (x_0)_2 = 0 \end{cases} \Leftrightarrow \begin{cases} (x_0)_1 = 0 \text{ ή } \pi \\ (x_0)_2 = 0 \end{cases}$

$\Rightarrow \bar{x}_0 = \begin{bmatrix} 0 \\ 0 \end{bmatrix}, \quad \tilde{x}_0 = \begin{bmatrix} \pi \\ 0 \end{bmatrix}$

$f_1(x, u) = x_2(t) \Rightarrow \frac{\partial f_1(x, u)}{\partial x} = \left[\frac{\partial f_1(x, u)}{\partial x_1}, \frac{\partial f_1(x, u)}{\partial x_2} \right] = \begin{bmatrix} 0 & 1 \end{bmatrix}, \quad \frac{\partial f_1(x, u)}{\partial u} = 0$

$f_2(x, u) = -\frac{g}{\ell} \sin x_1 - \frac{B}{m\ell^2} x_2 \Rightarrow \frac{\partial f_2(x, u)}{\partial x} = \left[\frac{\partial f_2(x, u)}{\partial x_1}, \frac{\partial f_2(x, u)}{\partial x_2} \right] = \left[-\frac{g}{\ell} \cos x_1, -\frac{B}{m\ell^2} \right], \quad \frac{\partial f_2(x, u)}{\partial u} = 0$

$g(x, u) = x_1(t) \Rightarrow \frac{\partial g(x, u)}{\partial x} = \left[\frac{\partial g(x, u)}{\partial x_1}, \frac{\partial g(x, u)}{\partial x_2} \right] = \begin{bmatrix} 1 & 0 \end{bmatrix}, \quad \frac{\partial g(x, u)}{\partial u} = 0$

670 σημεία ισορροπίας $\bar{x}_0 = \begin{bmatrix} 0 \\ 0 \end{bmatrix}$:

$$\begin{bmatrix} \dot{\Delta x}_1(t) \\ \dot{\Delta x}_2(t) \end{bmatrix} = \begin{bmatrix} 0 & 1 \\ -\frac{g}{\ell} & -\frac{B}{m\ell^2} \end{bmatrix} \begin{bmatrix} \Delta x_1(t) \\ \Delta x_2(t) \end{bmatrix}$$

$\Delta y(t) = \begin{bmatrix} 1 & 0 \end{bmatrix} \Delta x(t) = \Delta x_1(t)$

670 σημεία ισορροπίας $\tilde{x}_0 = \begin{bmatrix} \pi \\ 0 \end{bmatrix}$:

$$\begin{bmatrix} \dot{\Delta x}_1(t) \\ \dot{\Delta x}_2(t) \end{bmatrix} = \begin{bmatrix} 0 & 1 \\ \frac{g}{\ell} & -\frac{B}{m\ell^2} \end{bmatrix} \begin{bmatrix} \Delta x_1(t) \\ \Delta x_2(t) \end{bmatrix}$$

$\Delta y(t) = \begin{bmatrix} 1 & 0 \end{bmatrix} \Delta x(t) = \Delta x_1(t)$

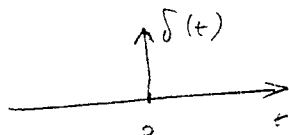
4. ΧΡΟΝΙΚΗ ΑΠΟΚΡΙΣΗ ΣΥΣΤΗΜΑΤΩΝ

30

4.1 Συνήθη είσοδοι εισόδου

(για την εκτίμηση συμπεριφοράς συστήματος)

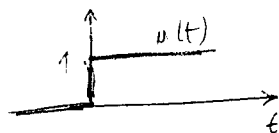
Κρουστική συνάρτηση:



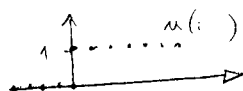
$$\delta(t) = 0, \forall t \neq 0, \int_{-\epsilon}^{\epsilon} \delta(t) dt = 1, \forall \epsilon > 0$$

$$\mathcal{L}\{\delta(t)\} = 1$$

Βηματική συνάρτηση:

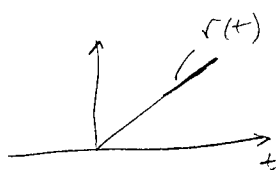


$$u(t) = \begin{cases} 0 & \forall t < 0 \\ 1 & \forall t \geq 0 \end{cases}, \mathcal{L}\{u(t)\} = \frac{1}{s}$$



$$u(kT) = \begin{cases} 0 & \forall k < 0 \\ 1 & \forall k \geq 0 \end{cases}, \mathcal{Z}\{u(kT)\} = \frac{z}{z-1}$$

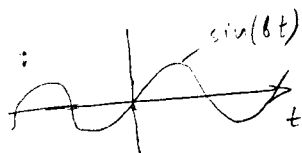
Συνάρτηση κλίσης:



$$r(t) = t, \mathcal{L}\{r(t)\} = \frac{1}{s^2}$$

$$r(kT) = kT, \mathcal{Z}\{r(kT)\} = \frac{Tz}{(z-1)^2}$$

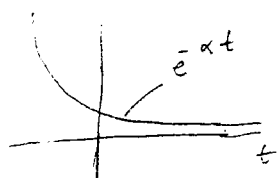
Ημιτονική συνάρτηση:



$$\sin(bt), \mathcal{L}\{\sin(bt)\} = \frac{b}{s^2 + b^2}$$

$$\sin(kbT), \mathcal{Z}\{\sin(kbT)\} = \frac{z \sin(bT)}{z^2 - 2z \cos(bT) + 1}$$

Εξθετική συνάρτηση:



$$e^{-\alpha t}, \mathcal{L}\{e^{-\alpha t}\} = \frac{1}{s + \alpha}$$

$$e^{-\alpha kT}, \mathcal{Z}\{e^{-\alpha kT}\} = \frac{z}{z - e^{-\alpha T}}$$

4.2 Χρονική απόκριση γραμμικών σταθερών συστημάτων Σ.Χ. (συνεχούς χρόνου)

$$\dot{x}(t) = Ax(t) + Bu(t) \quad (1.1)$$

$$y(t) = Cx(t) + Du(t) \quad (1.2)$$

Γενική λύση $x(t)$ της (1.1): $x(t) = x_p(t) + x_{op}(t)$

όπου $x_p(t)$ μία μερική λύση της (1.1) και $x_{op}(t)$ η γενική

λύση της ομογενούς εξίσωσης

$$\dot{x}_{op}(t) = Ax_{op}(t) \quad (2)$$

Είναι γνωστή η αρχική ($t=0$) τιμή $x(0)$ του $x(t)$,

Η λύση της διαφορικής της μορφής: $\dot{x}_p(t) = \Phi(t) x(0)$

όπου $\Phi(t)$ άγνωστη μήτρα συνάρτησεων του χρόνου.

$$\text{Ας υποθέσουμε ότι } \Phi(t) = C_0 + C_1 t + C_2 t^2 + C_3 t^3 + \dots + C_k t^k + \dots = \sum_{k=0}^{\infty} C_k t^k$$

$$x(0) = \Phi(0) x(0) \Rightarrow C_0 = I$$

$$\text{Τότε } \dot{x}(t) = \dot{\Phi}(t) x(0) = [C_1 + 2C_2 t + 3C_3 t^2 + \dots + k C_k t^{k-1} + (k+1) C_{k+1} t^k + \dots] x(0)$$

$$\begin{aligned} \text{και } \dot{x}(t) &= A x(t) \Rightarrow [C_1 + 2C_2 t + 3C_3 t^2 + \dots + k C_k t^{k-1} + \dots] x(0) = \\ &= A [I + C_1 t + C_2 t^2 + \dots + C_{k-1} t^{k-1} + \dots] x(0), \forall t \geq 0, \forall x(0) \end{aligned}$$

$$\Rightarrow \begin{cases} C_1 = A \\ C_2 = \frac{1}{2} A C_1 = \frac{1}{2} A^2 \\ C_3 = \frac{1}{3} A C_2 = \frac{1}{2 \cdot 3} A^3 = \frac{1}{3!} A^3 \\ C_4 = \frac{1}{4} A C_3 = \frac{1}{2 \cdot 3 \cdot 4} A^4 = \frac{1}{4!} A^4 \\ \vdots \\ C_k = \frac{1}{k} A C_{k-1} = \frac{1}{1 \cdot 2 \cdot 3 \dots k} A^k = \frac{1}{k!} A^k \\ \vdots \end{cases}$$

$$\Rightarrow \Phi(t) = \sum_{k=0}^{\infty} \frac{(At)^k}{k!} \quad (3)$$

Λόγω ομοιότητας της (3) με την $e^{at} = \sum_{k=0}^{\infty} \frac{(at)^k}{k!}$ όπου $a \in \mathbb{R}$

ορίζουμε: $e^{At} = \sum_{k=0}^{\infty} \frac{(At)^k}{k!}$ μιμητική εκθετική συνάρτηση.

Προσοχή: η μιμητική e^{At} δεν έχει στοιχεία $e^{a_{ij}t}$: $(e^{At})_{ij} \neq e^{a_{ij}t}$
(εκτός αν η A είναι διαγώνια)

$$\text{Άρα: } x_{op}(t) = \Phi(t) x(0) = e^{At} x(0) \quad (4)$$

Ιδιότητες της e^{At}

$$1) e^{At_1} e^{At_2} = e^{A(t_1+t_2)}$$

$$2) e^{A0} = e^{At} e^{-At} = I$$

$$3) \frac{d}{dt} \{e^{At}\} = A e^{At} = e^{At} A$$

$$4) (e^{At})^n = e^{nAt}$$

$$5) \text{ Αν } A = P^{-1} Q P \text{ τότε } e^{At} = P^{-1} e^{Qt} P$$

$$6) \text{ Αν } \Lambda = \text{diag}\{\lambda_1, \lambda_2, \dots, \lambda_n\} \text{ τότε } e^{\Lambda t} = \text{diag}\{e^{\lambda_1 t}, e^{\lambda_2 t}, \dots, e^{\lambda_n t}\}$$

$$7) e^{At} = \mathcal{L}^{-1}\{[sI - A]^{-1}\}$$

$$8) e^{At} e^{Bt} = e^{(A+B)t} \text{ αν και μόνο αν ισχύει } AB = BA$$

Αντικαθιστώντας την σχέση της (1.1) στη μερική

$$\dot{x}_p(t) = e^{At} \dot{p}(t), \quad p(0) = 0$$

όπου $p(t)$ προσδιορίζεται διαφομετρικά ως άγνωστο. Τότε

$$\dot{x}_p(t) = \frac{d}{dt} e^{At} p(t) + e^{At} \dot{p}(t) = A e^{At} p(t) + e^{At} \dot{p}(t) = A x_p(t) + e^{At} \dot{p}(t)$$

$$\text{όπως (1.1)} \Rightarrow \dot{x}_p(t) = A x_p(t) + B u(t)$$

$$\text{όπου} \quad \dot{p}(t) = (e^{At})^{-1} B u(t) = e^{-At} B u(t)$$

$$\Rightarrow p(t) = \int_0^t e^{-A\tau} B u(\tau) d\tau$$

$$\Rightarrow x_p(t) = e^{At} p(t) = e^{At} \int_0^t e^{-A\tau} B u(\tau) d\tau = \int_0^t e^{A(t-\tau)} B u(\tau) d\tau$$

$$\text{Επομένως} \quad x(t) = x_{op}(t) + x_p(t) = e^{At} x(0) + \int_0^t e^{A(t-\tau)} B u(\tau) d\tau \quad (5)$$

όπου η γενική λύση της (1.1) γέ α.σ. $x(0)$.

$$\text{Τότε (1.2)} \Rightarrow y(t) = C e^{At} x(0) + \int_0^t C e^{A(t-\tau)} B u(\tau) d\tau + D u(t) \quad (6)$$

4.3 Τρόποι υπολογισμού της e^{At}

33

1) Με αντίστροφο μετασχηματισμό Laplace.

$$\text{Ιδιότητα 6): } e^{At} = \mathcal{L}^{-1}\{[sI-A]^{-1}\} \Leftrightarrow \mathcal{L}\{e^{At}\} = [sI-A]^{-1}$$

Παίρνουμε με μέθοδο συναρτήσεων μεταστροφής:

$$x(t) = e^{At} x(0) + \int_0^t e^{A(t-\tau)} B u(\tau) d\tau$$

$$\Rightarrow X(s) = \mathcal{L}\{x(t)\} = \mathcal{L}\{e^{At}\} x(0) + \mathcal{L}\left\{\int_0^t e^{A(t-\tau)} B u(\tau) d\tau\right\} \\ = [sI-A]^{-1} x(0) + [sI-A]^{-1} B U(s) \quad \text{όπου } U(s) = \mathcal{L}\{u(t)\}$$

$$\text{οπότε } x(t) = \mathcal{L}^{-1}\{[sI-A]^{-1}\} x(0) + \mathcal{L}^{-1}\{[sI-A]^{-1} B U(s)\}$$

$$\text{και } y(t) = C x(t) + D u(t) = \mathcal{L}^{-1}\{C [sI-A]^{-1}\} x(0) + \mathcal{L}^{-1}\{[C [sI-A]^{-1} B + D] U(s)\} \\ = \mathcal{L}^{-1}\{C [sI-A]^{-1}\} x(0) + \mathcal{L}^{-1}\{G(s) U(s)\} \quad \begin{matrix} \uparrow \\ G(s) \end{matrix}$$

$$\S \quad Y(s) = \mathcal{L}\{y(t)\} = C [sI-A]^{-1} x(0) + [C [sI-A]^{-1} B + D] U(s) \\ = C [sI-A]^{-1} x(0) + G(s) U(s) \quad \swarrow$$

2) Με διαγωνοποίηση της A (αν αυτό είναι δυνατό).

Αν η A έχει η γραμμική ανεξάρτητα ιδιοδιανύσματα p_1, p_2, \dots, p_n που αντιστοιχούν σε ιδιοτιμές $\lambda_1, \lambda_2, \dots, \lambda_n$,

τότε $A = P \Lambda P^{-1}$ όπου $P = [p_1, p_2, \dots, p_n]$ και $\Lambda = \text{diag}\{\lambda_1, \lambda_2, \dots, \lambda_n\}$,

οπότε (ιδιότητες 5 & 6):

$$e^{At} = e^{P \Lambda P^{-1} t} = P e^{\Lambda t} P^{-1} = P \text{diag}\{e^{\lambda_1 t}, e^{\lambda_2 t}, \dots, e^{\lambda_n t}\} P^{-1}$$

3) Με βάση το Θώρημα Cayley-Hamilton

Θώρημα Cayley-Hamilton: Αν $\psi(s) = \det(sI - A) = s^n + \alpha_1 s^{n-1} + \alpha_2 s^{n-2} + \dots + \alpha_{n-1}s + \alpha_n$

$$\text{τότε } A^n + \alpha_1 A^{n-1} + \alpha_2 A^{n-2} + \dots + \alpha_{n-1}A + \alpha_n I = \psi(A) = 0$$

Ευχεύδια δίνονται της e^{st} με το $\psi(s)$:

$$e^{st} = \psi(s)\pi(s) + u(s) = \psi(s)\pi(s) + b_0 + b_1 s + \dots + b_{n-1}s^{n-1} \quad (1)$$

Το υπόλοιπο $u(s)$ (βαθμύ < n) προσδιορίζεται (χωρίς να χρησιμοποιηθούν ιδιότητες)

ως εξής:

(α) αν το $\psi(s)$ έχει n διακριτές ρίζες $\lambda_1, \lambda_2, \dots, \lambda_n$ τότε

$$e^{\lambda_1 t} = \psi(\lambda_1)\pi(\lambda_1) + b_0 + b_1 \lambda_1 + \dots + b_{n-1} \lambda_1^{n-1}$$

$$e^{\lambda_2 t} = \psi(\lambda_2)\pi(\lambda_2) + b_0 + b_1 \lambda_2 + \dots + b_{n-1} \lambda_2^{n-1}$$

$$\vdots$$

$$e^{\lambda_n t} = \psi(\lambda_n)\pi(\lambda_n) + b_0 + b_1 \lambda_n + \dots + b_{n-1} \lambda_n^{n-1}$$

$$\Leftrightarrow \begin{bmatrix} 1 & \lambda_1 & \dots & \lambda_1^{n-1} \\ 1 & \lambda_2 & \dots & \lambda_2^{n-1} \\ \vdots & \vdots & & \vdots \\ 1 & \lambda_n & \dots & \lambda_n^{n-1} \end{bmatrix} \begin{bmatrix} b_0 \\ b_1 \\ \vdots \\ b_{n-1} \end{bmatrix} = \begin{bmatrix} e^{\lambda_1 t} \\ e^{\lambda_2 t} \\ \vdots \\ e^{\lambda_n t} \end{bmatrix}$$

$$\uparrow \\ V: \text{Vandermonde matrix} \Rightarrow \det V = \prod_{i \neq j} (\lambda_i - \lambda_j) \neq 0$$

$$\Leftrightarrow \begin{bmatrix} b_0 \\ b_1 \\ \vdots \\ b_n \end{bmatrix} = V^{-1} \begin{bmatrix} e^{\lambda_1 t} \\ e^{\lambda_2 t} \\ \vdots \\ e^{\lambda_n t} \end{bmatrix}$$

(β) αν το $\psi(s)$ έχει πολλαπλές ρίζες τότε χρησιμοποιούμε παράγωγοι ως προς s της $e^{st} \Big|_{s=\lambda_k}$ μέχρι να έχουμε όλη τη πληροφορία της λ

Σε κάθε περίπτωση:

$$\left. \begin{aligned} (1) &\Rightarrow e^{At} = \psi(A)\pi(A) + u(A) \\ \text{Cayley-Hamilton} &\Rightarrow \psi(A) = 0 \end{aligned} \right\} \Rightarrow e^{At} = u(A) = b_0 I + b_1 A + b_2 A^2 + \dots + b_{n-1} A^{n-1}$$

Παράδειγμα:
$$\begin{bmatrix} \dot{x}_1(t) \\ \dot{x}_2(t) \end{bmatrix} = \begin{bmatrix} -2 & -1 \\ -2 & -3 \end{bmatrix} \begin{bmatrix} x_1(t) \\ x_2(t) \end{bmatrix} + \begin{bmatrix} 0 \\ 1 \end{bmatrix} u(t)$$

$$y = \begin{bmatrix} 1 & 0 \end{bmatrix} \begin{bmatrix} x_1(t) \\ x_2(t) \end{bmatrix}$$

Υπολογισμός της e^{At} και της χρονικής απόκρισης.

1) Με \mathcal{L}^{-1} : $(sI - A) = \left(\begin{bmatrix} s & 0 \\ 0 & s \end{bmatrix} - \begin{bmatrix} -2 & -1 \\ -2 & -3 \end{bmatrix} \right) = \begin{bmatrix} s+2 & 1 \\ 2 & s+3 \end{bmatrix}$

$$\det(sI - A) = (s+2)(s+3) - 2 = s^2 + 5s + 6 - 2 = s^2 + 5s + 4 = (s+1)(s+4)$$

$$(sI - A)^{-1} = \frac{\begin{bmatrix} s+3 & -1 \\ -2 & s+2 \end{bmatrix}}{(s+1)(s+4)} = \begin{bmatrix} \frac{s+3}{(s+1)(s+4)} & -\frac{1}{(s+1)(s+4)} \\ -\frac{2}{(s+1)(s+4)} & \frac{s+2}{(s+1)(s+4)} \end{bmatrix}$$

Αναλύω σε απλά κλάσματα:

$$\frac{s+3}{(s+1)(s+4)} = \frac{k_1}{s+1} + \frac{k_2}{s+4} = \frac{k_1(s+4) + k_2(s+1)}{(s+1)(s+4)} \Rightarrow s+3 = k_1(s+4) + k_2(s+1)$$

$$s = -1 : 2 = k_1 \cdot 3 \Rightarrow k_1 = \frac{2}{3}$$

$$s = -4 : -1 = k_2 \cdot (-3) \Rightarrow k_2 = \frac{1}{3}$$

$$\mathcal{L}^{-1} \left\{ \frac{s+3}{(s+1)(s+4)} \right\} = \mathcal{L}^{-1} \left\{ \frac{2}{3(s+1)} + \frac{1}{3(s+4)} \right\} = \frac{2}{3} e^{-t} + \frac{1}{3} e^{-4t}, \quad t > 0$$

ομοίως:

$$\mathcal{L}^{-1} \left\{ \frac{1}{(s+1)(s+4)} \right\} = \mathcal{L}^{-1} \left\{ \frac{1}{3(s+1)} - \frac{1}{3(s+4)} \right\} = \frac{1}{3} e^{-t} - \frac{1}{3} e^{-4t}, \quad t > 0$$

$$\mathcal{L}^{-1} \left\{ \frac{s+2}{(s+1)(s+4)} \right\} = \mathcal{L}^{-1} \left\{ \frac{1}{3(s+1)} + \frac{2}{3(s+4)} \right\} = \frac{1}{3} e^{-t} + \frac{2}{3} e^{-4t}, \quad t > 0$$

$$e^{At} = \mathcal{L}^{-1} \left\{ (sI - A)^{-1} \right\} = \begin{bmatrix} \frac{2}{3} e^{-t} + \frac{1}{3} e^{-4t} & -\frac{1}{3} e^{-t} + \frac{1}{3} e^{-4t} \\ -\frac{2}{3} e^{-t} + \frac{2}{3} e^{-4t} & \frac{1}{3} e^{-t} + \frac{2}{3} e^{-4t} \end{bmatrix}, \quad t > 0$$

$$x(t) = e^{At} x(0) + \int_0^t e^{A(t-\tau)} B u(\tau) d\tau$$

$$x(0) = \begin{bmatrix} 1 \\ 1 \end{bmatrix}, \quad u(t) = 0, \quad \forall t \Rightarrow$$

$$\Rightarrow x(t) = e^{At} \begin{bmatrix} 1 \\ 1 \end{bmatrix} = \begin{bmatrix} \frac{1}{3} e^{-t} + \frac{2}{3} e^{-4t} \\ -\frac{1}{3} e^{-t} + \frac{2}{3} e^{-4t} \end{bmatrix}, \quad y(t) = \begin{bmatrix} 1 & 0 \end{bmatrix} x(t) = \frac{1}{3} e^{-t} + \frac{2}{3} e^{-4t}$$

Παραίτηται: $x(t) = \mathcal{L}^{-1} \left\{ [sI - A]^{-1} x(0) + [sI - A]^{-1} B u(s) \right\}$

$$= \mathcal{L}^{-1} \left\{ [sI - A]^{-1} \begin{bmatrix} 1 \\ 1 \end{bmatrix} \right\} = \mathcal{L}^{-1} \left\{ \begin{bmatrix} \frac{s+2}{(s+1)(s+4)} \\ \frac{s}{(s+1)(s+4)} \end{bmatrix} \right\} = \begin{bmatrix} \frac{1}{3} e^{-t} + \frac{2}{3} e^{-4t} \\ -\frac{1}{3} e^{-t} + \frac{4}{3} e^{-4t} \end{bmatrix}$$

$$y(t) = \mathcal{L}^{-1} \left\{ C [sI - A]^{-1} x(0) + C [sI - A]^{-1} B u(s) \right\}$$

$$= \mathcal{L}^{-1} \left\{ [1 \ 0] [sI - A]^{-1} \begin{bmatrix} 1 \\ 1 \end{bmatrix} \right\} = \mathcal{L}^{-1} \left\{ [1 \ 0] \begin{bmatrix} \frac{s+2}{(s+1)(s+4)} \\ \frac{s}{(s+1)(s+4)} \end{bmatrix} \right\} =$$

$$= \mathcal{L}^{-1} \left\{ \frac{s+2}{(s+1)(s+4)} \right\} = \frac{1}{3} e^{-t} + \frac{2}{3} e^{-4t}$$

Αν $u(t) = u(t) \Rightarrow u(s) = \frac{1}{s}$ τότε

$$x(t) = e^{At} \begin{bmatrix} 1 \\ 1 \end{bmatrix} + \int_0^t e^{A(t-\tau)} \begin{bmatrix} 0 \\ 1 \end{bmatrix} d\tau = \frac{1}{3} \begin{bmatrix} e^{-t} + 2e^{-4t} \\ -e^{-t} + 4e^{-4t} \end{bmatrix} + \frac{1}{3} \int_0^t \begin{bmatrix} -e^{-t+\tau} + e^{-4(t-\tau)} \\ e^{-t+\tau} + 2e^{-4(t-\tau)} \end{bmatrix} d\tau$$

$$= \frac{1}{3} \begin{bmatrix} e^{-t} + 2e^{-4t} + \left[-e^{-t+\tau} + \frac{1}{4} e^{4(-t+\tau)} \right]_0^t \\ -e^{-t} + 4e^{-4t} + \left[e^{-t+\tau} + \frac{2}{4} e^{4(-t+\tau)} \right]_0^t \end{bmatrix}$$

$$= \frac{1}{3} \begin{bmatrix} e^{-t} + 2e^{-4t} + 1 - e^{-t} + \frac{1}{4} - \frac{1}{4} e^{-4t} \\ -e^{-t} + 4e^{-4t} + 1 - e^{-t} + \frac{1}{2} - \frac{1}{2} e^{-4t} \end{bmatrix} = \frac{1}{3} \begin{bmatrix} \frac{5}{4} + \frac{7}{4} e^{-4t} \\ \frac{3}{2} - 2e^{-t} + \frac{7}{2} e^{-4t} \end{bmatrix}$$

$$x(t) = \mathcal{L}^{-1} \left\{ [sI - A]^{-1} \begin{bmatrix} 1 \\ 1 \end{bmatrix} + [sI - A]^{-1} \begin{bmatrix} 0 \\ 1 \end{bmatrix} \frac{1}{s} \right\} =$$

$$= \mathcal{L}^{-1} \left\{ \begin{bmatrix} \frac{s+2}{(s+1)(s+4)} - \frac{1}{s(s+1)(s+4)} \\ \frac{s}{(s+1)(s+4)} + \frac{s+2}{s(s+1)(s+4)} \end{bmatrix} \right\} = \left(\begin{array}{l} \text{κρίνοντας σε απλές κλασματικές} \\ \text{κάθε όρου και αντιστοίχως} \end{array} \right)$$

2) Με διαγωνισμούς ως A .

$$(\text{διοτιμή}) \text{ ως } A: \det(\lambda I - A) = (\lambda + 1)(\lambda + 4) \Rightarrow \begin{cases} \lambda_1 = -1 \\ \lambda_2 = -4 \end{cases}$$

$$A p_1 = \lambda_1 p_1 \Leftrightarrow (\lambda_1 I - A) p_1 = 0 \Leftrightarrow \begin{bmatrix} 1 & 1 \\ 2 & 2 \end{bmatrix} \begin{bmatrix} p_{11} \\ p_{12} \end{bmatrix} = 0 \Leftrightarrow p_{11} = -p_{12}$$

$$A p_2 = \lambda_2 p_2 \Leftrightarrow (\lambda_2 I - A) p_2 = 0 \Leftrightarrow \begin{bmatrix} -4+2 & 1 \\ 2 & -4+3 \end{bmatrix} \begin{bmatrix} p_{21} \\ p_{22} \end{bmatrix} = 0 \Leftrightarrow \begin{bmatrix} -2 & 1 \\ 2 & -1 \end{bmatrix} \begin{bmatrix} p_{21} \\ p_{22} \end{bmatrix} = 0$$

$$\Leftrightarrow p_{22} = 2p_{21}$$

$$P = [p_1, p_2] = \begin{bmatrix} 1 & 1 \\ -1 & 2 \end{bmatrix}$$

$$P^{-1} = \frac{1}{3} \begin{bmatrix} 2 & -1 \\ 1 & 1 \end{bmatrix}$$

$$A = P \Lambda P^{-1} = \frac{1}{3} \begin{bmatrix} 1 & 1 \\ -1 & 2 \end{bmatrix} \begin{bmatrix} -1 & 0 \\ 0 & -4 \end{bmatrix} \begin{bmatrix} 2 & -1 \\ 1 & 1 \end{bmatrix} \Rightarrow e^{At} = P e^{\Lambda t} P^{-1}$$

$$\Rightarrow e^{At} = \frac{1}{3} \begin{bmatrix} 1 & 1 \\ -1 & 2 \end{bmatrix} \begin{bmatrix} e^{-t} & 0 \\ 0 & e^{-4t} \end{bmatrix} \begin{bmatrix} 2 & -1 \\ 1 & 1 \end{bmatrix} = \frac{1}{3} \begin{bmatrix} 1 & 1 \\ -1 & 2 \end{bmatrix} \begin{bmatrix} 2e^{-t} & -e^{-t} \\ e^{-4t} & e^{-4t} \end{bmatrix}$$

$$\Rightarrow e^{At} = \frac{1}{3} \begin{bmatrix} 2e^{-t} + e^{-4t} & -e^{-t} + e^{-4t} \\ -2e^{-t} + 2e^{-4t} & e^{-t} + 2e^{-4t} \end{bmatrix}$$

3) Με θ. Cayley-Hamilton

$$e^{At} = b_0 I + b_1 A$$

$$\begin{bmatrix} 1 & \lambda_1 \\ 1 & \lambda_2 \end{bmatrix} \begin{bmatrix} b_0 \\ b_1 \end{bmatrix} = \begin{bmatrix} e^{\lambda_1 t} \\ e^{\lambda_2 t} \end{bmatrix} \Rightarrow \begin{bmatrix} 1 & -1 \\ 1 & -4 \end{bmatrix} \begin{bmatrix} b_0 \\ b_1 \end{bmatrix} = \begin{bmatrix} e^{-t} \\ e^{-4t} \end{bmatrix}$$

$$\Rightarrow \begin{bmatrix} b_0 \\ b_1 \end{bmatrix} = -\frac{1}{3} \begin{bmatrix} -4 & 1 \\ -1 & 1 \end{bmatrix} \begin{bmatrix} e^{-t} \\ e^{-4t} \end{bmatrix} = -\frac{1}{3} \begin{bmatrix} -4e^{-t} + e^{-4t} \\ -e^{-t} + e^{-4t} \end{bmatrix}$$

$$e^{At} = \begin{bmatrix} b_0 & 0 \\ 0 & b_0 \end{bmatrix} + b_1 \begin{bmatrix} -2 & -1 \\ -2 & -3 \end{bmatrix} = -\frac{1}{3} \begin{bmatrix} -4e^{-t} + e^{-4t} & -(-e^{-t} + e^{-4t}) \\ -2(-e^{-t} + e^{-4t}) & -4e^{-t} + e^{-4t} - 3(-e^{-t} + e^{-4t}) \end{bmatrix}$$

$$= -\frac{1}{3} \begin{bmatrix} -2e^{-t} - e^{-4t} & e^{-t} - e^{-4t} \\ 2e^{-t} - 2e^{-4t} & -e^{-t} - 2e^{-4t} \end{bmatrix}$$

4.4 Βηματική απόκριση γραμμ. σταθ. συστ. θ.χ. ΜΕΜΕ.

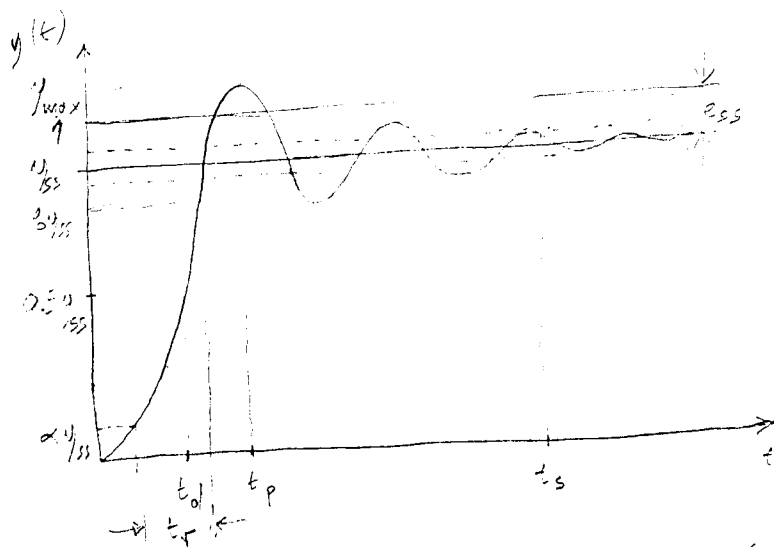
38

(*) Γενικά

Είσοδος: $u(t) = \begin{cases} 1, & t \geq 0 \\ 0, & t < 0 \end{cases}$ ($\mathcal{L}\{u(t)\} = \frac{1}{s}$). Αρχικές συνθήκες $x(0) = 0$.

$$\begin{aligned} \text{Λύση: } x(t) &= e^{At} x(0) + \int_0^t e^{A(t-\tau)} B u(\tau) d\tau = \int_0^t e^{A(t-\tau)} d\tau B = e^{At} \int_0^t \frac{d}{d\tau} e^{-A\tau} d\tau A^{-1} B \\ &= e^{At} [-e^{-A\tau}]_0^t A^{-1} B = e^{At} [-e^{-At} + I] A^{-1} B = (e^{At} - I) A^{-1} B = A^{-1} (e^{At} - I) I \\ &= \mathcal{L}^{-1} \left\{ \frac{1}{s} [sI - A]^{-1} B \right\} \end{aligned}$$

$$\begin{aligned} \text{Εξόδος: } y(t) &= C x(t) + D u(t) = C (e^{At} - I) A^{-1} B + D, \quad t \geq 0 \\ &= \mathcal{L}^{-1} \{Y(s)\} = \mathcal{L}^{-1} \{G(s) U(s)\} = \mathcal{L}^{-1} \left\{ \frac{1}{s} C [sI - A]^{-1} B + \frac{D}{s} \right\} \end{aligned}$$



- τελική τιμή της $y(t)$: $y_{ss} = \lim_{t \rightarrow \infty} \{y(t)\}$

- χρόνος καθυστέρησης t_d : $y(t_d) = 0.5 y_{ss}$

- χρόνος ανόδου t_r : $t_r = t_2 - t_1$ όπου $y(t_1) = \alpha y_{ss}$, $y(t_2) = \beta y_{ss}$
(συνήθως $\alpha = 0.1$, $\beta = 0.9$)

- χρόνος κορυφής t_p : $y(t_p) = y_{max} \triangleq \max_t \{y(t)\}$

- μέγιστη % υπερχείλιση M_p : $M_p = \frac{y_{max} - y_{ss}}{y_{ss}} \cdot 100\%$

- χρόνος αποστάθευσης t_s : $|y(t) - y_{ss}| \leq \gamma y_{ss}$, $\forall t \geq t_s$ (συνήθως $\gamma = 5\%$)
(ο χρόνος που απαιτείται για να φτάσει και να παραμείνει η $y(t)$ σε μία περιοχή της y_{ss})

- ορισμέ μονίμης κατάρρευσης e_{ss} : $e_{ss} = \lim_{t \rightarrow \infty} \{u(t) - y(t)\} = 1 - y_{ss}$

Θεώρημα τελικής τιμής: Αν τα όρια υπάρχουν (αν η $sF(s)$ είναι Hurwitz)

$$\lim_{t \rightarrow \infty} \{f(t)\} = \lim_{s \rightarrow 0} \{sF(s)\} \quad \text{όπου } F(s) = \mathcal{L}\{f(t)\}.$$

(2) Βημετική απόκριση συστήματος 1^{ης} τάξης

39

(i) σύστημα 1^{ης} τάξης χωρίς μηδενισμό

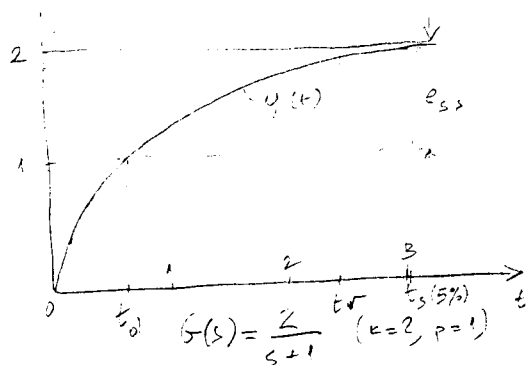
$$\dot{x}(t) = -p x(t) + k u(t) \quad , \quad p > 0, k > 0$$

$$y(t) = x(t)$$

$$G(s) = C[sI - A]^{-1}B + D = 1(s - (-p))^{-1}k + 0 = \frac{k}{s+p}$$

$$Y(s) = G(s)U(s) = \frac{G(s)}{s} = \frac{k}{s(s+p)} = \frac{k}{ps} - \frac{k}{p(s+p)}$$

$$y(t) = \mathcal{L}^{-1}\{Y(s)\} = \frac{k}{p} [1 - e^{-pt}] \quad , \quad t \geq 0$$



$$\text{αριθμητική } y_{ss} = \lim_{t \rightarrow \infty} \{y(t)\} = \lim_{t \rightarrow \infty} \left\{ \frac{k}{p} (1 - e^{-pt}) \right\} = \frac{k}{p}$$

$$\text{απόσβεση: } e_{ss} = \lim_{t \rightarrow \infty} \{u(t) - y(t)\} = 1 - \frac{k}{p}$$

$$\text{χρόνος καθυστέρησης: } y(t_d) = 0.5 y_{ss} \Rightarrow \frac{k}{p} [1 - e^{-pt_d}] = \frac{k}{2p}$$

$$\Rightarrow e^{-pt_d} = \frac{1}{2} \Rightarrow e^{pt_d} = 2$$

$$\Rightarrow t_d = \frac{\ln(2)}{p} = \frac{0.693}{p}$$

χρόνος καθόδου από το 0% στο 90% της τελικής τιμής: $y(t_r) = 0.9 y_{ss} \Rightarrow$

$$\Rightarrow t_r = \frac{\ln(0.1)}{-p} = \frac{2.302}{p}$$

χρόνος καθυστέρησης, μέγιστη υπερπείδηση: \neq .

$$\text{χρόνοι αποκλιμάτωσης 5% και 2% : } t_s(5\%) = \frac{\ln(0.05)}{-p} = \frac{2.995}{p}$$

$$t_s(2\%) = \frac{\ln(0.02)}{-p} = \frac{3.912}{p}$$

(ii) σύστημα 1^{ης} τάξης με μηδενικό

40

$$G(s) = \frac{k(s+z)}{s+p}, \quad p > 0$$

Άσκηση: να επιβεβαιωθεί περιγραφή (A, B, C, D) με ανώτερη μεταστροφή $G(s) = \frac{k(s+z)}{s+p}$.

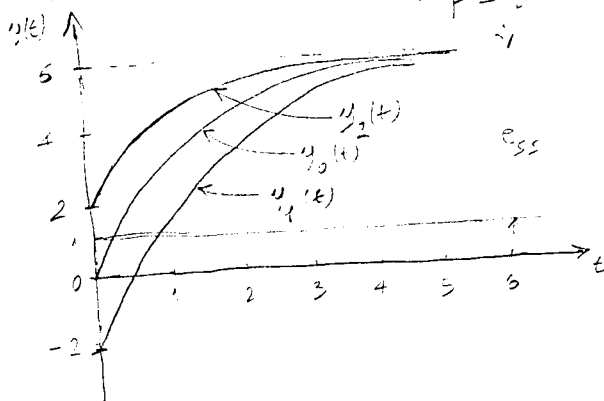
$$G(s) = \frac{Y(s)}{U(s)} = \frac{k(s+z)}{s+p} \Leftrightarrow sY(s) + pY(s) = k s U(s) + k z U(s) \xrightarrow{\mathcal{L}^{-1}} \dot{y}(t) = -p y(t) + k \dot{u}(t) + k z u(t)$$

$$\text{Ας είναι } x(t) = y(t) - k u(t). \text{ Τότε } \dot{x}(t) = \dot{y}(t) - k \dot{u}(t) = -p y(t) + k z u(t) \Rightarrow$$

$$\Rightarrow \begin{cases} \dot{x}(t) = -p x(t) + k(z-p) u(t) \\ y(t) = x(t) + k u(t) \end{cases} \Rightarrow A = -p, \quad B = k(z-p), \quad C = 1, \quad D = k$$

$$Y(s) = G(s)U(s) = \frac{G(s)}{s} = \frac{k(s+z)}{s(s+p)} = \frac{kz}{ps} - \frac{k(z-p)}{p(s+p)}$$

$$y(t) = \mathcal{L}^{-1}\{Y(s)\} = \mathcal{L}^{-1}\left\{\frac{kz}{ps}\right\} - \mathcal{L}^{-1}\left\{\frac{k(z-p)}{p(s+p)}\right\} = \frac{k}{p}(z + (p-z)e^{-pt}), \quad t \geq 0$$



$$y_0(t) \Leftrightarrow k=6, p=1, \text{ χωρίς μηδενικό}$$

$$y_1(t) \Leftrightarrow k=3, z=2, p=1, \text{ μηδενικό πρώτου}$$

$$y_2(t) \Leftrightarrow k=-3, z=-2, p=1, \text{ μηδενικό δεύτερου}$$

$$y_1(t), y_2(t) \text{ αδυναμείας για } t=0$$

$$\text{μηδενικό πρώτου} \Rightarrow \text{επιτάχυνση της απόκρισης}$$

$$\text{εξίσωση τυγν: } y_{ss} = \lim_{t \rightarrow \infty} \{y(t)\} = \lim_{t \rightarrow \infty} \left\{ \frac{k}{p} (z + (p-z)e^{-pt}) \right\} = \frac{kz}{p}$$

$$\text{αόραμα μόνιμης κατάστασης: } e_{ss} = \lim_{t \rightarrow \infty} \{u(t) - y(t)\} = 1 - \frac{kz}{p}$$

$$\text{Χρόνος } \alpha: y(t_\alpha) = \alpha y_{ss} \Rightarrow \frac{k}{p} (z + (p-z)e^{-pt_\alpha}) = \alpha \frac{kz}{p} \Rightarrow e^{-pt_\alpha} = \frac{(\alpha-1)z}{p-z}$$

$$\Rightarrow -pt_\alpha = \ln\left(\frac{(1-\alpha)z}{z-p}\right) \Rightarrow t_\alpha = -\frac{1}{p} \ln\left(\frac{(1-\alpha)z}{z-p}\right) = \frac{1}{p} \ln\left(\frac{z-p}{(1-\alpha)z}\right)$$

$$\Rightarrow t_\alpha = \frac{1}{p} \left[-\ln(1-\alpha) + \ln\left(\frac{z-p}{z}\right) \right]$$

$$\text{Χρόνος καθυστέρησης: } y(t_d) = \frac{1}{2} y_{ss} \Rightarrow t_d = t_{0.5} = \frac{1}{p} \left[-\ln\left(\frac{1}{2}\right) + \ln\left(\frac{z-p}{z}\right) \right]$$

$$\Rightarrow t_d = \frac{1}{p} \left[0.693 + \ln\left(1 - \frac{p}{z}\right) \right]$$

Χρόνος πλάτους από το 0% στο 90% της τελικής τιμής:

$$y(t_r) = 0.9 y_{ss} \Rightarrow t_r = t_{0.9} = \frac{1}{p} \left[-\ln(0.1) + \ln\left(1 - \frac{p}{z}\right) \right] = \frac{1}{p} \left[2.302 + \ln\left(1 - \frac{p}{z}\right) \right]$$

Χρόνος κορυφής, πέφτει υπερπύκνωση: ~~Α~~

Χρόνοι αποκατάστασης 5% και 2%:

$$t_s(5\%) = \frac{1}{p} \left[-\ln(0.05) + \ln\left(1 - \frac{p}{z}\right) \right] = \frac{1}{p} \left[2.995 + \ln\left(1 - \frac{p}{z}\right) \right]$$

$$t_s(2\%) = \frac{1}{p} \left[-\ln(0.02) + \ln\left(1 - \frac{p}{z}\right) \right] = \frac{1}{p} \left[3.912 + \ln\left(1 - \frac{p}{z}\right) \right]$$

(8) Βημετική απόκριση συστημάτων 2^{ης} τάξης

(i) βόσκηση 2^{ης} τάξης χωρίς μηδενικούς

$$G(s) = \frac{k}{s^2 + \alpha s + \beta} = \frac{k}{s^2 + 2\zeta\omega_n s + \omega_n^2}, \quad \alpha > 0, \beta > 0, \quad \omega_n = \sqrt{\beta}, \quad \zeta = \frac{\alpha}{2\sqrt{\beta}}$$

$$\begin{aligned} \text{Εξίσωση κατά βόσκηση: } s^2 Y(s) + 2\zeta\omega_n s Y(s) + \omega_n^2 Y(s) &= k U(s) \Rightarrow \\ \Rightarrow \ddot{y}(t) + 2\zeta\omega_n \dot{y}(t) + \omega_n^2 y(t) &= k u(t) \end{aligned}$$

$$\dot{x}_1(t) = y(t)$$

$$x_2(t) = \dot{x}_1(t) = \dot{y}(t)$$

$$\dot{x}_2(t) = \ddot{y}(t) = -2\zeta\omega_n \dot{y}(t) - \omega_n^2 y(t) + k u(t) = -2\zeta\omega_n x_2(t) - \omega_n^2 x_1(t) + k u(t)$$

$$\begin{bmatrix} \dot{x}_1(t) \\ \dot{x}_2(t) \end{bmatrix} = \begin{bmatrix} 0 & 1 \\ -\omega_n^2 & -2\zeta\omega_n \end{bmatrix} \begin{bmatrix} x_1(t) \\ x_2(t) \end{bmatrix} + \begin{bmatrix} 0 \\ k \end{bmatrix} u(t)$$

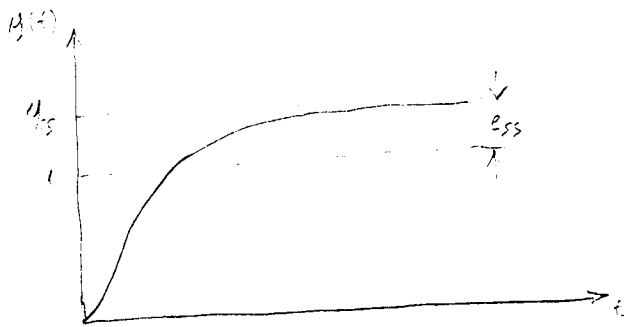
Διακρίνουσα $\psi(s)$: $\Delta = \alpha^2 - 4\beta = 4\zeta^2\omega_n^2 - 4\omega_n^2 = 4\omega_n^2(\zeta^2 - 1)$

Περίπτωση 1^η: $\Delta > 0$, δηλαδή $\zeta > 1$ (2 πραγματικοί πόλοι αριστερά)

$$Y(s) = G(s)U(s) = \frac{k}{s(s^2 + 2\zeta\omega_n s + \omega_n^2)} = \frac{k}{\omega_n^2 s} + \frac{k}{p_1(-\sqrt{\Delta})(s-p_1)} + \frac{k}{p_2\sqrt{\Delta}(s-p_2)}$$

$$\text{όπου } p_1 = -\omega_n(\zeta + \sqrt{\zeta^2 - 1}) \text{ και } p_2 = -\omega_n(\zeta - \sqrt{\zeta^2 - 1}) \text{ οι πόλοι.}$$

$$\Rightarrow y(t) = \frac{k}{\omega_n^2} + \frac{k}{2\omega_n\sqrt{\zeta^2 - 1}} \left[\frac{e^{p_2 t}}{p_2} - \frac{e^{p_1 t}}{p_1} \right], \quad t \geq 0$$



$$\text{σταθμικό υπόλοιπο: } y_{ss} = \lim_{t \rightarrow \infty} y(t) = \frac{k}{\omega_n^2}$$

βόσκηση υπό βόσκηση κατά βόσκηση:

$$e_{ss} = \lim_{t \rightarrow \infty} \{u(t) - y(t)\} = 1 - \frac{k}{\omega_n^2}$$

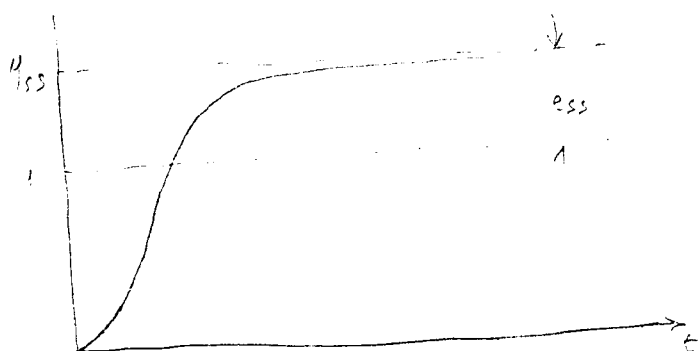
Αν $\zeta \gg 1$ τότε η απόκριση $e^{p_1 t}$ φθίνει πολύ πιο γρήγορα από την $e^{p_2 t}$ οπότε το 2^ο τάξης σύστημα μπορεί να προσεγγιστεί από σύστημα 1^{ης} τάξης με $p = p_2$.

Περίπτωση 2^η : $\Delta = 0$, δηλαδή $\zeta = 1$ (Συχνός παραγόμενος τύπος στο έργο)

42

$$Y(s) = G(s)U(s) = \frac{k}{s(s^2 + 2\omega_n s + \omega_n^2)} = \frac{k}{s(s + \omega_n)^2} = \frac{k}{\omega_n^2} \left[\frac{1}{s} - \frac{1}{s + \omega_n} - \frac{\omega_n}{(s + \omega_n)^2} \right]$$

$$\Rightarrow y(t) = \frac{k}{\omega_n^2} [1 - e^{-\omega_n t} (1 + \omega_n t)]$$



εξίσωση τύπου $y_{ss} = \lim_{t \rightarrow \infty} y(t) =$
 $= \lim_{s \rightarrow 0} \left\{ \frac{k}{s(s + \omega_n)^2} \right\} = \frac{k}{\omega_n^2}$

εξίσωση υπόλοιπου κατάστασης :

$$e_{ss} = \lim_{t \rightarrow \infty} \{u(t) - y(t)\} = 1 - \frac{k}{\omega_n^2}$$

χρόνος α : $y(t_\alpha) = \alpha y_{ss} \Leftrightarrow 1 - e^{-\omega_n t_\alpha} (1 + \omega_n t_\alpha) = \alpha \Leftrightarrow e^{-\omega_n t_\alpha} = \frac{1 + \omega_n t_\alpha}{1 - \alpha}$

χρόνος καθυστέρησης ($\alpha = 0.5$) : $t_d = \frac{1.68}{\omega_n}$

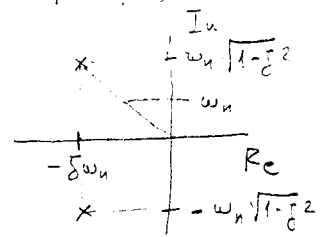
χρόνος ανόδου από 0% σε 90% του y_{ss} ($\alpha = 0.9$) : $t_r = \frac{3.9}{\omega_n}$

χρόνος αποκλιμάκωσης 5% και 2% : $t_s(5\%) = \frac{4.75}{\omega_n}$
 $t_s(2\%) = \frac{5.8}{\omega_n}$

χρόνος κορυφής, υπέρ-εν υπερέκθεση : \nexists

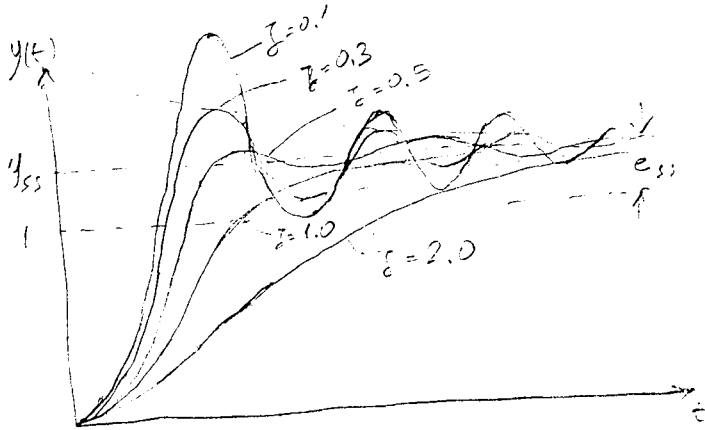
περίπτωση 3^η: $\Delta < 0$, δηλαδή $0 < \xi < 1$ (συζυγείς μιγαδικούς πόλους με φανταστικό μέρος αρνητικό) 43

$$Y(s) = G(s)U(s) = \frac{K}{s(s^2 + 2\xi\omega_n s + \omega_n^2)}$$



πόλοι: $p_1 = -\omega_n \xi - j\omega_n \sqrt{1-\xi^2}$, $p_2 = -\omega_n \xi + j\omega_n \sqrt{1-\xi^2}$

$$y(t) = \mathcal{L}^{-1}\{Y(s)\} = \frac{K}{\omega_n^2} \left[1 - \frac{e^{-\xi\omega_n t}}{\sqrt{1-\xi^2}} \sin\left[\omega_n \sqrt{1-\xi^2} t + \arctan\left(\frac{\sqrt{1-\xi^2}}{\xi}\right)\right] \right]$$



τελική τιμή y_{ss} :

$$y_{ss} = \lim_{t \rightarrow \infty} \{y(t)\} = \lim_{s \rightarrow 0} \left\{ \frac{K}{s^2 + 2\xi\omega_n s + \omega_n^2} \right\}$$

$$\Rightarrow y_{ss} = \frac{K}{\omega_n^2}$$

επίπεδο πόλης καθίσταται:

$$e_{ss} = \lim_{t \rightarrow \infty} \{y(t) - y_{ss}\} = 1 - \frac{K}{\omega_n^2}$$

χρόνος μεγίστου και ελαχίστου: $\frac{dy(t)}{dt} = 0 \Rightarrow \dots$

$$\Rightarrow \omega_n \sqrt{1-\xi^2} t_{max} = \pm \pi, \quad \kappa = 0, 1, 2, \dots$$

χρόνος κορυφής ($\kappa=1$): $t_p = \frac{\pi}{\omega_n \sqrt{1-\xi^2}}$, $y_{max} = y(t_p) = \frac{K}{\omega_n^2} \left(1 + e^{-\xi\pi/\sqrt{1-\xi^2}} \right)$

μέγιστο % υπερπένδυση: $M_p = \frac{y_{max} - y_{ss}}{y_{ss}} 100\% = 100 e^{-\xi\pi/\sqrt{1-\xi^2}} \%$

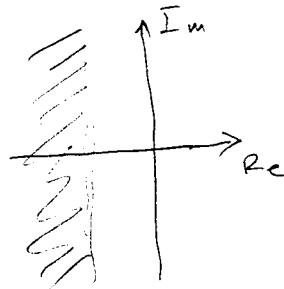
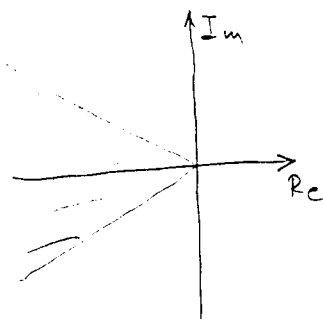
χρόνος ανόδου από 0% στο 100% της y_{ss} : $t_r = \frac{1}{\omega_n \sqrt{1-\xi^2}} \arctan\left(\frac{\omega_n \sqrt{1-\xi^2}}{-\xi\omega_n}\right)$

περιβάλλουσες της $y(t)$: $y_{1,2}(t) = 1 \pm \frac{e^{-\xi\omega_n t}}{\sqrt{1-\xi^2}}$

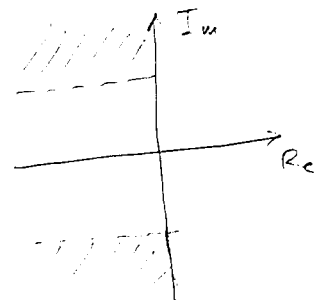
χρόνοι αποκατάστασης 5% και 2% ως προς την περιβάλλουσα:

$$t_s(5\%) = \frac{1}{-\xi\omega_n} \ln(0.05\sqrt{1-\xi^2}) > t_s(5\%) \quad , \quad t_s(5\%) \approx \frac{3}{\xi\omega_n} \quad \xi \in (0,1)$$

$$t_s(2\%) = -\frac{1}{\xi\omega_n} \ln(0.02\sqrt{1-\xi^2}) > t_s(2\%) \quad , \quad t_s(2\%) \approx \frac{4}{\xi\omega_n}$$



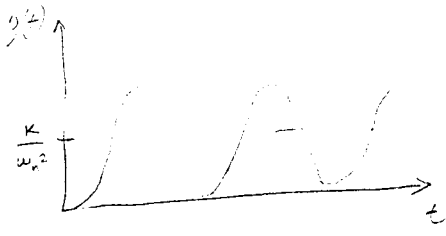
$$t_s < t_{s,en}$$



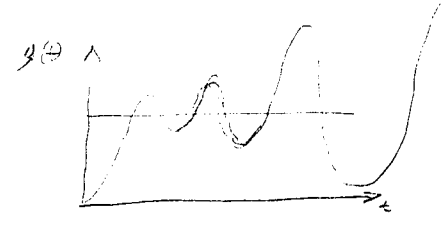
$$t_p < t_{p,en}$$

$$M_p \leq M_{p,en}$$

α. $\tau \leq 0$:



$\tau = 0 \Rightarrow y(t) = \frac{K}{\omega_n^2} [1 - \cos(\omega_n t)]$
 φαινομενικά μηδενικό

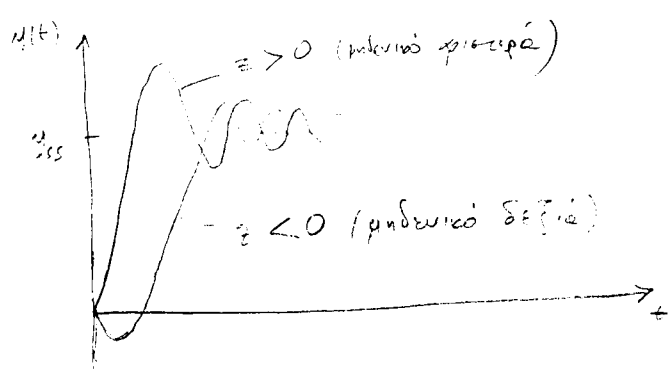


$\tau < 0$
 συζυγείς μιγαδικούς πόλους δεξιά.

(ii) σύστημα 2^{ος} τάξης με δε μηδενικό

$G(s) = \frac{z(s+z)}{s^2 + 2\zeta\omega_n s + \omega_n^2}$, $Y(s) = G(s)U(s) = \frac{G(s)}{s} = \frac{K(s+z)}{s(s^2 + 2\zeta\omega_n s + \omega_n^2)}$

πολλές περιπτώσεις (δεν παρουσιάζονται εδώ).



(δ) Επικρατούσες πόλοι

Γενική περίπτωση : $G(s) = \frac{\sum_{i=0}^m a_i s^i}{\sum_{j=0}^n b_j s^j} = K \frac{\prod_{i=1}^m (s+z_i)}{\prod_{j=1}^n (s+p_j)}$ ο-ω $K = \frac{a_m}{b_n}$
 Έστω οι πόλοι είναι άρτιοι.
 $Y(s) = G(s)U(s) = \frac{G(s)}{s} = \frac{A_0}{s} + \sum_{j=1}^n \frac{A_j}{s+p_j}$ ο-ω $A_j = [Y(s)(s+p_j)]_{s=-p_j} = K \frac{\prod_{i=1}^m (z_i - p_j)}{-p_j \prod_{k=1, k \neq j}^n (p_k - p_j)}$
 $\Rightarrow y(t) = [A_0 + \sum_{j=1}^n A_j e^{p_j t}]$, $t \geq 0$

(1) Ας είναι p_k, p_{k+1} το ζεύγος μιγαδικών πόλων που βρίσκονται πλησιέστερα στον γενεατικό άξονα. Αν κάποιος πόλος p_1 είναι πολύ πιο απομακρυσμένος:

$\text{Re}\{p_k\} = \text{Re}\{p_{k+1}\} < \frac{1}{5} \text{Re}\{p_1\}$

τότε οι όροι $e^{-p_1 t}$ μειώνονται πολύ ταχύτερα από τους $e^{-p_k t}, e^{-p_{k+1} t}$ και μπορούν να αγνοηθούν:

$y(t) \approx A_0 + \sum_{\substack{j=1 \\ j \neq 1}}^n A_j e^{p_j t}$, $t \geq 0$

(2) Αν ένας πόλος p_j έχει πολύ κοντά του ένα μηδενικό z_j τότε A_j πολύ μικρό $\Rightarrow A_j e^{p_j t}$ μπορεί να αγνοηθεί

3) Αν σε (1) ή (2) ισχύει για κάθε πόλο εκτός των συζυγών p_k, p_{k+1} τότε

οι p_k, p_{k+1} έχουν σπικρεωμένες πόλους και βλνβ

$$y(t) \approx A_0 + A_k e^{-p_k t} + A_{k+1} e^{-p_{k+1} t} = \hat{y}(t) = \mathcal{L}^{-1} \left\{ \frac{\hat{G}(s)}{s} \right\}$$

όπου

$$\hat{G}(s) = K \frac{\prod_{i=1}^m z_i}{\prod_{\substack{j=1 \\ j \neq k, k+1}}^n p_j} \cdot \frac{1}{(s+p_k)(s+p_{k+1})}$$

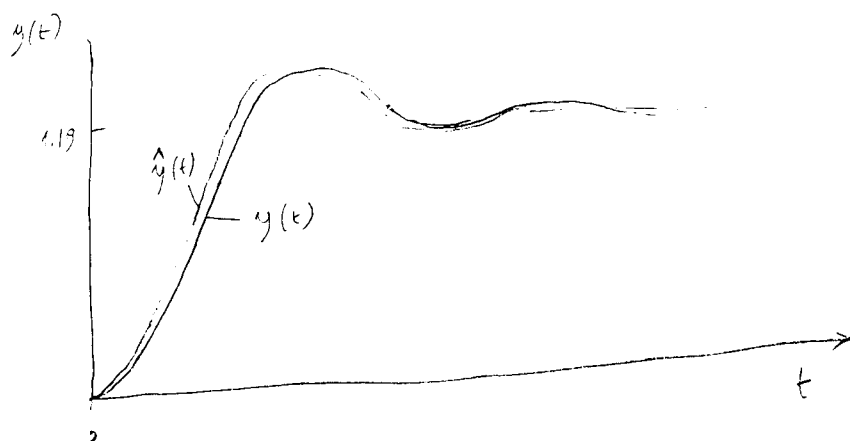
Ενδεχόν η βραχεία απόκριση της $G(s)$ προσεγγίζεται ικανοποιητικά από αυτήν της δευτεροβάθμιας $\hat{G}(s)$.

Παράδειγμα: $G(s) = \frac{50(s+2)}{(s+2.1)(s^2+s+1)(s^2+10s+40)}$

πόλοι: $-2.1, \frac{1}{2}(-1 \pm j\sqrt{3}), -5 \pm j\sqrt{15}$, μόνιμο: -2

σπικρεωμένες πόλους: $\frac{1}{2}(-1 \pm j\sqrt{3})$

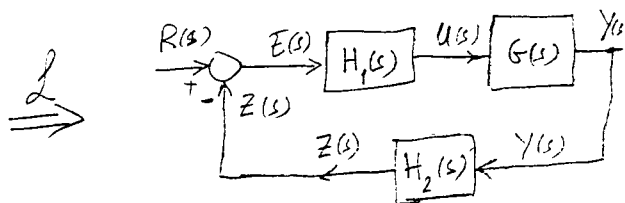
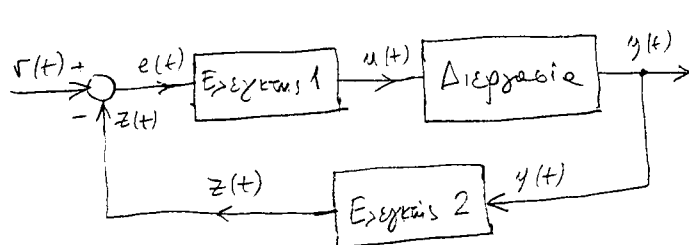
$$\hat{G}(s) = 50 \frac{2}{2.1 \cdot 40} \cdot \frac{1}{s^2+s+1} = \frac{1.19}{s^2+s+1}$$



4.5 Σφάλματα στη μόνιμη κατάσταση

46

(α) Συνάρτηση μεταφοράς ανοικτού και κλειστού βρόχου



σφάλμα : $\hat{e}(t) = r(t) - y(t)$

συνθήκες ελαττώσεως ελεγχόμενου : $\lim_{t \rightarrow \infty} \{\hat{e}(t)\} = 0 \Rightarrow \lim_{t \rightarrow \infty} \{y(t)\} = \lim_{t \rightarrow \infty} \{r(t)\}$.

$$\hat{E}(s) = R(s) - Y(s) \quad (1)$$

$$E(s) = R(s) - Z(s) \quad (2)$$

$$\left. \begin{aligned} U(s) &= H_1(s) E(s) \\ Y(s) &= G(s) U(s) \\ Z(s) &= H_2(s) Y(s) \end{aligned} \right\} \Rightarrow Z(s) = H_2(s) G(s) H_1(s) E(s) \quad (3)$$

Συνάρτηση μεταφοράς ανοικτού βρόχου :

$$G_{av}(s) = \frac{Z(s)}{E(s)} = H_1(s) H_2(s) G(s) \quad (4)$$

Συνάρτηση μεταφοράς κλειστού βρόχου : $G_{cl}(s) = \frac{Y(s)}{R(s)}$

$$(2), (3) \Rightarrow Z(s) = G_{av}(s) (R(s) - Z(s)) \Rightarrow Z(s) = \frac{G_{av}(s)}{1 + G_{av}(s)} R(s)$$

$$G_{cl}(s) = \frac{Y(s)}{R(s)} = \frac{Y(s)}{Z(s)} \frac{Z(s)}{R(s)} = \frac{G_{av}(s)}{H_2(s) [1 + G_{av}(s)]} = \frac{H_1(s) G(s)}{1 + H_1(s) H_2(s) G(s)} \quad (5)$$

$$\hat{E}(s) = R(s) - Y(s) = [1 - G_{cl}(s)] R(s) = \frac{1 + H_1(s) G(s) [H_2(s) - 1]}{1 + H_1(s) H_2(s) G(s)} R(s) \quad (6)$$

(β) Σφάλματα στη μόνιμη κατάσταση αν $H_2(s) = 1$.

Τότε : $Z(s) = Y(s)$, $G_{av}(s) = H_1(s) G(s)$

$$\hat{E}(s) = E(s) = \frac{1}{1 + H_1(s) G(s)} R(s) = \frac{1}{1 + G_{av}(s)} R(s) \quad (7)$$

Σφάλμα μόνιμου κατεστάσεως : $e_{ss} = \lim_{t \rightarrow \infty} \{\hat{e}(t)\}$

Θεώρημα τελικής τιμής μ/σ \mathcal{L} : Αν υπάρχουν τα όρια, τότε

$$e_{ss} = \lim_{t \rightarrow \infty} \{\hat{e}(t)\} = \lim_{s \rightarrow 0} \{s \hat{E}(s)\} = \lim_{s \rightarrow 0} \left\{ \frac{s R(s)}{1 + G_{av}(s)} \right\} \quad (8)$$

$A \Rightarrow \text{εναν } G_{\alpha\nu}(s) = \hat{K} \frac{\prod_{i=1}^m (s-z_i)}{\prod_{i=1}^n (s-p_i)}$, όπου z_1, z_2, \dots, z_m τα μηδενικά της $G_{\alpha\nu}(s)$ 4=
 p_1, p_2, \dots, p_n οι πόλοι της $G_{\alpha\nu}(s)$ ($m \leq n$)

Εστω ότι $z_1 = z_2 = \dots = z_\alpha = 0$ και $p_1 = p_2 = \dots = p_b = 0$, $\text{Re}\{p_i\} < 0$, $i=b+1, \dots, n$, με $b \geq \alpha$

Τότε $G_{\alpha\nu}(s) = \hat{K} \frac{\prod_{i=\alpha+1}^m (s-z_i)}{\prod_{i=b+1}^n (s-p_i)} = \hat{K} \frac{\alpha(s)}{s^l \pi(s)}$, όπου $l = b - \alpha \geq 0$
 $\alpha(s) = \prod_{i=\alpha+1}^m (s-z_i)$
 $\pi(s) = \prod_{i=b+1}^n (s-p_i)$
 βύσθημα τύπου l

$(8) \Rightarrow e_{ss} = \lim_{s \rightarrow 0} \left\{ \frac{s R(s)}{1 + G_{\alpha\nu}(s)} \right\} = \lim_{s \rightarrow 0} \left\{ \frac{s^{l+1} \pi(s) R(s)}{s^l \pi(s) + \hat{K} \alpha(s)} \right\} = \begin{cases} \frac{\pi(0)}{\pi(0) + \hat{K} \alpha(0)} \lim_{s \rightarrow 0} \{s R(s)\}, & \text{αν } l=0 \\ \frac{\pi(0)}{\hat{K} \alpha(0)} \lim_{s \rightarrow 0} \{s^{l+1} R(s)\}, & \text{αν } l \geq 1 \end{cases}$ (9)

Σταθρές σφάλματος για χαρακτηριστικές υφίδους $R(s)$:

$$K = \lim_{s \rightarrow 0} \left\{ \frac{G_{\alpha\nu}(s)}{s R(s)} \right\} \quad (10)$$

$(8), (10) \Rightarrow e_{ss} = \lim_{s \rightarrow 0} \left\{ \frac{s R(s)}{1 + G_{\alpha\nu}(s)} \right\} = \lim_{s \rightarrow 0} \left\{ \frac{1}{\frac{1}{s R(s)} + \frac{G_{\alpha\nu}(s)}{s R(s)}} \right\} = \frac{1}{K + \lim_{s \rightarrow 0} \left\{ \frac{1}{s R(s)} \right\}} \quad (11)$

(i) Σφάλμα θέσης: $r(t) = u(t) \xRightarrow{L} R(s) = \frac{1}{s}$

$(8) \Rightarrow e_{ss, \theta} = \lim_{s \rightarrow 0} \left\{ \frac{1}{1 + G_{\alpha\nu}(s)} \right\} = \frac{1}{1 + G_{\alpha\nu}(0)} = \begin{cases} \frac{\pi(0)}{\pi(0) + \hat{K} \alpha(0)} & \text{αν } l=0 \\ 0 & \text{αν } l \geq 1 \end{cases}$

$(10) \Rightarrow K_\theta = \lim_{s \rightarrow 0} \{G_{\alpha\nu}(s)\} = \lim_{s \rightarrow 0} \left\{ \hat{K} \frac{\alpha(s)}{s^l \pi(s)} \right\} = \begin{cases} \hat{K} \frac{\alpha(0)}{\pi(0)} & \text{αν } l=0 \\ \infty & \text{αν } l \geq 1 \end{cases}$

$(11) \Rightarrow e_{ss, \theta} = \frac{1}{1 + K_\theta}$

(ii) Σφάλμα ταχύτητας: $r(t) = r(t) = t u(t) \xRightarrow{L} R(s) = \frac{1}{s^2}$

$(8) \Rightarrow e_{ss, \tau} = \lim_{s \rightarrow 0} \left\{ \frac{1}{s G_{\alpha\nu}(s)} \right\} = \lim_{s \rightarrow 0} \left\{ \frac{s^{l-1} \pi(s)}{\hat{K} \alpha(s)} \right\} = \begin{cases} \infty & \text{αν } l=0 \\ \frac{\pi(0)}{\hat{K} \alpha(0)} & \text{αν } l=1 \\ 0 & \text{αν } l \geq 2 \end{cases}$

$(10) \Rightarrow K_\tau = \lim_{s \rightarrow 0} \{s G_{\alpha\nu}(s)\} = \lim_{s \rightarrow 0} \left\{ \frac{\hat{K} \alpha(s)}{s^{l-1} \pi(s)} \right\} = \begin{cases} 0 & \text{αν } l=0 \\ \hat{K} \frac{\alpha(0)}{\pi(0)} & \text{αν } l=1 \\ \infty & \text{αν } l \geq 2 \end{cases}$

$(11) \Rightarrow e_{ss, \tau} = \frac{1}{K_\tau}$

(iii) Σφάρα επιτάχυνσης : $r(t) = \frac{t^2}{2} u(t) = \begin{cases} \frac{t^2}{2} & \text{αν } t \geq 0 \\ 0 & \text{αν } t \leq 0 \end{cases} \xRightarrow{L} R(s) = \frac{1}{s^3}$

(8) $\Rightarrow e_{ss,e} = \lim_{s \rightarrow 0} \left\{ \frac{1}{s^2 G_w(s)} \right\} = \lim_{s \rightarrow 0} \left\{ \frac{s^{l-2} \pi(s)}{k \kappa(s)} \right\} = \begin{cases} \infty & \text{αν } l=0,1 \\ \frac{\pi(0)}{k \kappa(0)} & \text{αν } l=2 \\ 0 & \text{αν } l \geq 3 \end{cases}$

(10) $\Rightarrow K_E = \lim_{s \rightarrow 0} \{ s^2 G_w(s) \} = \lim_{s \rightarrow 0} \left\{ \frac{k \kappa(s)}{s^{l-2} \pi(s)} \right\} = \begin{cases} 0 & \text{αν } l=0,1 \\ k \frac{\kappa(0)}{\pi(0)} & \text{αν } l=2 \\ \infty & \text{αν } l \geq 3 \end{cases}$

(11) $\Rightarrow e_{ss,e} = \frac{1}{K_E}$

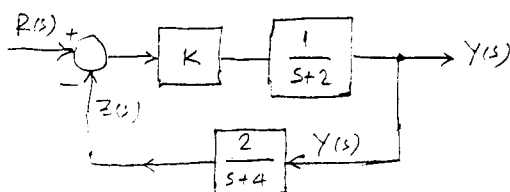
(γ) Σφάρα στη μόνιμη κατάσταση αν $H_2(s) \neq 1$.

Προκύπτει από την (6):

$$e_{ss} = \lim_{t \rightarrow \infty} \{ \hat{e}(t) \} = \lim_{s \rightarrow 0} \{ s \hat{E}(s) \} = \lim_{s \rightarrow 0} \{ [1 - G_{K_2}(s)] s R(s) \} \quad (12)$$

όπου $G_{K_2}(s) = \frac{H_1(s) G(s)}{1 + H_1(s) H_2(s) G(s)} \quad (5)$

Παράδειγμα:



$H_1(s) = K, H_2(s) = \frac{2}{s+4}, G(s) = \frac{1}{s+2}$

$G_{K_2}(s) = \frac{\frac{K}{s+2}}{1 + \frac{2K}{(s+2)(s+4)}} = \frac{K(s+4)}{(s+2)(s+4) + 2K}$

σφάρα θέσης : $e_{ss,\theta} = \lim_{s \rightarrow 0} \{ [1 - G_{K_2}(s)] \frac{s}{s} \} = 1 - G_{K_2}(0) = 1 - \frac{4K}{8+2K} = \frac{4-K}{4+K}$

σφάρα ταχύτητας : $e_{ss,v} = \lim_{s \rightarrow 0} \{ [1 - G_{K_2}(s)] \frac{1}{s} \} = \lim_{s \rightarrow 0} \left\{ \frac{(s+2-K)(s+4) + 2K}{s[(s+2)(s+4) + 2K]} \right\} = \infty$

Μηδενισμός σφάρατος θέσης :

$e_{ss,\theta} = \lim_{s \rightarrow 0} \{ 1 - G_{K_2}(s) \} = 1 - G_{K_2}(0) \Rightarrow G_{K_2}(0) = 1 \quad (13)$

Παράδειγμα : $K = 4$

4.6 Χρονική απόκριση γραμμικών σταθερών συστημάτων Δ.Χ. (διακριτού χρόνου) 49

$$x((k+1)T) = A x(kT) + B u(kT) \quad k=0,1,2,\dots \quad (1.1)$$

$$y(kT) = C x(kT) + D u(kT) \quad k=0,1,2,\dots \quad (1.2)$$

$$(1.1) \Rightarrow \begin{aligned} x(T) &= A x(0) + B u(0) \\ x(2T) &= A x(T) + B u(T) = A^2 x(0) + A B u(0) + B u(T) \\ x(3T) &= A x(2T) + B u(2T) = A^3 x(0) + A^2 B u(0) + A B u(T) + B u(2T) \\ &\vdots \\ x(kT) &= A^k x(0) + \sum_{i=0}^{k-1} A^{k-i-1} B u(iT) \end{aligned} \quad (2.1)$$

$$(1.2) \Rightarrow y(kT) = C x(kT) + D u(kT) = C A^k x(0) + D u(kT) + \sum_{i=0}^{k-1} C A^{k-i-1} B u(iT) \quad (2.2)$$

Θεώρημα Cayley-Hamilton $\Rightarrow \forall k \geq n$ η A^k εκφράζεται συναρτήσει των A, A^2, \dots, A^{n-1} .

Μεταχρηματισμός Z : $Z \{ f(kT) \} = \sum_{k=0}^{\infty} f(kT) z^{-k} = F(z)$

Ιδιότητα π/σ Z : $Z \{ f((k+m)T) \} = z^m [F(z) - \sum_{j=0}^{m-1} f(jT) z^{-j}]$
 $Z \{ f((k-m)T) \} = z^{-m} F(z)$

άρα $x((k+1)T) = z [X(z) - x(0)]$ όπου $X(z) = Z \{ x(kT) \}$

οπότε $(1.1) \xrightarrow{Z} z [X(z) - x(0)] = A X(z) + B U(z)$ ^(3.1) όπου $U(z) = Z \{ u(kT) \}$

$(1.2) \xrightarrow{Z} Y(z) = C X(z) + D U(z)$ ^(3.2) όπου $Y(z) = Z \{ y(kT) \}$

$(3.1) \Rightarrow [zI - A] X(z) = z x(0) + B U(z)$

$\Rightarrow X(z) = [zI - A]^{-1} z x(0) + [zI - A]^{-1} B U(z) \quad (4.1)$

$(3.2), (4.1) \Rightarrow Y(z) = [C [zI - A]^{-1} B + D] U(z) + C [zI - A]^{-1} z x(0) \quad (4.2)$

Μία μετασχηματιστική μεταφοράς :

$$G(z) = C [zI - A]^{-1} B + D \quad (5)$$

αν $x(0) = 0$ τότε $Y(z) = G(z) U(z) \quad (6)$

Χαρακτηριστικό πολυώνυμο : $\psi(z) = \det \{ zI - A \}$

Πόλοι : οι ρίζες του $\psi(z)$

μηδενικά : οι ρίζες των αριθμητών της $G(z)$

4.7 Βυρετική απόκριση γραμμικών συστημάτων Δ,Χ.

Είσοδος : $u(kT) = \begin{cases} 1 & \forall k \geq 0 \\ 0 & \forall k < 0 \end{cases} \Rightarrow U(z) = \frac{z}{z-1}$

αρχικές συνθήκες : $x(0) = 0$

(6) $\Rightarrow Y(z) = G(z) U(z) = G(z) \frac{z}{z-1}$

Αν p_1, p_2, \dots, p_n οι πόλοι τότε η $\frac{Y(z)}{z}$ αναλύεται σε απλά κλάσματα ως εξής :

$$\frac{Y(z)}{z} = \frac{A_0}{z-1} + \sum_{i=1}^n \frac{A_i}{z-p_i}$$

οπότε $y(kT) = Z^{-1}\{Y(z)\} = Z^{-1}\left\{ \frac{A_0 z}{z-1} + \sum_{i=1}^n \frac{A_i z}{z-p_i} \right\} = \left[A_0 + \sum_{i=1}^n A_i p_i^k \right], k \geq 0$

Παρατηρείται $y(kT)$ είναι διακριτός χρόνος.

Ας είναι : $s_i = \frac{1}{T} \ln\{p_i\}$, δηλαδή $p_i = e^{s_i T}$ (1)

Τότε $y(kT) = A_0 + \sum_{i=1}^n A_i e^{s_i kT} = \left[A_0 + \sum_{i=1}^n A_i e^{s_i t} \right]_{t=kT}$

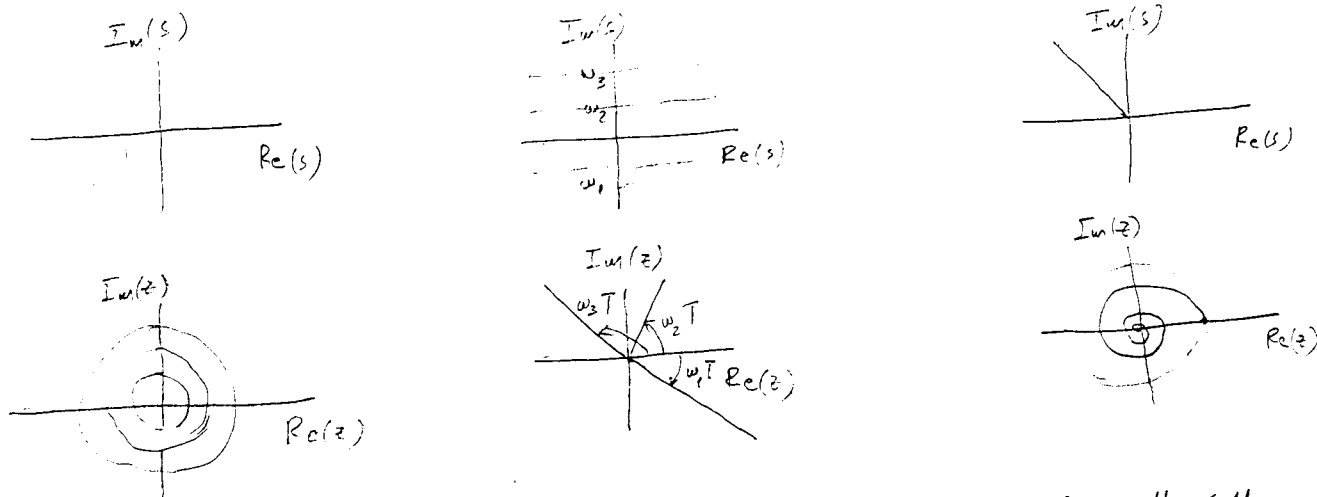
Δηλαδή η $y(kT)$ μπορεί να θεωρηθεί ότι προέρχεται από διγγραμμοειδή με περίοδο T

του εύρους συνεχούς χρόνου : $y(t) = A_0 + \sum_{i=1}^n A_i e^{s_i t}$

Αν η διγγραμμοειδή είναι αρκετά πυκνή (π.χ. $T = \frac{1}{10}$ χρόνου απόδο) τότε οι δέσμες των πόλων s_i του συστήματος ε.χ. μπορούν να χρησιμοποιηθούν για την εκτίμηση των χαρακτηριστικών της $y(kT)$.

Η σχέση (1), δηλαδή $z = e^{sT}$ (2)

απεικονίζει το s -επίπεδο στο z -επίπεδο (και επανέως τις προδιαγραφές) ως εξής :



$\text{Re}\{s\} \leq \alpha \leftrightarrow$ κύκλοι ακτίνας $\leq e^{\alpha T}$ $\text{Im}\{s\} \leq \bar{\omega} \leftrightarrow$ ωθείες γωνίας $\leq \bar{\omega} T$

\Rightarrow χρόνος αποκατάστασης $\leq t_{s, \text{επ}}$

\Rightarrow χρόνος κορυφής $\leq t_{p, \text{επ}}$

υπερμείωση $M_p \leq M_{p, \text{επ}}$
 δν. $\zeta \leq \zeta_{\text{επ}}$
 $\leftrightarrow r \leq e^{\pm \theta / \sqrt{1-\zeta^2}}$
 εγγραμμός εγγρα

Δίδεται : $\dot{x}(t) = A x(t) + B u(t)$ (1.1)

$y(t) = C x(t) + D u(t)$ (1.2)

Να προσδοούν $\bar{A}, \bar{B}, \bar{C}, \bar{D}$ τ.ω. να ισχύουν :

$$\bar{x}(kT) = x(t) \Big|_{t=kT}, \quad \bar{y}(kT) = y(t) \Big|_{t=kT} \quad (2)$$

όπου $\bar{x}((k+1)T) = \bar{A} \bar{x}(kT) + \bar{B} u(kT)$ (3.1)

$\bar{y}(kT) = \bar{C} \bar{x}(kT) + \bar{D} u(kT)$ (3.2)

και $u(t) = u(kT)$, $\forall t \in [kT, (k+1)T)$ (3.3)

$$\begin{aligned} (2) \Rightarrow \bar{x}((k+1)T) &= x(t) \Big|_{t=kT} \stackrel{(1.1)}{=} e^{A(k+1)T} x(0) + \int_0^{(k+1)T} e^{A((k+1)T-\tau)} B u(\tau) d\tau \\ &= e^{AT} \left[e^{A kT} x(0) + \int_0^{kT} e^{A(kT-\tau)} B u(\tau) d\tau \right] + \int_{kT}^{(k+1)T} e^{A((k+1)T-\tau)} B u(\tau) d\tau \\ &= e^{AT} x(kT) + \int_0^T e^{A(T-\sigma)} d\sigma B u(kT) \quad (\text{όπου } \sigma = \tau - kT) \end{aligned}$$

$\Rightarrow \bar{x}(kT)$ ικανοποιεί (3.1) αν γυρίσουμε :

$$\bar{A} = e^{AT}, \quad \bar{B} = \int_0^T e^{A(T-\sigma)} d\sigma B = A^{-1} [e^{AT} - I] B \quad (\text{αν } \exists A^{-1})$$

$\Rightarrow \bar{y}(kT)$ ικανοποιεί (3.2) αν γυρίσουμε :

$$\bar{C} = C, \quad \bar{D} = D$$

Παράδειγμα :
$$\begin{bmatrix} \dot{x}_1(t) \\ \dot{x}_2(t) \end{bmatrix} = \begin{bmatrix} 0.01 & 0 \\ 0 & -10 \end{bmatrix} \begin{bmatrix} x_1(t) \\ x_2(t) \end{bmatrix} + \begin{bmatrix} 1 \\ 1 \end{bmatrix} u(t)$$

$$y(t) = \begin{bmatrix} -1 & 1 \end{bmatrix} \begin{bmatrix} x_1(t) \\ x_2(t) \end{bmatrix}$$

$$\bar{A} = e^{AT} = \begin{bmatrix} e^{0.01T} & 0 \\ 0 & e^{-10T} \end{bmatrix}, \quad \bar{B} = A^{-1} [e^{AT} - I] B = \begin{bmatrix} 100 & 0 \\ 0 & -0.1 \end{bmatrix} \begin{bmatrix} e^{0.01T} - 1 & 0 \\ 0 & e^{-10T} - 1 \end{bmatrix} \begin{bmatrix} 1 \\ 1 \end{bmatrix}$$

$$\begin{bmatrix} x_1((k+1)T) \\ x_2((k+1)T) \end{bmatrix} = \begin{bmatrix} e^{0.01T} & 0 \\ 0 & e^{-10T} \end{bmatrix} \begin{bmatrix} x_1(kT) \\ x_2(kT) \end{bmatrix} + \begin{bmatrix} 100(e^{0.01T} - 1) \\ -0.1(e^{-10T} - 1) \end{bmatrix} u(kT)$$

$$y(kT) = \begin{bmatrix} -1 & 1 \end{bmatrix} \begin{bmatrix} x_1(kT) \\ x_2(kT) \end{bmatrix}$$

5.1 Εισαγωγή - ορισμοί

Γενικό σύστημα συνεχούς χρόνου :

$$\dot{x}(t) = \hat{f}(x(t), u(t), t) \quad (1.1)$$

$$y(t) = \hat{g}(x(t), u(t), t) \quad (1.2)$$

Γενικό σύστημα διακριτού χρόνου :

$$x((k+1)T) = \hat{f}(x(kT), u(kT), kT) \quad (2.1)$$

$$y(kT) = \hat{g}(x(kT), u(kT), kT) \quad (2.2)$$

Εστω οι είσοδοι $u(t)$ ή $u(kT)$ αναγνωρισμένες συναρτήσεις του χρόνου

$$\left(\begin{array}{l} \text{π.χ. } u(t) = u_0, \forall t \geq t_0 \\ u(kT) = u_0, \forall k \geq k_0 \end{array} \right)$$

Τότε $\hat{f}(x(t), u(t), t) = f(x(t), t) \quad \forall t$

$$\hat{f}(x(kT), u(kT), kT) = f(x(kT), kT) \quad \forall k$$

οπότε :

$$\dot{x}(t) = f(x(t), t) \quad (3)$$

$$x((k+1)T) = f(kT, kT) \quad (4)$$

Ορισμός: Το (3) λέγεται αυτόνομο αν η $f(x(t), t)$ δεν εξαρτάται άμεσα από το t .

Το (4) λέγεται αυτόνομο αν η $f(kT, kT)$ δεν εξαρτάται άμεσα από το k .

$$\dot{x}(t) = f(x(t)) \quad (5)$$

$$x((k+1)T) = f(kT) \quad (6)$$

> αυτόνομα.

Ορισμός: Το σημείο x_0 λέγεται σημείο ισορροπίας:

του (3) τη χρονική στιγμή t_0 αν: $f(x_0, t) = 0 \quad \forall t \geq t_0$

του (5) αν: $f(x_0) = 0$

του (4) τη χρονική στιγμή k_0 αν: $f(x_0, kT) = x_0, \quad \forall k \geq k_0$

του (6) αν: $f(x_0) = x_0$

Σε κάθε περίπτωση, αν οι λύσεις των (3), (5) ή (4), (6) αναμειχθούν

και $x(t_0) = x_0$ ή $x(k_0 T) = x_0$, τότε :

$$x(t) = x_0 \quad \forall t \geq t_0 \quad \text{ή} \quad x(kT) = x_0 \quad \forall k \geq k_0.$$

Βασικό πρόβλημα του ελεγχόμενου : ρύθμιση των εξόδων $y(t)$ ή $y(kT)$,
 Συνεδι δίνει κατάλληλες $u(t)$ ή $u(kT)$ ώστε $y(t) = y_0$ ή $y(kT) = y_0$.
 Συνήθως περίπτωση : η \hat{f} δεν εξαρτάται άμεσα από το t ή το k ,

δυνατότητα : $\dot{x}(t) = \hat{f}(x(t), u(t))$ ή $x((k+1)T) = \hat{f}(x(kT), u(kT))$

Τότε αν ληφθεί $u(t) = u_0, \forall t \geq t_0$ ή $u(kT) = u_0, \forall k \geq k_0$ προκύπτουν αυτόνομα συστήματα : $\dot{x}(t) = f(x(t)) = \hat{f}(x(t), u_0)$ ή $x((k+1)T) = \hat{f}(x(kT)) = \hat{f}(x(kT), u_0)$

Αν επιλεγεί σημείο ισορροπίας x_0 (σημείο στασιμότητας (x_0, u_0)) π.χ.

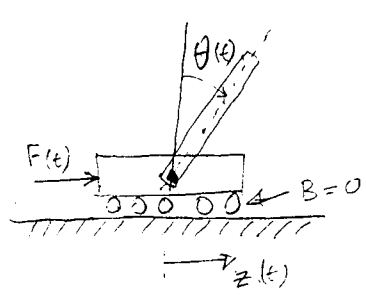
$$\left. \begin{aligned} f(x_0) = \hat{f}(x_0, u_0) &= 0 \\ g(x_0, u_0) &= y_0 \end{aligned} \right\} \text{ ή } \left\{ \begin{aligned} f(x_0) = \hat{f}(x_0, u_0) &= x_0 \\ g(x_0, u_0) &= y_0 \end{aligned} \right.$$

και αν $x(t_0) = x_0$ ή $x(k_0T) = x_0$, τότε : $y(t) = y_0, \forall t \geq t_0$
 ή $y(kT) = y_0, \forall k \geq k_0$,

δυνατότητα ρύθμισης του προβλήματος ρυθμίσεις για αρχικό σημείο $x(t_0) = x_0$ (ή $x(k_0T) = x_0$)

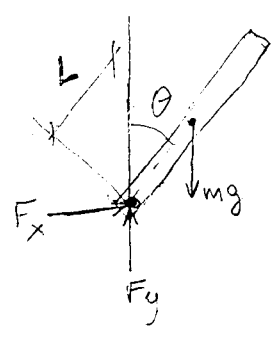
Βασική ερώτηση : τι συμβαίνει αν $x(t_0) \neq x_0$ (ή $x(k_0T) \neq x_0$) ??

Παράδειγμα : ανεξαρτημένο εκκρεμές



εισόδος : $u(t) = F(t)$
 εξόδος : $y(t) = \theta(t)$

μάζα ράβδου : m ομοιόμορφα κατανομημένη
 μήκος ράβδου : $2L$
 ροπή αδράνειας ράβδου ως προς το κέντρο μάζας : J
 μάζα φορέου : M
 θέση φορέου : $z(t)$



Εξισώσεις συστήματος :

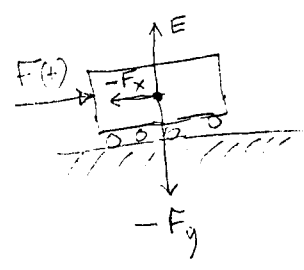
ράβδος : $F_x = m \frac{d^2}{dt^2} (z + L \sin \theta)$ (7.1) δυναμική

$F_y - mg = m \frac{d^2}{dt^2} (L \cos \theta)$ (7.2)

$-F_x L \cos \theta + F_y L \sin \theta = J \frac{d^2 \theta}{dt^2}$ (7.3) ροπή

φορέας : $F(t) - F_x = M \frac{d^2 z}{dt^2}$ (7.4)

$E = -F_y$ (7.5)



Απόσπασμα F_x, F_y από τις (7.1) ÷ (7.4) δίνου (όπου $J_0 = J + mL^2$): 54

$$F(t) = (M+m) \frac{d^2 z}{dt^2} + mL \left(\frac{d^2 \theta}{dt^2} \cos \theta - \left(\frac{d\theta}{dt} \right)^2 \sin \theta \right) \quad (7.6)$$

$$J_0 \frac{d^2 \theta}{dt^2} = mgL \sin \theta - mL \frac{d^2 z}{dt^2} \cos \theta \quad (7.7)$$

Διάφορα καταστάσεων: $x(t) = \begin{bmatrix} x_1(t) \\ x_2(t) \\ x_3(t) \\ x_4(t) \end{bmatrix} = \begin{bmatrix} z(t) \\ \dot{z}(t) \\ \theta(t) \\ \dot{\theta}(t) \end{bmatrix}$

Αντικαθιστώντας στις (7.6), (7.7) και επιλύουμε ως προς $\ddot{x}(t)$ δίνου:

$$\ddot{x}(t) = \begin{bmatrix} \frac{d x_1(t)}{dt} \\ \frac{d x_2(t)}{dt} \\ \frac{d x_3(t)}{dt} \\ \frac{d x_4(t)}{dt} \end{bmatrix} = \begin{bmatrix} x_2(t) \\ \frac{1}{q(x_3)} [-J_0 x_4^2 mL \sin x_3 + m^2 L^2 g \cos x_3 \sin x_3 - J_0 F] \\ x_4(t) \\ \frac{1}{q(x_3)} [x_4^2 m^2 L^2 \cos x_3 \sin x_3 - (M+m)mgL \sin x_3 + (mL \cos x_3)F] \end{bmatrix} = \begin{bmatrix} \hat{f}_1(x) \\ \hat{f}_2(x, F) \\ \hat{f}_3(x, F) \\ \hat{f}_4(x, F) \end{bmatrix} \quad (7.8)$$

(όπου $q(x_3) = -J_0(M+m) + m^2 L^2 (\cos x_3(t))^2$)

$$y(t) = \theta(t) = [0 \ 0 \ 1 \ 0] x(t). \quad (7.9)$$

Μη-αριθμητικό, χρονική σταθερότητα (\hat{f} συν επιβάλλεται άμεσα από t).

Αντίστοιχο αυτόνομο σύστημα λαμβάνεται αν $F(t) = u_0$: $\dot{x}(t) = f(x(t)) = \hat{f}(x(t), u_0)$

Συνθήκη ισορροπίας $x_0 = [x_{01}, x_{02}, x_{03}, x_{04}]^T$ του αυτόνομου συστήματος:

$$f_1(x_0) = \hat{f}_1(x_0, u_0) = x_{02} = 0 \quad (8.1)$$

$$f_3(x_0) = \hat{f}_3(x_0, u_0) = x_{04} = 0 \quad (8.2)$$

$$f_2(x_0) = \hat{f}_2(x_0, u_0) = \frac{1}{q(x_{03})} [m^2 L^2 \cos x_{03} \sin x_{03} - J_0 u_0] = 0 \quad (8.3)$$

$$f_4(x_0) = \hat{f}_4(x_0, u_0) = \frac{1}{q(x_{03})} [-(M+m)mgL \sin x_{03} + (mL \cos x_{03}) u_0] = 0 \quad (8.4)$$

$$(8.3) \Rightarrow u_0 = \frac{m^2 L^2}{J_0} \cos x_{03} \sin x_{03} \quad (8.5)$$

$$(8.4), (8.5) \Rightarrow \left[-(M+m)g + \frac{m^2 L^2}{J_0} (\cos x_{03})^2 \right] \sin x_{03} = 0 \Rightarrow x_{03} = k\pi \quad (8.6)$$

$$\text{οπότε } (8.5) \Rightarrow u_0 = 0 \quad (8.7)$$

Άρα τα σημεία ισορροπίας: $u_0 = 0$, $x_0 = \begin{bmatrix} x_{01} \\ 0 \\ k\pi \\ 0 \end{bmatrix}$ όπου τα x_{01} καθορίζονται

εξισορροπώντας: $f(x_0) = \hat{f}(x_0, u_0) = 0$ και $u_0 = g(x_0, u_0) = k\pi$

Επομένως αν $x(0) = x_0$ τότε $x(t) = x_0$ και $y(t) = y_0 = k\pi \quad \forall t \geq 0$. Αν $x(0) \neq x_0$?

Ορισμός: Μία κατάσταση ισορροπίας x_0 ενός αυτόνομου συστήματος $\dot{x}(t) = f(x(t))$ $\delta \in \mathbb{R}$ λέγεται ωσταδής (ή ωσταδής κατά Lyapunov) αν $\forall \varepsilon > 0, \exists \delta > 0$ τ.ω.,

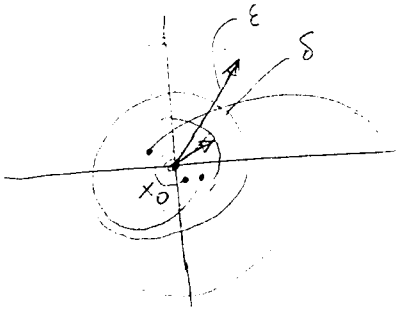
$$\|x(0) - x_0\| < \delta \Rightarrow \|x(t) - x_0\| < \varepsilon \quad \forall t \geq 0.$$

(δηλαδή $\|x(t) - x_0\| < \varepsilon, \forall t > 0, \forall x(0)$ τ.ω. $\|x(0) - x_0\| < \delta$). Το δ μπορεί να εξαρτάται από το ε .

Ορισμός: μία ωσταδής κατάσταση ισορροπίας x_0 ενός αυτόνομου συν. συστήματος

$\dot{x}(t) = f(x(t))$ λέγεται ασυμπτωτικά ωσταδής αν $\exists \delta_\alpha > 0$ τ.ω.,

$$\text{αν } \|x(0) - x_0\| < \delta_\alpha, \text{ τότε } \lim_{t \rightarrow \infty} \{x(t)\} = x_0.$$



Ορισμός: Πεδίο έλξης μιας ασυμπτωτικά ωσταδής κατάστασης ισορροπίας x_0 λέγεται το σύνολο Π των αρχικών συνθηκών $x(0)$ από τα οποία ξεκινούν λύσεις (τροχιές $x(t)$) που συγχρύνουν στο x_0 .

Ορισμός: Μία κατάσταση ισορροπίας x_0 λέγεται ολική ασυμπτωτικά ωσταδής αν είναι ασυμπτωτικά ωσταδής για κάθε αρχική συνθήκη $x(0)$, δηλαδή $\Pi = \mathbb{R}^n$ ή δ_α απεριόριστα μεγάλο.

Ορισμός: Μία κατάσταση ισορροπίας x_0 λέγεται ωσταδής αν $\exists \varepsilon > 0$ τ.ω. για κάθε $\delta > 0$ δεν ικανοποιούνται οι συνθήκες ωσταδίας.

Αντίστοιχοι ορισμοί για συστήματα διακριτού χρόνου:

Ευστάθεια: $\forall \varepsilon > 0, \exists \delta > 0$ τ.ω. $\|x(0) - x_0\| < \delta \Rightarrow \|x(kT) - x_0\| < \varepsilon, \forall k \geq 0$

Ασυμπτωτική ευστάθεια: $\exists \delta_\alpha > 0$ τ.ω. $\|x(0) - x_0\| < \delta_\alpha \Rightarrow \lim_{k \rightarrow \infty} \{x(kT)\} = x_0$.

Καλή συνθήκη σταθερότητας της κατάστασης ισορροπίας $x_0 = 0$ του
αυτονομού δυναμικού συστήματος $\dot{x}(t) = f(x(t))$.

Av envar $x_0 \neq 0$ tiller en \hat{x} i linjær tilstand $\hat{x}(t) = x(t) - x_0$
 observerig $\hat{x}_0 = 0$ i.e. $\hat{x}(t) = \hat{f}(\hat{x}(t)) \triangleq f(\hat{x}(t) + x_0)$.

It \forall $\varepsilon > 0$: $\exists \delta > 0$ such that $\forall x \in D - \{0\}$ $|f(x) - f(0)| < \varepsilon$ (arbitrarily)

Die in \mathcal{D} definierten Funktionen $V(x) \geq 0, \forall x \in \mathcal{D}$ und $\exists \bar{x} \neq 0$ z.w. $V(\bar{x}) = 0$ (≤ 0)

Συνάρτηση Lyapunov : οποιαδήποτε συνάρτηση $V(x)$, $V: \mathbb{R}^n \rightarrow \mathbb{R}$ π.ω, $V(0)=0$
η οποία υπολογίζεται κατά μήκος της λύσης του ανώτατου συστήματος
 $\dot{x}(t) = f(x(t))$, $f(0)=0$, συνεκδύ $V(x(t))$.

$$T_{\text{DCL}} \quad \frac{dV(x(t))}{dt} = \sum_{i=1}^n \frac{\partial V(x(t))}{\partial x_i} \frac{dx_i(t)}{dt} = \sum_{i=1}^n \frac{\partial V(x)}{\partial x_i} \bigg|_{x=x(t)} f_i(x(t)) = \nabla V(x(t))^T f(x(t))$$

Ölçümüne Lyapunov: As $\dot{x}(t) = f(x(t))$, $f(0) = 0$.

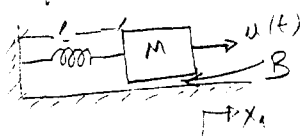
Εστω ότι υπάρχει μια συνεχής διαφορίσιμη και δευτερά οριζόμενη στο εύρος $\Delta \subset \mathbb{R}^n$ συνάρτηση Lyapunov $V(x)$ και έστω ότι $\exists k > 0$ π.μ. γι το εύρος

$$D = \{x \in \mathbb{R}^n : V(x) \leq \kappa\} \quad \text{w. Energiekonstante} \quad \frac{dV(x)}{dt} = \nabla V(x)^T f(x) \quad \text{gilt:}$$

- (i) χρονικά ορισμένη στο χώρο DNA, τότε $x_0 = 0$ για ωριαία κατ. ίσορρ.
 (ii) αρνητικά ορισμένη στο DNA, τότε $x_0 = 0$ για ασυμπτωτική ωριαία κ. λ.
 (iii) ——— ——— ——— DNA, και $V(x) \rightarrow \infty$ καθώς $\|x\| \rightarrow \infty$, τότε $x_0 = 0$ για σχεδ. ασυμπτωτική ωριαία κ. λ.

(X?) (iv) Δείξτε ότι αν $\gamma \in \mathcal{D}$ με $\Delta = \mathbb{R}^n$, τότε το $x_0 = 0$ είναι ακραίο κατ. ισχύος.

Παραδειγμα: Μη-ελαστικό ελατήριο με προελαστική δύναμη: $F = k\ell(1 - \frac{\ell^2}{4})$.



Erzähltes katobteu'st

$$\dot{x}(t) = \begin{bmatrix} \dot{x}_1(t) \\ \dot{x}_2(t) \end{bmatrix} = \begin{bmatrix} x_2(t) \\ -\frac{k}{m} x_1(t) \left(1 - \frac{(x_1(t))^2}{2}\right) - \frac{B}{m} x_2(t) + \frac{u(t)}{m} \end{bmatrix}$$

Suppose supports x_0 and $u(t) = u_0 = 0$:

$$x_{02} = 0$$

$$x_{01} \left(1 - \frac{x_{01}^2}{2} \right) = 0 \Leftrightarrow x_{01} = \pm \sqrt{2}$$

Ans: $x_0 = \begin{bmatrix} 0 \\ 0 \end{bmatrix}$, $x'_0 = \begin{bmatrix} 0 \\ \sqrt{2} \end{bmatrix}$, $x''_0 = \begin{bmatrix} 0 \\ -\sqrt{2} \end{bmatrix}$.

Για την ωστεθία του σ.λ. $x_0 = \begin{bmatrix} 0 \\ 0 \end{bmatrix}$ θεωρούμε την εξής συνάρτ. Lyapunov:

$$V(x) = \frac{1}{2} M x_2^2 + \frac{1}{2} K x_1^2 \left(1 - \frac{x_1^2}{4}\right)$$

Η $V(x)$ είναι θετικά ορισμένη στην περιοχή $\Delta = \{x \in \mathbb{R}^2 : |x_1| < 2\}$.

$$\begin{aligned} \frac{dV(x)}{dt} &= \nabla V(x)^T f(x) = \begin{bmatrix} K x_1 - K \frac{x_1^3}{2} & M x_2 \end{bmatrix} \begin{bmatrix} x_2 \\ -\frac{K}{M} x_1 \left(1 - \frac{x_1^2}{2}\right) - \frac{B}{M} x_2 \end{bmatrix} = \\ &= K x_1 x_2 \left(1 - \frac{x_1^2}{2}\right) - K x_1 x_2 \left(1 - \frac{x_1^2}{2}\right) - B x_2^2 = -B x_2^2 \leq 0 \quad \forall (x_1, x_2) \end{aligned}$$

όρα $\frac{dV(x)}{dt}$ αρνητικά ημιορισμένη (δίου $\frac{dV(x)}{dt} = 0$ αν π.χ. $x = \begin{bmatrix} 1 \\ 0 \end{bmatrix}$) στο Δ

όρα $x_0 = \begin{bmatrix} 0 \\ 0 \end{bmatrix}$ ωστεθός.

β) Για συστήματα διακριτού χρόνου

$$x(k+1) = f(x(k)), \quad f(0) = 0$$

Αντί της παράγωγου $\frac{dV(x)}{dt}$ θεωρείται η παράσταση $W(x) = V(f(x)) - V(x)$.

Θεώρημα. Ας είναι $x(k+1) = f(x(k))$ $f(0) = 0$. Έστω ότι υπάρχει

μία συνεχής και θετικά ορισμένη στο εύρος $\Delta \subset \mathbb{R}^n$ συνάρτηση Lyapunov $V(x)$ και έστω ότι υπάρχει $K > 0$ τ.ω. για το εύρος $D = \{x \in \mathbb{R}^n : V(x) \leq K\}$ η συνάρτηση $W(x) = V(f(x)) - V(x)$ είναι:

- (i) αρνητικά ημιορισμένη στο $D \cap \Delta$, τότε $x_0 = 0$ είναι ωστεθός κατ. ισορρ.
- (ii) αρνητικά ορισμένη στο $D \cap \Delta$, τότε $x_0 = 0$ είναι ασυμπωτικά ωστεθός κ.ί.
- (iii) --- --- --- και $V(x) \rightarrow \infty$ όταν $\|x\| \rightarrow \infty$, τότε $x_0 = 0$ είναι ογκύα ασυμπωτικά ωστεθός κ.ί.
- (iv) θετικά ορισμένη στο D , με $\Delta = \mathbb{R}^n$ τότε $x_0 = 0$ είναι ακαταθής κατ. ισορρ.

Παράδειγμα: $x(k+1) = \begin{bmatrix} x_1(k) \\ x_2(k) \end{bmatrix} = \frac{1}{1+x_2^2(k)} \begin{bmatrix} x_2(k) \\ x_1(k) \end{bmatrix} = f(x(k))$

εμφάνιση ισορροπίας: $\begin{bmatrix} x_{01} \\ x_{02} \end{bmatrix} = \frac{1}{1+x_{02}^2} \begin{bmatrix} x_{02} \\ x_{01} \end{bmatrix} \Rightarrow \begin{cases} x_{01} = \frac{x_{02}}{1+x_{02}^2} \\ x_{02} = \frac{x_{01}}{1+x_{02}^2} = \frac{x_{02}}{(1+x_{02}^2)^2} \Rightarrow x_{02} = 0 \end{cases} \xrightarrow{x_{02}=0} x_{01}=0$

Ας είναι $V(x) = x_1^2 + x_2^2$ θετικά ορισμένη στο \mathbb{R}^2 .

$$\begin{aligned} \text{Τότε } W(x) &= V(f(x)) - V(x) = (f_1(x))^2 + (f_2(x))^2 - x_1^2 - x_2^2 = \frac{1}{(1+x_2^2)^2} (x_2^2 + x_1^2) - x_1^2 - x_2^2 = \\ &= (x_1^2 + x_2^2) \frac{1 - (1+x_2^2)^2}{(1+x_2^2)^2} \leq 0 \quad \forall x \neq 0 \end{aligned}$$

$W(x)$ αρνητικά ημιορισμένη $\Rightarrow x_0 = \begin{bmatrix} 0 \\ 0 \end{bmatrix}$ ωστεθός εμφάνιση ισορροπίας

5.3 Η έρμηση μέθοδος Lyapunov (1^η μέθοδος Lyapunov)

Χρησιμοποιείται το γραμμικοποιημένο γύρω από το x_0 σύστημα για τον καθορισμό της ωστάθμης του μη-γραμμικού.

Θεώρημα: Ας είναι $\dot{x}(t) = f(x(t))$, $f(x_0) = 0$. Ας είναι $A = \frac{\partial f(x)}{\partial x} \Big|_{x=x_0}$ και έστω ότι η $f(x)$ είναι συνεχώς διαφορίσιμη στο $x = x_0$.

(i) αν όλες οι ιδιοτιμές της A έχουν αρνητικό πραγματικό μέρος, τότε η κ.λ. x_0 είναι ασυμπτωτικά ωστάθμης.

(ii) αν η A έχει τουλάχιστον μία ιδιοτιμή με θετικό πραγματικό μέρος, τότε η κ.λ. x_0 είναι αστάθμης.

(iii) αν η A έχει τουλάχιστον μία ιδιοτιμή με μηδενικό πραγματικό μέρος και οι υπόλοιπες έχουν αρνητικό πραγματικό μέρος τότε κανένα συμπέρασμα δεν προκύπτει για την ωστάθμη ή όχι της κ.λ. x_0 .

Παράδειγμα: μη-γραμμικό ταξίριο.

Είναι:

$$\frac{\partial f(x)}{\partial x} = \begin{bmatrix} 0 & 1 \\ -\frac{\kappa}{M}(1 - \frac{3}{2}x_1^2) & -\frac{B}{M} \end{bmatrix}$$

Γραμμικοποιούμε γύρω από το $x_0 = \begin{bmatrix} 0 \\ 0 \end{bmatrix}$:

$$A = \frac{\partial f(x)}{\partial x} \Big|_{x=x_0} = \begin{bmatrix} 0 & 1 \\ -\frac{\kappa}{M} & -\frac{B}{M} \end{bmatrix}$$

$$\det[\lambda I - A] = \det \begin{bmatrix} \lambda & -1 \\ \frac{\kappa}{M} & \lambda + \frac{B}{M} \end{bmatrix} = \lambda(\lambda + \frac{B}{M}) + \frac{\kappa}{M} = \lambda^2 + \frac{B}{M}\lambda + \frac{\kappa}{M} = 0$$

$$\Rightarrow \lambda_{1,2} = \frac{1}{2} \left[-\frac{B}{M} \pm \sqrt{\left(\frac{B}{M}\right)^2 - 4\frac{\kappa}{M}} \right] = \begin{cases} -\frac{1}{2} \left[\frac{B}{M} + \sqrt{\left(\frac{B}{M}\right)^2 - 4\frac{\kappa}{M}} \right] = \lambda_1 \\ -\frac{1}{2} \left[\frac{B}{M} - \sqrt{\left(\frac{B}{M}\right)^2 - 4\frac{\kappa}{M}} \right] = \lambda_2 \end{cases}$$

αν $\left(\frac{B}{M}\right)^2 - 4\frac{\kappa}{M} \geq 0$ τότε $\operatorname{Re}\{\lambda_1\} = \lambda_1 < 0$ και $\operatorname{Re}\{\lambda_2\} = \lambda_2 < 0$

αν $\left(\frac{B}{M}\right)^2 - 4\frac{\kappa}{M} < 0$ τότε $\operatorname{Re}\{\lambda_1\} = \operatorname{Re}\{\lambda_2\} = -\frac{1}{2}\frac{B}{M} < 0$

\Rightarrow σε κάθε περίπτωση $\operatorname{Re}\{\lambda_1\} < 0$ και $\operatorname{Re}\{\lambda_2\} < 0$

$\Rightarrow x_0 = \begin{bmatrix} 0 \\ 0 \end{bmatrix}$ είναι ασυμπτωτικά ωστάθμης κ.λ.

ή συμβαίνει για τις κ.λ. $x'_0 = \begin{bmatrix} 0 \\ \sqrt{2} \end{bmatrix}$ και $x''_0 = \begin{bmatrix} 0 \\ -\sqrt{2} \end{bmatrix}$;

Γραμμικό χρονικά αμετάβλητο σύστημα: $\dot{x}(t) = A x(t) + B u(t)$ (1)

Ανίσωχο αυτόνομο σύστημα για $u(t) = 0$: $\dot{\bar{x}}(t) = A \bar{x}(t)$ (2)

Συνεπώς ισορροπίες \bar{x} του (2): $A \bar{x} = 0$ (3)

αν $\det A \neq 0$ τότε $\bar{x} = 0$ μοναδικό σ.ι.

αν $\det A = 0$ τότε τα σ.ι. είναι: $\bar{x} = 0$ και $\bar{x} \neq 0$ τ.ω. $A \bar{x} = 0$.

Αρκεί να εξετασθεί η ευσταθία του $\bar{x} = 0$ (αν $\bar{x} \neq 0$, $A \bar{x} = 0$, αλλιώς $x'(t) = x(t) - \bar{x}$,

(1) ή (2) (κυριωτέρως) ευσταθές \Leftrightarrow το σ.ι. $\bar{x} = 0$ του (2) είναι (κυριωτέρως) ευσταθές

Η ευσταθία του \bar{x} προκύπτει από την άμεση μέθοδο Λαγ朗朗 με χρήση της συνάρτησης Λαγ朗朗

$$V(x) = x^T P x$$

όπου P είναι κατάλληλη συμμετρική ηχη μήτρα. Δεν παραδίδεται εδώ.

(α) Ευσταθία από τη δέση των πόρων (ρίζων του χ.π., ιδιοτιμών της A)

Χρονική απόκριση του αυτόνομου συστήματος: $\dot{x}(t) = A x(t)$

$$\begin{aligned} x(t) &= e^{At} x(0) = \mathcal{L}^{-1} \{ [sI - A]^{-1} \} x(0) = \mathcal{L}^{-1} \left\{ \frac{\text{adj} \{sI - A\}}{\det \{sI - A\}} \right\} x(0) = \\ &= \mathcal{L}^{-1} \left\{ \frac{\text{adj} \{sI - A\} x(0)}{\psi(s)} \right\} \end{aligned}$$

$$\Rightarrow x_k(t) = \mathcal{L}^{-1} \left\{ \frac{\pi_k(s)}{\psi(s)} \right\}, \quad k=1, \dots, n \quad (4)$$

όπου $\psi(s) = \det \{sI - A\}$ το χαρακτηριστικό πολυώνυμο

και $\pi_k(s) = e_k^T \text{adj} \{sI - A\} x(0)$

Ας είναι $\lambda_1, \lambda_2, \dots, \lambda_n$ οι ιδιοτιμές της A (ρίζες του $\psi(s)$, πόροι του συστήματος).

Υποθέτουμε (για απρόσβατα) ότι είναι απλές.

Ας είναι $\lambda_i = \gamma_i$, $i=1, \dots, n_r$ οι πραγματικοί πόροι

και $\left. \begin{aligned} \lambda_i &= \gamma_i + j\omega_i \\ \lambda_{i+1} &= \gamma_i - j\omega_i \end{aligned} \right\} i=1, \dots, n_c$ οι μιγαδικοί πόροι. ($n_r + 2n_c = n$)

$$\begin{aligned} \text{Τότε} \quad \psi(s) &= \prod_{i=1}^n (s - \lambda_i) = \prod_{i=1}^{n_r} (s - \gamma_i) \prod_{i=1}^{n_c} (s - \gamma_i - j\omega_i)(s - \gamma_i + j\omega_i) \\ &= \left(\prod_{i=1}^{n_r} (s - \gamma_i) \prod_{i=1}^{n_c} [(s - \gamma_i)^2 + \omega_i^2] \right) \end{aligned}$$

Αντίστροφη σε απλά κλάσματα και αντιστροφή του μ/σ Laplace:

60

$$x_k(t) = \mathcal{L}^{-1} \left\{ \frac{\pi_k(s)}{\prod_{i=1}^{n_r} (s-\gamma_i) \prod_{i=1}^{n_c} [(s-\gamma_i)^2 + \omega_i^2]} \right\} = \mathcal{L}^{-1} \left\{ \sum_{i=1}^{n_r} \frac{\alpha_{k,i}}{s-\gamma_i} + \sum_{i=1}^{n_c} \frac{b_{k,i}s + c_{k,i}}{(s-\gamma_i)^2 + \omega_i^2} \right\}$$

$$= \sum_{i=1}^{n_r} \alpha_{k,i} e^{\gamma_i t} + \sum_{i=1}^{n_c} \bar{b}_{k,i} e^{\gamma_i t} \sin(\omega_i t + \theta_i) \quad \text{όπου} \quad \bar{b}_{k,i} = \sqrt{b_{k,i}^2 + \left(\frac{c_{k,i} + b_{k,i}\gamma_i}{\omega_i} \right)^2}$$

$$\theta_i = \arctan \left(\frac{\omega_i b_{k,i}}{c_{k,i} + b_{k,i}\gamma_i} \right)$$

Θώρημα: Αν $\gamma_i = \operatorname{Re}\{\lambda_i\} < 0$, $i=1, \dots, n$ τότε $\lim_{t \rightarrow \infty} \{x(t)\} = 0 = \bar{x}$,

δηλαδή το σύστημα (1) ή (2) είναι ασυμπωτικά ευσταθές.

Αν $\exists j \in \{1, \dots, n\}$ τ.ω. $\gamma_j = \operatorname{Re}\{\lambda_j\} > 0$, τότε το σύστημα είναι ασταθές.

Αν $\gamma_i = \operatorname{Re}\{\lambda_i\} < 0$, $\forall i \in \{1, \dots, n_r\} \cup \{1, \dots, n_c\} - \{j\}$ και οι πόλοι $\lambda_j = \gamma_j + j\omega_j$ και $\lambda_{j+1} = \gamma_j - j\omega_j$ είναι κηλοί τότε το σύστημα έχει αρμόνιες ταλαντώσεις συχνότητας ω_j (οριακά ευσταθές).

(β) Αλγεβρικά κριτήρια ευσταθειας

Υπολογισμός πόλων (ρίζων $\psi(s)$ ή ιδιοτιμών A) αριθμητικά επίπονος,

Όμως \exists κριτήρια ευσταθειας μόνο από τους συντελεστές του χ.π. $\psi(s)$ (δεν απαιτείται υπολογισμός των ριζών).

$$\psi(s) = \alpha_n s^n + \alpha_{n-1} s^{n-1} + \dots + \alpha_1 s + \alpha_0 = \alpha_n \det [sI - A]$$

Θώρημα Stodola: Αν όλες οι ρίζες του πολυωνύμου $\psi(s)$ βρίσκονται στο αριστερό ημιπίεδο (αν $\operatorname{Re}\{\lambda_i\} < 0$, $i=1, \dots, n$) τότε όλοι οι συντελεστές του $\psi(s)$ είναι μη-μηδενικοί και έχουν το ίδιο πρόσημο:

$$\alpha_i > 0, \quad i=0, 1, \dots, n \quad \text{αν} \quad \alpha_n > 0$$

$$\alpha_i < 0, \quad i=0, 1, \dots, n \quad \text{αν} \quad \alpha_n < 0.$$

Αναγκαία συνθήκη, όχι ικανή.

Παράδειγμα: $\psi(s) = s^3 + s^2 + 2s + 8 = (s+2)(s^2 - s + 4)$

πόλοι: $p_1 = -2 < 0$, $p_{2,3} = \frac{1}{2} [1 \pm j\sqrt{15}] \Rightarrow \operatorname{Re}\{p_2\} = \operatorname{Re}\{p_3\} = \frac{1}{2} > 0$

$\Rightarrow \psi(s)$ ασταθές

Πρόβλημα : Αν οι συντελεστές $\alpha_i, i=0,1,\dots,n$ του Χ.Π. έχουν διαδοχικά πρόσημα ή αν $\alpha_j=0$ για κάποιο $j \in \{0,1,\dots,n-1\}$ τότε το σύστημα είναι ασταθές.

Ικανή και αναγκαία συνθήκη ευσταθίας δίνει το κριτήριο Routh.

Διάταξη Routh για το $\psi(s) = \alpha_n s^n + \alpha_{n-1} s^{n-1} + \dots + \alpha_1 s + \alpha_0$:

$$\begin{array}{l|llllll} s^n & \alpha_n & \alpha_{n-2} & \alpha_{n-4} & \dots & (\alpha_1 \text{ ή } \alpha_0) & 0 & 0 & \longleftrightarrow A_{1,1} & A_{1,2} & A_{1,3} & \dots \\ s^{n-1} & \alpha_{n-1} & \alpha_{n-3} & \alpha_{n-5} & \dots & (\alpha_0 \text{ ή } \alpha_1) & 0 & 0 & \longleftrightarrow A_{2,1} & A_{2,2} & A_{2,3} & \dots \\ s^{n-2} & A_{3,1} & A_{3,2} & A_{3,3} & \dots & 0 & & & & & & \\ s^{n-3} & A_{4,1} & A_{4,2} & A_{4,3} & \dots & 0 & & & & & & \\ \vdots & \vdots & \vdots & \vdots & & & & & & & & \\ s^1 & A_{n,1} & A_{n,2} & 0 & 0 & & & & & & & \\ s^0 & A_{n+1,1} & 0 & 0 & & & & & & & & \end{array}$$

$$\text{όπου } A_{k+1,i} = -\frac{1}{A_{k,1}} \det \begin{bmatrix} A_{k-1,1} & A_{k-1,i+1} \\ A_{k,1} & A_{k,i+1} \end{bmatrix}$$

$$A_{k+1,i} = \frac{A_{k,1} A_{k-1,i+1} - A_{k-1,1} A_{k,i+1}}{A_{k,1}} \\ = A_{k-1,i+1} - \frac{A_{k-1,1} A_{k,i+1}}{A_{k,1}}$$

Η k γραμμή αντιστοιχεί στο πολυώνυμο :

$$f_k(s) = A_{k,1} s^{n-k+1} + A_{k,2} s^{n-k} + A_{k,3} s^{n-k-1} + \dots$$

Το πολυώνυμο αυτό είναι το υπόλοιπο της Ευκλείδειας διαίρεσης του $f_{k-2}(s)$ με το $f_{k-1}(s)$:

$$f_{k-2}(s) = f_{k-1}(s) \pi_{k-2}(s) - f_k(s).$$

Θεώρημα Routh: (i) Ο αριθμός των ριζών του $\psi(s)$ που έχουν θετικό πραγματικό μέρος και ίσος με τον αριθμό των εναλλαγών προσημίου της 1^{ης} στήλης της διάταξης Routh.

Παράδειγμα : $\psi_1(s) = s^3 + s^2 + 2s + 8$:

$$\begin{array}{l|lll} s^3 & 1 & 2 & 0 \\ s^2 & 1 & 8 & 0 \\ \rightarrow s^1 & -6 & 0 & \\ \rightarrow s^0 & 8 & & \end{array}$$

2 εναλλαγές προσημίου \Rightarrow

\Rightarrow 2 πόλοι στο δεξίο ημιεπίπεδο \Rightarrow

\Rightarrow ασταθές σύστημα

(ii) Αν η διάταξη Routh περιπεράσει κανονικά και τα στοιχεία της 1^{ης} στήλης είναι ορόσημα τότε όλες οι ρίζες του $\psi(s)$ είναι στο αριστερό ημιεπίπεδο, άρα το σύστημα είναι ασυμπτωτικά ευσταθές

Παράδειγμα: $\psi_2(s) = s^3 + s^2 + \kappa s + 8$:

$$\begin{array}{c|ccc} s^3 & 1 & \kappa & 0 \\ s^2 & 1 & 8 & 0 \\ s^1 & \kappa-8 & 0 & \\ s^0 & 8 & & \end{array}$$

αν $\kappa > 8$ τότε καμία εννεαρχή προβήμου \Rightarrow ασταθές σύστημα

αν $\kappa < 8$ τότε 2 εννεαρχές προβήμου \Rightarrow ασταθές σύστημα

(iii) Αν ένα από τα στοιχεία της πρώτης στήλης μηδενίζεται και στην ίδια γραμμή υπάρχουν μη-μηδενικά στοιχεία, τότε το στοιχείο που μηδενίζεται αντικαθίσταται από παράμετρο ε (ομόσημο με το στοιχείο που βρίσκεται ακριβώς από πάνω της) και συνεχίζεται η διάταξη Routhi συναρτήσει του ε .

Υπολογίζεται ο αριθμός εννεαρχών προβήμου καθώς $\varepsilon \rightarrow 0$ και ισχύουν τα (α) και (β).

Παράδειγμα: $\psi_3(s) = s^5 + 2s^4 + 2s^3 + 4s^2 + 11s + 10$;

$$\begin{array}{c|cccc} s^5 & 1 & 2 & 11 & 0 \\ s^4 & 2 & 4 & 10 & 0 \\ s^3 & \varepsilon & 6 & 0 & 0 \\ \rightarrow s^2 & -\frac{12}{\varepsilon} & 10 & 0 & \\ \rightarrow s^1 & 6 & 0 & & \\ s^0 & 10 & & & \end{array}$$

καθώς $\varepsilon \rightarrow 0$ εμφανίζονται 2 εννεαρχές προβήμου

\Rightarrow 2 ρίζες στο δεξίο ημιεπίπεδο

\Rightarrow ασταθές σύστημα

$\psi_4(s) = s^4 + s^3 + s^2 + s + \kappa$:

$$\begin{array}{c|cccc} s^4 & 1 & 1 & \kappa & 0 \\ s^3 & 1 & 1 & 0 & \\ s^2 & \varepsilon & \kappa & & \\ s^1 & -\frac{\kappa}{\varepsilon} & 0 & & \\ s^0 & \kappa & & & \end{array}$$

αν $\kappa > 0$ τότε :

καθώς $\varepsilon \rightarrow 0$, \exists 2 εννεαρχές προβήμου

\Rightarrow 2 ρίζες στο δ. η. \Rightarrow ασταθές

αν $\kappa < 0$ τότε :

καθώς $\varepsilon \rightarrow 0$, \exists 1 εννεαρχή προβήμου

\Rightarrow 1 ρίζη στο δ. η. \Rightarrow ασταθές.

(iv) Αν μία ορθή γραμμή (έως η s^k , τάξης k) μηδενίζεται, τότε θεωρούμε βέβαια το πολώνυμο $B(s)$ που αντιστοιχεί στην αμέσως παραπάνω γραμμή τάξης $k+1$.

Το $\psi(s)$ διαίρεται ακριβώς από το $B(s)$: $\psi(s) = B(s) \pi(s)$.

(A) Αν το $B(s)$ έχει τουλάχιστον μία ρίζα εκτός του φανταστικού άξονα τότε το σύστημα είναι ασταθές.

Επομένως αν το k είναι άρτιο τότε το σύστημα είναι ασταθές.

(B) Αν k περιττό τότε οι μηδενικοί εντεταγτές της γραμμής τάξης k αντικαθίστανται από τους εντεταγτές του $\frac{dB(s)}{ds}$ και η διάταξη Routh συνεχίζεται κανονικά.

(1) Αν η 1^η στήλη έχει ένα > 0, τότε σύστημα ασταθές.

(2) Αν η 1^η στήλη δεν έχει - - - - - , τότε όλες οι ρίζες του $B(s)$ είναι πάνω στον φανταστικό άξονα.

(α) αν όλες οι φανταστικές ρίζες είναι απλές τότε το σύστημα ^(ασταθές, αλλά όχι ασυμπτωτικό) είναι οριακά ευσταθές δηλαδή στέλνει αρεινές ταλαντώσεις συχνοτήτων που δίδονται από τις ρίζες του $B(s)$.

(β) αν \exists φανταστικές ρίζες $j\omega_i$ πολλαπλότητες $\mu_i > 1$ τότε το σύστημα είναι οριακά ευσταθές μόνο αν ισχύουν

$$\text{rank} [j\omega_i I - A] = n - \mu_i \quad \forall i$$

αλλιώς είναι ασταθές.

Παράδειγμα 2: $\psi_6(s) = s^5 + s^4 + (1+k)s^3 + (1+k)s^2 + ks + k$

s^5	1	$1+k$	k	0	
s^4	1	$1+k$	k	0	
s^3	0	0	0	0	$B(s) = s^4 + (1+k)s^2 + k$
s^3	4	$2(1+k)$	0		
s^2	$\frac{1+k}{2}$	k			$1+k - \frac{1+k}{2}$
s^1	$2 \frac{(1-k)^2}{1+k}$	0			$2(1+k) - \frac{8k}{1+k}$
s^0	k				

$k=3$ περίττο'. Η 1^η σειρά διατηρεί το πρόσημό της αν

$$\left. \begin{array}{l} 1+k > 0 \\ k > 0 \end{array} \right\} \Leftrightarrow k > 0$$

Για τις τιμές $k=-1$ και $k=0$ μηδενίζονται γραφείς άρτια τάξης.

Άρα για $k \leq 0$ το σύστημα είναι ασταθές,

Για $k > 0$ το $B(s)$ έχει καθαρά φανταστικές ρίζες και \nexists ενδιάμεσες πόλεις.
Μου στη 1^η σειρά.

Πρέπει να εξετάσσουμε τη πολλαπλότητα των ριζών του $B(s)$,

$$B(s) = 0 \Leftrightarrow s^4 + (1+k)s^2 + k = 0$$

$$\Leftrightarrow s^2 = \frac{1}{2} [-1-k \pm \sqrt{(1+k)^2 - 4k}] = \frac{1}{2} [-1-k \pm \sqrt{(1-k)^2}] = \begin{cases} -k \\ -1 \end{cases}$$

$$\Rightarrow s = \begin{cases} \pm j\sqrt{k} \\ \pm j \end{cases}$$

Για $k \neq 1, k > 0$ οι ρίζες είναι απλές οπότε το σύστημα είναι οριακά ευσταθές και εκτελεί ταλαντώσεις με συχνότητες \sqrt{k} και 1.

Για $k=1$ οι ρίζες είναι $\pm j$ πολλαπλότητες 2.

Αν είναι γνωστή η A ελέγχεται κατά πόσον ισχύει

$$\text{rank}[jI - A] = n - p_1 = 5 - 2 = 3 \quad (1)$$

Αν η (1) ισχύει, το σύστημα είναι οριακά ευσταθές με συχνότητα ταλαντώσεων 1.

Αν η (1) δν ισχύει, το σύστημα είναι ασταθές.

Παράδειγμα 1: $\psi(s) = s^3 + 2s^2 + 4s + k$:

$$\begin{array}{l|ll} s^3 & 1 & 4 & 0 \\ s^2 & 2 & k & 0 \\ s^1 & \frac{8-k}{2} & 0 & \\ s^0 & k & & \end{array}$$

αν $k > 8$ ευσταθές

αν $k < 8$ ασταθές

αν $k=8$ τότε

$$\begin{array}{l|ll} s^3 & 1 & 4 & 0 \\ s^2 & 2 & 8 & 0 \\ s^1 & 0 & 0 & \\ s^0 & 8 & & \end{array}$$

$$B(s) = 2s^2 + 8 \Rightarrow \frac{dB(s)}{ds} = 4s$$

$k=1$ περίττο τάξη.

1^η σειρά διατηρεί πρόσημο

ρίζες $B(s)$ φανταστικές απλές

οριακά ευσταθές με συχνότητα ταλάνωσης

$$B(s) = 0 \Rightarrow 2s^2 + 8 = 0 \Rightarrow s = \pm j2 \Rightarrow \omega = 2$$

Γραμμικό χρονικά αμετάβλητο σύστημα: $x(k+1) = Ax(k) + Bu(k)$ (1)

Αυτόνομο σύστημα ($u(k)=0, \forall k$): $x(k+1) = Ax(k)$ (2)

Συνείδη ισορροπίες \bar{x} του (2): $A\bar{x} = \bar{x}$ (3)

αν $\det(A-I) \neq 0$, τότε μοναδικό σ.ι. είναι το $\bar{x}=0$,

(1) ή (2) (ασυμπλεκτικά) ευσταδές \Leftrightarrow το σ.ι. $\bar{x}=0$ είναι (ασυμπλεκτικά) ευσταδές,

χαρακτηριστικό πολυώνυμο: $\psi(z) = \det(zI - A)$

πόλοι \equiv οι ρίζες του $\psi(z) \equiv$ οι ιδιοτιμές της A

(α) Ευστάθεια από τη θέση των πόλων.

Χρονική απόκριση του αυτόνομου συστήματος: $x(k+1) = Ax(k)$

$$x(k) = A^k x(0)$$

Υποθέτουμε, με απρότητα, ότι οι ιδιοτιμές $\lambda_1, \lambda_2, \dots, \lambda_n$ της A είναι αληθ.

Τότε η A έχει ανεξάρτητα ιδιοδιανύσματα p_1, p_2, \dots, p_n και διαγωνοποιείται ως εξής:

$$A = P \Lambda P^{-1} \quad \text{όπου} \quad \Lambda = \text{diag} \{ \lambda_1, \dots, \lambda_n \}$$

$$P = [p_1, p_2, \dots, p_n]$$

$$\text{Άρα} \quad A^k = P \Lambda^k P^{-1}$$

$$\text{και} \quad x(k) = P \Lambda^k P^{-1} x(0) = \sum_{i=1}^n (\lambda_i)^k w_i$$

Θεώρημα: Αν $|\lambda_i| < 1, i=1, \dots, n$ τότε $\lim_{k \rightarrow \infty} \{x(k)\} = 0 = \bar{x}$,

δηλαδή το σύστημα (1) ή (2) είναι ασυμπλεκτικά ευσταδές.

Αν $\exists j \in \{1, \dots, n\}$ τ.ω. $|\lambda_j| > 1$, τότε το σύστημα είναι ασταδές.

(β) Αλγεβρικά κριτήρια ευστάθειας.

(χωρίς να απαιτείται εύρεση των πόλων, μόνο από τους συντελεστές του χ.π.)

$$\psi(z) = \det[zI - A] = z^n + \alpha_{n-1} z^{n-1} + \alpha_{n-2} z^{n-2} + \dots + \alpha_1 z + \alpha_0$$

(i) Με χρήση του διχρημικού μετασχηματισμού και κριτηρίου Routh.

$$\text{Διχρημικός μετασχηματισμός:} \quad z = \frac{s+1}{s-1} \quad \text{ή} \quad s = \frac{z+1}{z-1} \quad (4)$$

(αλληλ. μεταβλητής: $z \leftrightarrow s$)

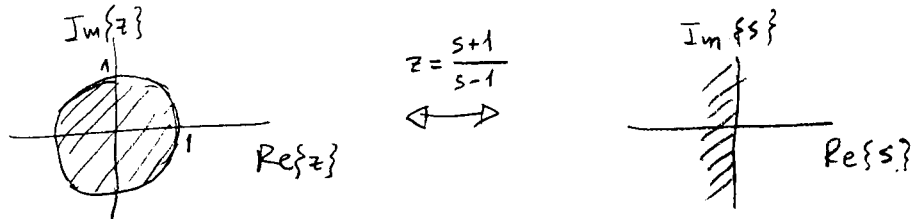
Με βάση το διγραμμικό μ/σ η συνθήκη ωεταδίας δ.χ. $|z| < 1$ γράφεται: 66

$$|z| < 1 \Leftrightarrow |s+1| < |s-1| \Leftrightarrow |\tau+j\omega+1|^2 < |\tau+j\omega-1|^2$$

$$\Leftrightarrow (\tau+1)^2 + \omega^2 < (\tau-1)^2 + \omega^2 \Leftrightarrow \tau^2 + 2\tau + 1 < \tau^2 - 2\tau + 1$$

$$\Leftrightarrow \tau = \operatorname{Re}\{s\} < 0$$

Ο σχεδία του εσωτερικού του μοναδιαίου κύκλου μετασχηματίζεται στο αριστερό ημιεπίπ.



Ας είναι $\phi(s) = (s-1)^n \cdot [\psi(z)]_{z=\frac{s+1}{s-1}} = (s-1)^n \left[\left(\frac{s+1}{s-1}\right)^n + \alpha_{n-1} \left(\frac{s+1}{s-1}\right)^{n-1} + \dots + \alpha_1 \left(\frac{s+1}{s-1}\right) + \alpha_0 \right]$

Τότε $\psi(z)$ ασυμπτωτικά ωεταδής $\Leftrightarrow |\delta_i| < 1$ όπου δ_i οι ρίζες του $\psi(z)$

$$\Leftrightarrow \operatorname{Re}\{p_i\} < 0 \text{ όπου } p_i = \frac{\delta_i + 1}{\delta_i - 1}$$

$$\Leftrightarrow \phi(s) \text{ ασυμπτωτικά ωεταδής δ.χ.}$$

Η ωεταδία του $\phi(s)$ εξετάζεται π.χ. με το κριτήριο Routh.

Παράδειγμα: $\psi(z) = z^2 + 4.952z + 0.368$

$$\phi(s) = (s-1)^2 [\psi(z)]_{z=\frac{s+1}{s-1}} = (s-1)^2 \left[\left(\frac{s+1}{s-1}\right)^2 + 4.952 \left(\frac{s+1}{s-1}\right) + 0.368 \right] =$$

$$= 6.32s^2 + 1.264s - 3.584 \rightarrow$$

$$\begin{array}{c|cc} s^2 & 6.32 & -3.584 \\ s^1 & 1.264 & 0 \\ s^0 & -3.584 & \end{array}$$

πράγματι: $\psi(\delta) = 0 \Rightarrow \delta_{1,2} = \begin{cases} -0.076 \\ -4.876 \end{cases} \Rightarrow \text{αεταδής}$

(ii) Το κριτήριο Jury.

(Ανάλογο του κριτηρίου Routh).

$$\Psi(z) = \det[zI - A] = z^n + \alpha_{n-1}z^{n-1} + \alpha_{n-2}z^{n-2} + \dots + \alpha_1z + \alpha_0$$

Διάταξη Jury:

	z^0	z^1	z^2	...	z^{n-2}	z^{n-1}	z^n
1	$\alpha_0^0 = \alpha_0$	$\alpha_1^0 = \alpha_1$	$\alpha_2^0 = \alpha_2$...	$\alpha_{n-2}^0 = \alpha_{n-2}$	$\alpha_{n-1}^0 = \alpha_{n-1}$	$\alpha_n^0 = 1$
2	$\alpha_n^0 = 1$	$\alpha_{n-1}^0 = \alpha_{n-1}$	$\alpha_{n-2}^0 = \alpha_{n-2}$...	$\alpha_2^0 = \alpha_2$	$\alpha_1^0 = \alpha_1$	$\alpha_0^0 = \alpha_0$
3	α_0^1	α_1^1	α_2^1	...	α_{n-2}^1	α_{n-1}^1	
4	α_{n-1}^1	α_{n-2}^1	α_{n-3}^1	...	α_1^1	α_0^1	
5	α_0^2	α_1^2	α_2^2	...	α_{n-2}^2		
6	α_{n-2}^2	α_{n-3}^2	α_{n-4}^2	...	α_0^2		
...				
2n-3	α_0^{n-2}	α_1^{n-2}	α_2^{n-2}				
2n-2	α_2^{n-2}	α_1^{n-2}	α_0^{n-2}				

όπου $\alpha_i^k = \det \begin{bmatrix} \alpha_0^{k-1} & \alpha_{n-k+1-i}^{k-1} \\ \alpha_{n-k+1}^{k-1} & \alpha_i^{k-1} \end{bmatrix}$, $k=1, 2, \dots, n-2$, $i=0, 1, \dots, n-k$

\uparrow \uparrow
 1^ο στοιχείο Δ εξιά του στοιχείου

Θώρημα (Jury-Blanchard): Το $\Psi(z)$ έχει ρίζες εντός του μοναδιαίου κύκλου αν και μόνο αν ισχύουν:

$$\Psi(1) > 0$$

$$(-1)^n \Psi(-1) > 0$$

$$|\alpha_0^0| < 1$$

$$|\alpha_0^{k-1}| > |\alpha_{n-k+1}^{k-1}|, \quad k=2, 3, \dots, n-2$$

\nwarrow \nearrow
 1^ο στοιχείο

$$\alpha_i^1 = \det \begin{bmatrix} \alpha_0^0 & \alpha_{n-i}^0 \\ \alpha_n^0 & \alpha_i^0 \end{bmatrix}, \quad \alpha_i^2 = \det \begin{bmatrix} \alpha_0^1 & \alpha_{n-i-1}^1 \\ \alpha_{n-1}^1 & \alpha_i^1 \end{bmatrix}, \quad \alpha_i^3 = \det \begin{bmatrix} \alpha_0^2 & \alpha_{n-i-2}^2 \\ \alpha_{n-2}^2 & \alpha_i^2 \end{bmatrix}$$

$i=0, 1, \dots, n-1$ $i=0, 1, \dots, n-2$ $i=0, 1, \dots, n-3$

Παράδειγμα: $\psi(z) = z^4 + 0.6z^3 + 0.3z^2 - 0.5z + 0.25$

68

(i) Διγραμμικός μ/σ - Routh

$$\begin{aligned} \phi(s) &= (s-1)^4 \left[\left(\frac{s+1}{s-1} \right)^4 + 0.6 \left(\frac{s+1}{s-1} \right)^3 + 0.3 \left(\frac{s+1}{s-1} \right)^2 - 0.5 \left(\frac{s+1}{s-1} \right) + 0.25 \right] \\ &= (s+1)^4 + 0.6 (s+1)^3 (s-1) + 0.3 (s+1)^2 (s-1)^2 - 0.5 (s+1) (s-1)^3 + 0.25 (s-1)^4 \\ &= (s^2+2s+1)^2 + 0.6 (s+1)^2 (s^2-1) + 0.3 (s^2-1)^2 - 0.5 (s^2-1) (s-1)^2 + 0.25 (s^2-2s+1)^2 \\ &= s^4 + 4s^2 + 1 + 4s^3 + 2s^2 + 4s + 0.6 (s^2+2s+1)(s^2-1) + 0.3 (s^4+1-4s^2) - \\ &\quad - 0.5 (s^2-1)(s^2-2s+1) + 0.25 (s^4+4s^2+1-4s^3+2s^2-4s) \\ &= 1.25 (s^4 + 6s^2 + 1) + 3 (s^3 + s) + 0.6 (s^4 + 2s^3 + s^2 - s^2 - 2s - 1) + 0.3 (s^4 + 1 - 4s^2) - \\ &\quad - 0.5 (s^4 - s^2 - 2s^3 + 2s + s^2 - 1) \\ &= 1.65 s^4 + 5.2 s^3 + 6.3 s^2 + 0.8 s + 1.65 \end{aligned}$$

s^4	1.65	6.3	1.65	\Rightarrow α σταθερά
s^3	5.2	0.8	0	
s^2	6.046	1.65	0	
s^1	-0.62	0		
s^0	1.65			

(ii) κριτήριο Jury

	z^0	z^1	z^2	z^3	z^4
1	0.25	-0.5	0.3	0.6	1.
2	1	0.6	0.3	-0.5	0.25
3	-0.9375	-0.725	-0.225	0.65	
4	0.65	-0.225	-0.725	-0.9375	
5	0.4654	0.8259	0.6822		
6	0.6822	0.8259	0.4654		

$$\begin{aligned} \psi(1) &= 1.65 > 0 && \text{o.k.} \\ (-1)^4 \psi(-1) &= 1.45 > 0 && \text{o.k.} \\ |\alpha_0^0| &= 0.25 < 1 && \text{o.k.} \\ |\alpha_0^1| &= 0.9375 > |\alpha_3^1| = 0.65 && \text{o.k.} \\ |\alpha_0^2| &= 0.4654 > |\alpha_2^2| = 0.6822 && \times \end{aligned}$$

\uparrow
 δεν ισχύει
 \downarrow
 α σταθερά

$$\begin{aligned} \dot{x}(t) &= Ax(t) + Bu(t), \quad t \geq 0 \quad (1.1) \\ y(t) &= Cx(t) + Du(t) \quad (1.2) \end{aligned}$$

$$\begin{aligned} x(k+1) &= Ax(k) + Bu(k), \quad k \geq 0 \quad (2.1) \\ y(k) &= Cx(k) + Du(k) \quad (2.2) \end{aligned}$$

6.1 Ελεγχσιμότητα

Ορισμός : Το σύστημα (1.1) (ή (2.1)) λέγεται ελεγχσιμο αν για οποιαδήποτε x_0, x_f , \exists πεπερασμένος χρόνος t_f (ή k_f) και \exists είσοδος $u(t)$, $t \in [0, t_f]$ (ή $\exists u(k), k \in [0, k_f]$) τ.ω. $x(0) = x_0$, $x(t_f) = x_f$ (ή $x(k_f) = x_f$).

Επιθυμία x_f : τα σημεία ισορροπίας \Rightarrow επιλέξω το πρόβλημα ρύθμισης.

$$\begin{aligned} \text{Για το (1.1)} : \quad x(t) &= e^{At} x(0) + \int_0^t e^{A(t-\tau)} B u(\tau) d\tau \\ \text{Cayley-Hamilton} \Rightarrow \quad e^{At} &= \sum_{k=0}^{n-1} \alpha_k(t) A^k \end{aligned} \quad \Rightarrow$$

$$\Rightarrow x(t_f) = x_f = e^{At_f} x_0 + [B \ AB \ A^2 B \ \dots \ A^{n-1} B] \begin{bmatrix} \int_0^{t_f} \alpha_0(t-\tau) u(\tau) d\tau \\ \int_0^{t_f} \alpha_1(t-\tau) u(\tau) d\tau \\ \vdots \\ \int_0^{t_f} \alpha_{n-1}(t-\tau) u(\tau) d\tau \end{bmatrix}$$

$$\begin{aligned} \text{Για το (2.1)} : \quad x(k) &= A^k x(0) + \sum_{i=0}^{k-1} A^{k-i-1} B u(i) \\ \text{Cayley-Hamilton} \Rightarrow \quad A^q &= \sum_{j=0}^{n-1} \alpha_j A^j, \quad q = 0, 1, \dots \end{aligned} \quad \Rightarrow$$

$$\Rightarrow x(k_f) = x_f = A^{k_f} x_0 + [B \ AB \ A^2 B \ \dots \ A^{n-1} B] \begin{bmatrix} * \\ * \\ \vdots \\ * \end{bmatrix}$$

Ορισμός : Για σύστημα με n καταστάσεις και r εισόδους, η $n \times r$ μήτρα

$$\Gamma_c = [B \ AB \ A^2 B \ \dots \ A^{n-1} B]$$

λέγεται μήτρα ελεγχσιμότητας.

Θεώρημα : Το σύστημα (1.1) (ή (2.1)) είναι ελεγχσιμο αν και μόνο αν $\text{rank}\{\Gamma_c\} = \text{rank}[B \ AB \ A^2 B \ \dots \ A^{n-1} B] = n$ (3)

$$\text{As είναι : } \tilde{\Gamma}_c(\lambda) = [B \ AB \ \dots \ A^{n-1} B] \quad . \quad \text{Προφανώς : } \Gamma_c = \tilde{\Gamma}_c(n)$$

Ορισμός : Ο ελάχιστος κέραιος λ για τον οποίο ισχύει $\text{rank}\{\tilde{\Gamma}_c(\lambda)\} = \text{rank}[B \ AB \ \dots \ A^{n-1} B] = n$ (4)

λέγεται δύναμις ελεγχσιμότητας του συστήματος (1.1) (ή (2.1)).

Αν το σύστημα είναι ελεγχσιμο τότε : $\lambda \leq n$

Αν $r=1$ (σύστημα μιας εισόδου) τότε : $\lambda \geq n$

\Rightarrow για ελεγχσιμο σύστημα μιας εισόδου ισχύει $\lambda = n$

Αν $r \geq 2$ τότε ενδέχεται να ισχύει $\lambda < n$.

Για ελεγχσιμο σύστημα και δεδομένα x_0, x_f ο προσδιορισμός των $u(t)$ (" $u(t)$ ") δεν είναι μοναδικός.

Ελεγχσιμότητα και μ/σ ομοιοτήτας.

$$\hat{A} = P^{-1}AP, \quad \hat{B} = P^{-1}B$$

$$\hat{A}^k = (P^{-1}AP)^k = P^{-1}A^kP$$

$$\hat{A}^k \hat{B} = (P^{-1}AP)^k P^{-1}B = P^{-1}A^k P P^{-1}B = P^{-1}A^k B$$

$$\hat{\Gamma}_c = [\hat{B} \quad \hat{A}\hat{B} \quad \hat{A}^2\hat{B} \quad \dots \quad \hat{A}^{n-1}\hat{B}] = [P^{-1}B \quad P^{-1}AB \quad P^{-1}A^2B \quad \dots \quad P^{-1}A^{n-1}B]$$

$$= P^{-1} [B \quad AB \quad A^2B \quad \dots \quad A^{n-1}B] = P^{-1} \Gamma_c$$

Θεώρημα : Η ελεγχσιμότητα και ο δείκτης ελεγχσιμότητας διατηρούνται ανεξαρτήτως αν στο σύστημα εφαρμοσθεί μ/σ ομοιοτήτας.

Θεώρημα : Αν σε σύστημα μιας εισόδου είναι $A = \text{diag}\{\alpha_1, \alpha_2, \dots, \alpha_n\}$ και $B = [b_1, b_2, \dots, b_n]^T$

τότε το σύστημα είναι ελεγχσιμο αν και μόνο αν ισχύουν :

$$\alpha_i \neq \alpha_j, \quad \forall i \neq j \quad (5.1)$$

$$(5.2)$$

$$\text{και } b_i \neq 0, \quad i = 1, 2, \dots, n.$$

Πράγματι :

$$\Gamma_c = \begin{bmatrix} b_1 & \alpha_1 b_1 & \alpha_1^2 b_1 & \dots & \alpha_1^{n-1} b_1 \\ b_2 & \alpha_2 b_2 & \alpha_2^2 b_2 & \dots & \alpha_2^{n-1} b_2 \\ \vdots & \vdots & \vdots & \ddots & \vdots \\ b_n & \alpha_n b_n & \alpha_n^2 b_n & \dots & \alpha_n^{n-1} b_n \end{bmatrix} = \begin{bmatrix} b_1 & 0 & 0 & \dots & 0 \\ 0 & b_2 & 0 & \dots & 0 \\ 0 & 0 & b_3 & \dots & 0 \\ \vdots & \vdots & \vdots & \ddots & \vdots \\ 0 & 0 & 0 & \dots & b_n \end{bmatrix} \begin{bmatrix} 1 & \alpha_1 & \dots & \alpha_1^{n-1} \\ 1 & \alpha_2 & \dots & \alpha_2^{n-1} \\ \vdots & \vdots & \ddots & \vdots \\ 1 & \alpha_n & \dots & \alpha_n^{n-1} \end{bmatrix}$$

↑
Van-der-Monde

$$\det \{\Gamma_c\} = n \Leftrightarrow (5.1), (5.2)$$

Παρέβλημα :

$$x(k+1) = \begin{bmatrix} 0 & 1 & 0 & 0 \\ 3\alpha^2 & 0 & 0 & 2\alpha \\ 0 & 0 & 0 & 1 \\ 0 & -2\alpha & 0 & 1 \end{bmatrix} x(k) + \begin{bmatrix} 0 & 0 \\ 1 & 0 \\ 0 & 0 \\ 0 & 1 \end{bmatrix} u(k)$$

$\begin{matrix} \nearrow A \\ \nwarrow B \end{matrix}$

$$\Gamma_c = [B \mid AB \mid A^2B \mid A^3B] = \begin{bmatrix} 0 & 0 & 1 & 0 & 0 & 2\alpha & -\alpha^2 & 2\alpha \\ 1 & 0 & 0 & 2\alpha & -\alpha^2 & 2\alpha & -4\alpha^2 & -2\alpha^3+2\alpha \\ 0 & 0 & 0 & 1 & -2\alpha & 1 & -2\alpha & 1-4\alpha^2 \\ 0 & 1 & -2\alpha & 1 & -2\alpha & 1-4\alpha^2 & 2\alpha^3-2\alpha & 1-8\alpha^2 \end{bmatrix}$$

$\begin{matrix} B & AB & A^2B & A^3B \end{matrix}$

$$\det \{ \tilde{\Gamma}_c(2) \} = \det [B \mid AB] = \det \begin{bmatrix} 0 & 0 & 1 & 0 \\ 1 & 0 & 0 & 2\alpha \\ 0 & 0 & 0 & 1 \\ 0 & 1 & -2\alpha & 1 \end{bmatrix} = 1 \cdot (-1) \cdot 1 = -1 \neq 0$$

\Rightarrow ελεγχίμο με direct ελεγχίσιμότητα $\lambda = 2$, $\forall \alpha$.

Av $B_1 = \begin{bmatrix} 0 \\ 1 \\ 0 \\ 0 \end{bmatrix}$, δηλ. αν χρησιμοποιείται μόνο η 1^η είσοδος, τότε

$$(\Gamma_c)_1 = [B_1 \mid AB_1 \mid A^2B_1 \mid A^3B_1] = \begin{bmatrix} 0 & 1 & 0 & -\alpha^2 \\ 1 & 0 & -\alpha^2 & -4\alpha^2 \\ 0 & 0 & -2\alpha & -2\alpha \\ 0 & -2\alpha & -2\alpha & 2\alpha^3-2\alpha \end{bmatrix}$$

$$\det (\Gamma_c)_1 = -1 \left[(-2\alpha (2\alpha^3-2\alpha) - 4\alpha^2) - \alpha^2 (-4\alpha^2) \right] = - \left[-4\alpha^4 + 4\alpha^2 - 4\alpha^2 + 4\alpha^4 \right] = 0$$

\Rightarrow μη-ελεγχίμο με οποιοδήποτε α

Av $B_2 = \begin{bmatrix} 0 \\ 0 \\ 0 \\ 1 \end{bmatrix}$, δηλ. αν χρησιμοποιείται μόνο η 2^η είσοδος, τότε

$$(\Gamma_c)_2 = [B_2 \mid AB_2 \mid A^2B_2 \mid A^3B_2] = \begin{bmatrix} 0 & 0 & 2\alpha & 2\alpha \\ 0 & 2\alpha & 2\alpha & -2\alpha^3+2\alpha \\ 0 & 1 & 1 & 1-4\alpha^2 \\ 1 & 1 & 1-4\alpha^2 & 1-8\alpha^2 \end{bmatrix}$$

$$\det (\Gamma_c)_2 = -1 \left[-2\alpha (2\alpha (1-4\alpha^2) - 2\alpha) - 4\alpha^4 + 4\alpha^2 - 4\alpha^2 \right] = - (16\alpha^4 - 4\alpha^4) = -12\alpha^4$$

$\Rightarrow \begin{cases} \text{ελεγχίμο} & \text{αν } \alpha \neq 0 \\ \text{μη-ελεγχίμο} & \text{αν } \alpha = 0 \end{cases}$

6.2 Παρατηρησιμότητα

Ορισμός: Το σύστημα (1.1), (1.2) (ή (2.1), (2.2)) λέγεται παρατηρήσιμο αν

δωδέντων των $y(t), u(t), \forall t \in [0, t_f]$ (ή $y(k), u(k), k=0, 1, \dots, k_f$)

είναι δυνατόν να προσδιοριστεί η αρχική τιμή $x(0)$ του διανύσματος κατάστασης (και επόμεως ολόκληρη η λύση $x(t), t \in [0, t_f]$ ή $x(k), k=0, 1, \dots, k_f$).

$$\dot{x}(t) = Ax(t) + Bu(t) \quad (1.1)$$

$$y(t) = Cx(t) + Du(t) \quad (1.2)$$

$$x(k+1) = Ax(k) + Bu(k) \quad (2.1)$$

$$y(k) = Cx(k) + Du(k) \quad (2.2)$$

Ορισμός: Για σύστημα με n καταστάσεις και m εξόδους, η $m \times n$ μήτρα

$$\Gamma_0 = \begin{bmatrix} C \\ CA \\ CA^2 \\ \vdots \\ CA^{n-1} \end{bmatrix}$$

λέγεται μήτρα παρατηρησιμότητας.

Θεώρημα: Το σύστημα (1.1), (1.2) (ή (2.1), (2.2)) είναι παρατηρήσιμο αν και μόνο αν

$$\text{rank}\{\Gamma_0\} = \text{rank} \begin{bmatrix} C \\ CA \\ \vdots \\ CA^{n-1} \end{bmatrix} = n \quad (3)$$

Για το (1.1), (1.2) υαί: $y(t) = Ce^{At}x(0) + \int_0^t Ce^{A(t-\tau)}Bu(\tau)d\tau$

$$\Rightarrow Ce^{At}x(0) = y(t) - \int_0^t Ce^{A(t-\tau)}Bu(\tau)d\tau = q(t) \in \mathbb{R}^m \text{ γνωστό.} \quad \Rightarrow$$

$$\text{Cayley-Hamilton} : e^{At} = \sum_{k=0}^{n-1} \alpha_k(t) A^k$$

$$\sum_{k=0}^{n-1} \alpha_k(t) CA^k x(0) = [\alpha_0(t)I \mid \alpha_1(t)I \mid \dots \mid \alpha_{n-1}(t)I] \begin{bmatrix} C \\ CA \\ CA^2 \\ \vdots \\ CA^{n-1} \end{bmatrix} x(0) = q(t) \quad (4)$$

Αν δεν ισχύει η (3) τότε θα υπάρχει $v \in \mathbb{R}^n, v \neq 0$ τ.ω. $\begin{bmatrix} C \\ CA \\ \vdots \\ CA^{n-1} \end{bmatrix} v = 0$,

επομένως αν $x(0)$ ικανοποιεί (4) τότε και το $x(0) + v$ θα ικανοποιεί την (4)

\Rightarrow μη μοναδικός προσδιορισμός του $x(0)$.

$$\text{As είναι : } \tilde{\Gamma}_0(\mu) = \begin{bmatrix} C \\ CA \\ \vdots \\ CA^{n-1} \end{bmatrix} \quad \text{Προφανώς } \Gamma_0 = \tilde{\Gamma}_0(\mu).$$

Ορισμός: Ο ελάχιστος ακέραιος μ για τον οποίο ισχύει

$$\text{rank} \{ \tilde{\Gamma}_0(\mu) \} = \text{rank} \begin{bmatrix} C \\ CA \\ \vdots \\ CA^{\mu-1} \end{bmatrix} = n \quad (5)$$

Λέγεται δείκτης παρατηρησιμότητας του συστήματος (1.1), (1.2) (ή (2.1), (2.2)).

Αν το σύστημα είναι παρατηρήσιμο τότε: $\mu \leq n$
 Αν $m=1$ (σύστημα μιας εξόδου) τότε: $\mu \geq n$
 Αν $m \geq 2$ τότε μπορεί να ισχύει $\mu < n$.

$\Rightarrow \mu = n$ αν το σύστημα
 έχει 1 έξοδο και είναι
 παρατηρήσιμο.

Παρατηρησιμότητα και μ/σ ομοιότητες.

$$\hat{A} = P^{-1}AP, \quad \hat{C} = CP$$

$$\hat{C}(\hat{A})^k = CP(P^{-1}AP)^k = CP \cancel{P^{-1}} \cancel{P}^k A^k \cancel{P^{-1}} \cancel{P}^{k-1} = CA^k P$$

οπότε
$$\hat{\Gamma}_0 = \begin{bmatrix} \hat{C} \\ \hat{C}\hat{A} \\ \hat{C}\hat{A}^2 \\ \vdots \\ \hat{C}\hat{A}^{n-1} \end{bmatrix} = \begin{bmatrix} CP \\ CAP \\ CA^2P \\ \vdots \\ CA^{n-1}P \end{bmatrix} = \begin{bmatrix} C \\ CA \\ CA^2 \\ \vdots \\ CA^{n-1} \end{bmatrix} P = \Gamma_0 P$$

Θεώρημα: Η παρατηρησιμότητα και ο δείκτης παρατηρησιμότητας ενός συστήματος διατηρούνται ανεξαρτήτως αν στο σύστημα εφαρμόσει μ/σ ομοιότητες.

Θεώρημα: Αν σε σύστημα μιας εξόδου είναι:

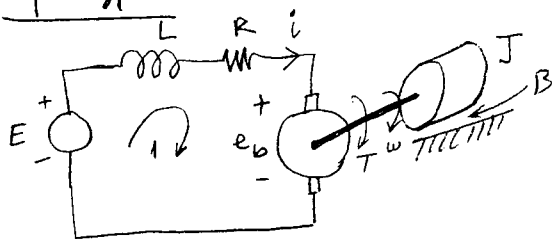
$$A = \text{diag}\{\alpha_1, \alpha_2, \dots, \alpha_n\}, \quad C = [c_1, c_2, \dots, c_n]$$

τότε το σύστημα είναι παρατηρήσιμο αν και μόνο αν ισχύουν:

$$\alpha_i \neq \alpha_j, \quad \forall i \neq j$$

$$\text{και } c_i \neq 0, \quad i=1, \dots, n$$

Παράδειγμα:



Π.Σ. κινήσεων : $e_b = k\omega$
 $T = ki$

Βρόχος 1 : $L \frac{di}{dt} + Ri + e_b - E = 0$
 $\Rightarrow L \frac{di}{dt} = -Ri - k\omega + E \quad (1)$

Μηχανικό μέρος : $T = J \frac{d\omega}{dt} + B\omega \Rightarrow J \frac{d\omega}{dt} = ki - B\omega \quad (2)$

Περιγραφή I : διάνυσμα καταστάσεων $x(t) = \begin{bmatrix} i(t) \\ \omega(t) \end{bmatrix}$, είσοδος $y(t) = \omega(t)$

$$\frac{dx(t)}{dt} = \begin{bmatrix} \frac{di(t)}{dt} \\ \frac{d\omega(t)}{dt} \end{bmatrix} = \begin{bmatrix} -R/L & -k/L \\ k/J & -B/J \end{bmatrix} \begin{bmatrix} i(t) \\ \omega(t) \end{bmatrix} + \begin{bmatrix} 1/L \\ 0 \end{bmatrix} E(t) = A x(t) + B u(t) \quad (3)$$

$$y(t) = \omega(t) = \begin{bmatrix} 0 & 1 \end{bmatrix} \begin{bmatrix} i(t) \\ \omega(t) \end{bmatrix} = C x(t)$$

Περιγραφή II : διάνυσμα καταστάσεων $\hat{x}(t) = \begin{bmatrix} i(t) \\ \theta(t) \\ \omega(t) \end{bmatrix}$, είσοδος $y(t) = \theta(t) \vee y(t) = \omega(t)$

$$\frac{d\hat{x}(t)}{dt} = \begin{bmatrix} \frac{di(t)}{dt} \\ \frac{d\theta(t)}{dt} \\ \frac{d\omega(t)}{dt} \end{bmatrix} = \begin{bmatrix} -R/L & 0 & -k/L \\ 0 & 0 & 1 \\ k/J & 0 & -B/J \end{bmatrix} \begin{bmatrix} i(t) \\ \theta(t) \\ \omega(t) \end{bmatrix} + \begin{bmatrix} 1/L \\ 0 \\ 0 \end{bmatrix} E(t) = \hat{A} \hat{x}(t) + \hat{B} u(t) \quad (4)$$

$$y(t) = \theta(t) = \begin{bmatrix} 0 & 1 & 0 \end{bmatrix} \hat{x}(t) \quad \vee \quad y(t) = \omega(t) = \begin{bmatrix} 0 & 0 & 1 \end{bmatrix} \hat{x}(t)$$

Περιγραφή I : $\Gamma_c^I = [B \ AB] = \begin{bmatrix} 1/L & -R/L^2 \\ 0 & k/JL \end{bmatrix}$, $\text{rank}\{\Gamma_c^I\} = 2 = n \Rightarrow$ ελεγχόμενη

$\Gamma_o^I = \begin{bmatrix} C \\ CA \end{bmatrix} = \begin{bmatrix} 0 & 1 \\ k/J & -B/J \end{bmatrix}$, $\text{rank}\{\Gamma_o^I\} = 2 = n \Rightarrow$ παρατηρήσιμη

Περιγραφή II : $\Gamma_c^{II} = [\hat{B} \ \hat{A}\hat{B} \ \hat{A}^2\hat{B}] = \begin{bmatrix} 1/L & -R/L^2 & R^2/L^3 - k^2/JL^2 \\ 0 & 0 & k/JL \\ 0 & k/JL & -kR/JL^2 - kB/J^2L \end{bmatrix}$

$$\det\{\Gamma_c^{II}\} = \frac{1}{L} \left(-\frac{k^2}{J^2L^2} \right) = -\frac{k^2}{J^2L^3} \neq 0 \Rightarrow \text{ελεγχόμενη}$$

$$(\Gamma_o^{\text{II}})_1 = \begin{bmatrix} \hat{C}_1 & \hat{A} \\ \hat{C}_1 & \hat{A} \\ \hat{C}_1 & \hat{A}^2 \end{bmatrix} = \begin{bmatrix} 0 & 1 & 0 \\ 0 & 0 & 1 \\ \frac{\kappa}{J} & 0 & -\frac{B}{J} \end{bmatrix}, \det(\Gamma_o^{\text{II}})_1 = -1(-\frac{\kappa}{J}) = \frac{\kappa}{J} \neq 0 \Rightarrow \text{παρατιρίσιμη}$$

$$(\Gamma_o^{\text{II}})_2 = \begin{bmatrix} \hat{C}_2 & \hat{A} \\ \hat{C}_2 & \hat{A} \\ \hat{C}_2 & \hat{A}^2 \end{bmatrix} = \begin{bmatrix} 0 & 0 & 1 \\ \frac{\kappa}{J} & 0 & -\frac{B}{J} \\ -\frac{\kappa R}{JL} - \frac{\kappa B}{J^2} & 0 & -\frac{\kappa^2}{JL} + \frac{B^2}{L^2} \end{bmatrix}, \det(\Gamma_o^{\text{II}})_2 = 1 \cdot 0 = 0 \Rightarrow \text{μη-παρατιρίσιμη}$$

6.3 Αποβύδευση Kalman

Γραφή εξισώσεων κατάστασης σε ειδική μορφή με χρήση μ/σ ομοιοτητας,

Εξέχσιμος υποχώρος: $X_c = \mathcal{R}\{\Gamma_c\} = \{x \in \mathbb{R}^n : x = \Gamma_c w\}$
 = ο χώρος που εκτείνουν οι στήλες της Γ_c .

Μη-παρατιρίσιμος υποχώρος: $X_{uo} = \mathcal{N}\{\Gamma_o\} = \{x \in \mathbb{R}^n : \Gamma_o x = 0\}$
 = ο χώρος που είναι κάθετος στις γραμμές της Γ_o .

Ο μη-εξέχσιμος υποχώρος X_{uc} και ο παρατιρίσιμος υποχώρος X_o επιλέγονται κατάλληλα ώστε να ισχύουν:

$$X = X_c \oplus X_{uc} = X_o \oplus X_{uo}$$

$$= (X_c \cap X_{uo}) \oplus (X_c \cap X_o) \oplus (X_{uc} \cap X_{uo}) \oplus (X_{uc} \cap X_o)$$

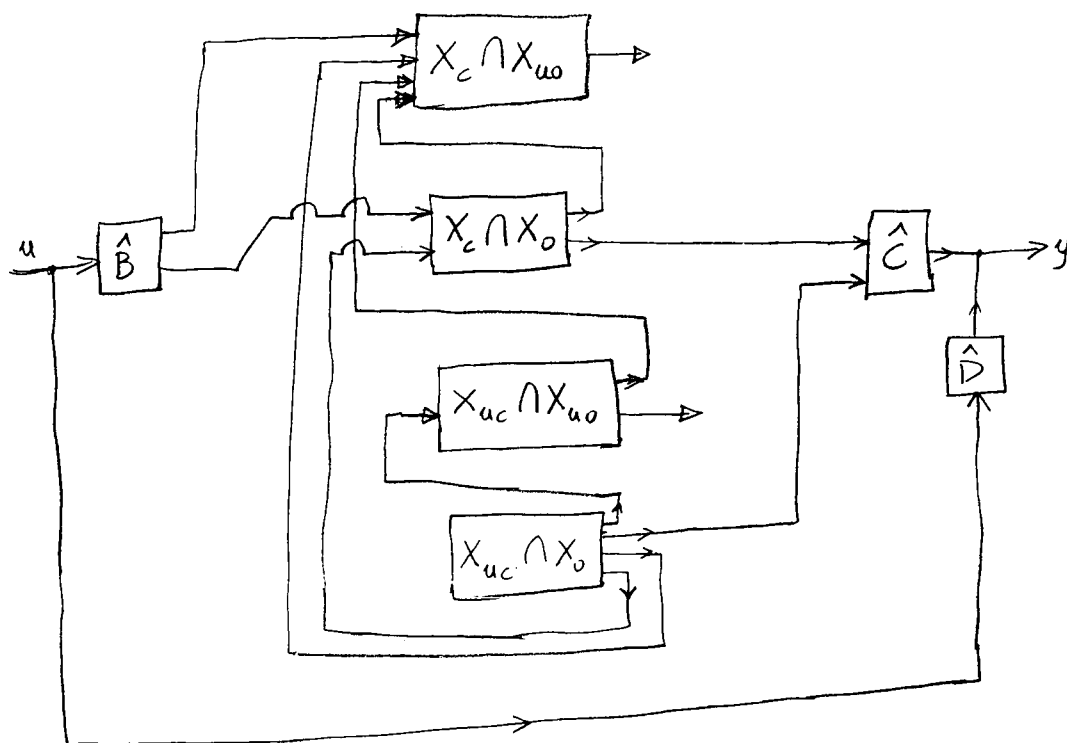
Ας είναι n_1, n_2, n_3, n_4 οι διαστάσεις των $X_c \cap X_{uo}, X_c \cap X_o, X_{uc} \cap X_{uo}, X_{uc} \cap X_o$ αντίστοιχα. Προφανώς $n = n_1 + n_2 + n_3 + n_4$.

Θεώρημα (Kalman 1963): Δεδομένου συστήματος (A, B, C, D) ως είναι

P μία μήτρα της οποίας τα n_1 πρώτα διανύσματα εκτείνουν τον χώρο $X_c \cap X_{uo}$, τα επόμενα n_2 εκτείνουν τον χώρο $X_c \cap X_o$, τα επόμενα n_3 τον χώρο $X_{uc} \cap X_{uo}$ και τα τελευταία n_4 εκτείνουν τον χώρο $X_{uc} \cap X_o$. Μεταχηματίζοντας το (A, B, C, D) με μ/σ ομοιοτητας με βάση τη μήτρα P οι μεταχηματισμένες μήτρες $(\hat{A}, \hat{B}, \hat{C}, \hat{D})$ έχουν τη μορφή:

$$\hat{A} = P^{-1}AP = \begin{bmatrix} A_{11} & A_{12} & A_{13} & A_{14} \\ 0 & A_{22} & 0 & A_{24} \\ 0 & 0 & A_{33} & A_{34} \\ 0 & 0 & 0 & A_{44} \end{bmatrix}, \hat{B} = P^{-1}B = \begin{bmatrix} B_1 \\ B_2 \\ 0 \\ 0 \end{bmatrix}, \hat{C} = CP = [0 \ C_2 \ 0 \ C_4], \hat{D} = D$$

όπου οι διαστάσεις των υπομητρών είναι $A_{11}: n_1 \times n_1$, $A_{22}: n_2 \times n_2$, $A_{33}: n_3 \times n_3$, $A_{44}: n_4 \times n_4$ ⁷¹
 κ.λ.π.



Θώρημα: Η μτρε εωαρτίσεων μεταφοράς $G(s)$ του συστήματος είναι:

$$G(s) = C [sI_n - A]^{-1} B + D = C_2 [sI_{n_2} - A_{22}]^{-1} B_2 + D \quad (*)$$

Παρατηρήσεις:

- στη συνάρτηση μεταφοράς συμμετέχει μόνο το ελέγχσιμο & παρατηρήσιμο υ/σ
- η προμετοποίηση μιας $G(s)$ επιτυγχάνεται από διάφορα συστήματα διαφόρων τάξεων, όμως ένα μόνο είναι ελέγχσιμο & παρατηρήσιμο και έχει ελάχιστη τάξη (προμετοποίηση ελάχιστης τάξης).
- οι μη-ελέγξιμοι και οι μη-παρατηρήσιμοι πόλοι του συστήματος απαλείφονται με αντίστοιχα μηδενικά
- η κατάσταση ενός συστήματος δεν μπορεί να εωαχθεί από την συνάρτηση μεταφοράς εκτός εάν το σύστημα είναι ελέγξιμο & παρατηρήσιμο
- η γνώση εισόδων και εξόδων δεν αρκεί για την πλήρη αναγνώριση του συστήματος. Η ύπαρξη μη-ελέγξιμων ή μη-παρατηρήσιμων υ/σ δεν μπορεί να επιβεβαιωθεί ούτε να αντικρουθεί από την εξωτερική συμπεριφορά του συστήματος: "Φύσις δε καθ' Ηράκλειτον κρύπτεσθαι γιγεί"

Θεώρητος

7. ΑΡΜΟΝΙΚΗ ΑΠΟΚΡΙΣΗ

Δυναμική συμπεριφορά συστήματος χαρακτηρίζεται

- (κ) είτε από τη χρονική του απόκριση σε π.χ. βηματική ή κρουστική διεγέρση
- (β) είτε από την απόκριση μόνιμης κατάστασης σε ^{παράγει} (ήπιες) ηριτωνικές διεγέρσεις σταθερού πλάτους και πολλών (ήπιων) διαφορετικών κυκλικών συχνοτήτων.

7.1 Ηριτωνική μόνιμη απόκριση συστημάτων Σ.Χ.

$$u(t) = A \sin(\omega t) \quad \xrightarrow{u(s) = \frac{A\omega}{s^2 + \omega^2}} \quad \boxed{G(s)} \quad \xrightarrow{y(t)} \quad y(t)$$

$$Y(s) = G(s)U(s)$$

Διεγέρση: $u(t) = A \sin(\omega t) \Rightarrow U(s) = \frac{A\omega}{s^2 + \omega^2}$

Απόκριση: $y(t) = \mathcal{L}^{-1}\{Y(s)\}$ όπου $Y(s) = G(s)U(s) = \frac{G(s)\omega A}{s^2 + \omega^2}$

A_s είναι p_1, p_2, \dots, p_n οι πόλοι της $G(s)$. Υποθέτουμε ότι $\operatorname{Re}\{p_i\} < 0, i=1, \dots, n$.

Για απρόσπετα υποθέτουμε ότι οι πόλοι είναι απλοί.

Ανάπτυξη της $Y(s)$ σε απλά κλάσματα:

$$Y(s) = G(s) \frac{\omega A}{s^2 + \omega^2} = \frac{K_0}{s - j\omega} + \frac{\bar{K}_0}{s + j\omega} + \sum_{i=1}^n \frac{K_i}{s - p_i}$$

$$y(t) = \mathcal{L}^{-1}\{Y(s)\} = K_0 e^{j\omega t} + \bar{K}_0 e^{-j\omega t} + \sum_{i=1}^n K_i e^{p_i t}$$

Επειδή $\operatorname{Re}\{p_i\} < 0$ θα είναι $\lim_{t \rightarrow \infty} \{K_i e^{p_i t}\} = 0$, οπότε η απόκριση στη μόνιμη κατάσταση (μετά την απόσβεση του μεταβατικού φαινομένου) είναι:

$$y_{ss}(t) = K_0 e^{j\omega t} + \bar{K}_0 e^{-j\omega t}$$

όπου $K_0 = \left. \frac{A\omega G(s)}{s + j\omega} \right|_{s = -j\omega} = \frac{A G(j\omega)}{2j}$,

$$\bar{K}_0 = \left. \frac{A\omega G(s)}{s - j\omega} \right|_{s = j\omega} = -\frac{A G(-j\omega)}{2j} = -\frac{A \overline{G(j\omega)}}{2j} = \overline{\left(\frac{A G(j\omega)}{2j} \right)} = \overline{(K_0)}$$

$$\Rightarrow y_{ss}(t) = A |G(j\omega)| \sin(\omega t + \arg\{G(j\omega)\}) \quad (1)$$

όπου $G(j\omega) = |G(j\omega)| \cdot e^{j\arg\{G(j\omega)\}}$ (2)

δηλ. η απόκριση στη μόνιμη κατάσταση είναι ηριτωνική συνάρτηση συχνότητας ω , πλάτους $A |G(j\omega)|$ και φάσης $\arg\{G(j\omega)\}$.

$G(j\omega)$: μιγαδική συνάρτηση της πραγματικής μεταβλητής ω .

Οι ακόλουθες πραγματικές συναρτήσεις του ω λέγονται αποκρίσεις συχνότητας ή αρμονικές αποκρίσεις της $G(s)$.

Ορίσμοι:

Συνάρτηση πλάτους της $G(s)$: $M(\omega) = |G(j\omega)|$

Συνάρτηση φάσης της $G(s)$: $\phi(\omega) = \arg\{G(j\omega)\}$

Συναρτήσεις κέρδους της $G(s)$:

(κ) σε db: $K(\omega) = 20 \log_{10} |G(j\omega)|$ με μονάδα μέτρησης το decibel (db)

(β) σε Np: $a(\omega) = \ln |G(j\omega)|$ με --- --- το Neper (Np)

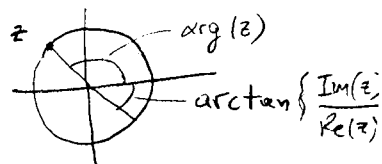
Συνάρτηση πραγματικού μέρους της $G(s)$: $R(\omega) = \operatorname{Re}\{G(j\omega)\}$

Συνάρτηση φανταστικού μέρους της $G(s)$: $X(\omega) = \operatorname{Im}\{G(j\omega)\}$

Στον ορισμό της $\phi(\omega)$ θεωρούμε ότι η συνάρτηση $\arg\{z\}$ έχει

πεδίο τιμών: $-180^\circ \leq \arg\{z\} < 180^\circ$

επομένως η σχέση: $\arg\{z\} = \arctan\left\{\frac{\operatorname{Im}(z)}{\operatorname{Re}(z)}\right\}$



ισχύει μόνο αν $-90^\circ \leq \arg\{z\} \leq 90^\circ$ (π.χ. $\arg\{k\} = -180^\circ$ αν $k < 0$, $k \in \mathbb{R}$).

Υπάρχουν σχέσεις μεταξύ των αποκρίσεων συχνότητας της $G(s)$:

$$R(\omega) = R(\infty) - \frac{2}{\pi} \int_0^\infty \frac{\sigma X(\sigma)}{\sigma^2 - \omega^2} d\sigma, \quad X(\omega) = \frac{2\omega}{\pi} \int_0^\infty \frac{R(\sigma)}{\sigma^2 - \omega^2} d\sigma$$

$$a(\omega) = a(\infty) - \frac{2}{\pi} \int_0^\infty \frac{\sigma \phi(\sigma)}{\sigma^2 - \omega^2} d\sigma, \quad \phi(\omega) = \frac{2\omega}{\pi} \int_0^\infty \frac{a(\sigma)}{\sigma^2 - \omega^2} d\sigma$$

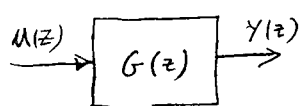
και μεταξύ των αποκρίσεων συχνότητας της $G(s)$ και της διμεταβλητής απόκρισης:

$$R(\omega) = \int_0^\infty \tilde{\omega} y_u(t) \sin(\omega t) dt, \quad X(\omega) = \int_0^\infty \tilde{\omega} y_u(t) \cos(\omega t) dt$$

$$y_u(t) = R(0) + \frac{2}{\pi} \int_0^\infty \frac{X(\omega)}{\omega} \cos(\omega t) d\omega = \frac{2}{\pi} \int_0^\infty \frac{R(\omega)}{\omega} \sin(\omega t) d\omega$$

Οχι πολύ χρήσιμες διότι συνήδως είναι γνωστές οι αποκρίσεις συχνότητας σε πεπερασμένο διάστημα $[0, \omega_s]$ και όχι στο $[0, \infty)$.

7.3 Αποκρίσεις συχνότητας συστημάτων δ.χ.



Διέγερση: $u(kT) = A \sin(k\omega T)$

$$U(z) = \mathcal{Z}\{u(kT)\} = \mathcal{Z}\{A \sin(k\omega T)\} = \frac{A z \sin(\omega T)}{(z - e^{j\omega T})(z - e^{-j\omega T})}$$

$$\text{Απόκριση: } Y(z) = G(z)U(z) = A \sin(\omega T) \frac{z G(z)}{(z - e^{j\omega T})(z - e^{-j\omega T})}$$

Υποθέτουμε ότι η $G(z)$ έχει πόλους αυστηρά μέσα στο μοναδιαίο κύκλο.

Επίσης (για απλότητα) θεωρούμε ότι η $G(z)$ έχει απλούς πόλους p_1, p_2, \dots, p_n .

Ανάπτυξη της $\frac{Y(z)}{z}$ σε απλά κλάσματα:

$$\frac{Y(z)}{z} = \frac{A \sin(\omega T) G(z)}{(z - e^{j\omega T})(z - e^{-j\omega T})} = \frac{K_0}{z - e^{j\omega T}} + \frac{\bar{K}_0}{z - e^{-j\omega T}} + \sum_{i=1}^n \frac{K_i}{z - p_i} \Rightarrow Y(z) = \frac{K_0 z}{z - e^{j\omega T}} + \frac{\bar{K}_0 z}{z - e^{-j\omega T}} + \sum_{i=1}^n \frac{K_i z}{z - p_i}$$

$$\text{όπου } K_0 = \left. \frac{A \sin(\omega T) G(z)}{z - e^{-j\omega T}} \right|_{z=e^{j\omega T}} = \frac{A \sin(\omega T) G(e^{j\omega T})}{e^{j\omega T} - e^{-j\omega T}}$$

$$y(kT) = \mathcal{Z}^{-1}\{Y(z)\} = K_0 e^{j\omega kT} + \bar{K}_0 e^{-j\omega kT} + \sum_{i=1}^n K_i (p_i)^k$$

Στη μόνιμη κατάσταση (μετά την απόσβεση του μεταβατικού φαινομένου) θα είναι:

$$\begin{aligned} y_{ss}(kT) &= K_0 e^{j\omega kT} + \bar{K}_0 e^{-j\omega kT} \\ &= A |G(e^{j\omega T})| \sin(k\omega T + \arg\{G(e^{j\omega T})\}) \end{aligned}$$

δηλ. η απόκριση στη μόνιμη κατάσταση είναι δείγματα μιας ημιτονικής συνάρτησης ίδιας συχνότητας με τη διεγέρση, πλάτους $A |G(e^{j\omega T})|$ και φάσης $\arg\{G(e^{j\omega T})\}$

Ορίσμοι: Οι ακόλουθες πραγματικές συναρτήσεις του ω λέγονται αποκρίσεις συχνότητας ή αρμονικές αποκρίσεις της $G(z)$.

$$\text{Συνάρτηση πλάτους της } G(z): \quad M_d(\omega) = |G(e^{j\omega T})|$$

$$\text{Συνάρτηση φάσης της } G(z): \quad \phi_d(\omega) = \arg\{G(e^{j\omega T})\}$$

$$\text{Συνάρτηση κέρδους της } G(z) \text{ σε db: } K_d(\omega) = 20 \log_{10} |G(e^{j\omega T})|$$

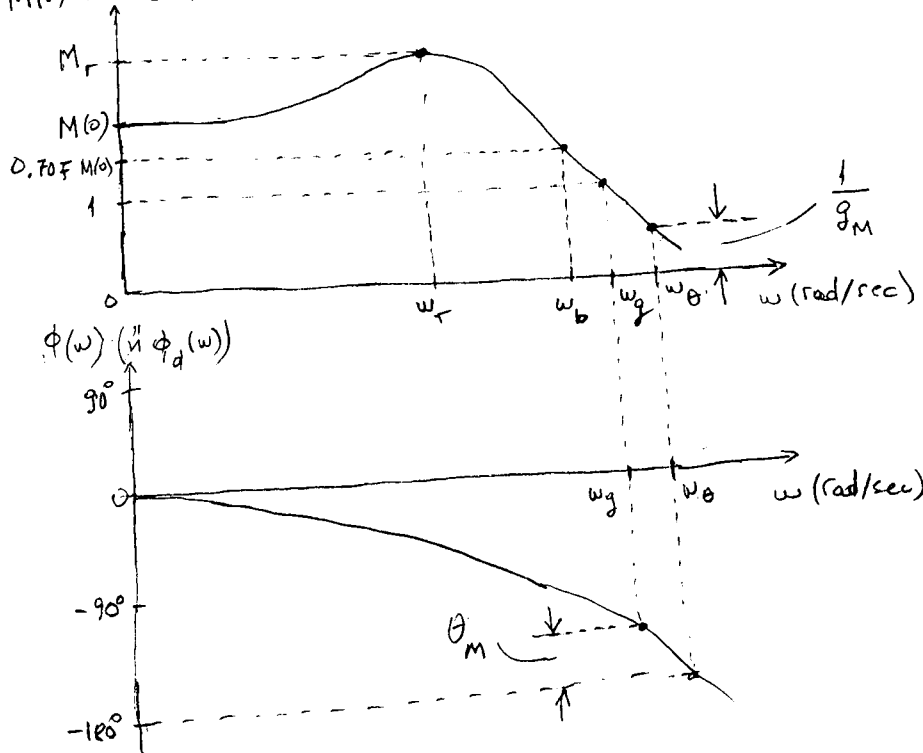
Απεικονίσεις αρμονικών αποκρίσεων:

- (α) Διαγράμματα μέτρου & φάσης: $M(\omega)$ (ή $M_d(\omega)$) και $\phi(\omega)$ (ή $\phi_d(\omega)$) συναρτήσεις του ω
- (β) -"- Bode: $K(\omega)$ (ή $K_d(\omega)$) και $\phi(\omega)$ (ή $\phi_d(\omega)$) συναρτήσεις του $\log_{10}(\omega)$
- (γ) πολικό διάγραμμα: απεικονίζεται ο μιγαδός $G(j\omega)$ (ή $G(e^{j\omega T})$) στο μιγαδικό επίπεδο με παράμετρο το $\omega \in (-\infty, \infty)$.
- (δ) διάγραμμα Nyquist: όπως στο πολικό διάγραμμα απεικονίζεται ο μιγαδός $G(s)$ (ή $G(z)$) για μία ειδική τροχιά της παραμέτρου s (ή z).
- (ε) διάγραμμα μέτρου-φάσης: απεικονίζεται το κέρδος $K(\omega)$ (ή $K_d(\omega)$) συναρτήσεις της φάσης $\phi(\omega)$ (ή $\phi_d(\omega)$) με παράμετρο το ω .
- (στ) διάγραμμα Nichols: διάγραμμα μέτρου-φάσης όχι της $G(j\omega)$ (ή της $G(e^{j\omega T})$) αλλά μιας άλλης μιγαδικής συνάρτησης του ω που ορίζεται έμπειρα έτσι ώστε να διατηρείται σταθερή η συνάρτηση

$$\left| \frac{G(j\omega)}{1+G(j\omega)} \right| \quad \text{ή} \quad \left| \frac{G(e^{j\omega T})}{1+G(e^{j\omega T})} \right|$$

Με βάση τα διαγράμματα μέτρου και φάσης συναρτήσεις του ω ορίζονται οι ακόλουθες ποσότητες στις οποίες ευχρύν επιβάλλονται προδιαγραφές.

$M(\omega)$ (ή $M_d(\omega)$)



$$M(\omega) = |G(j\omega)|$$

$$M_d(\omega) = |G(e^{j\omega T})|$$

$$\phi(\omega) = \arg\{G(j\omega)\}$$

$$\phi_d(\omega) = \arg\{G_d(e^{j\omega T})\}$$

Μέγιστο πλάτος σε συντονισμό M_r : η μέγιστη τιμή του μέτρου $M(\omega) = |G(j\omega)|$ (ή $M_d(\omega) = |G(e^{j\omega T})|$) ως προς την συχνότητα ω .

Κυκλική συχνότητα συντονισμού ω_r : η κυκλ. συχνότητα στην οποία συμβαίνει το παραπάνω μέγιστο, δηλ. $|G(j\omega_r)| = M_r$ (ή $|G(e^{j\omega_r T})| = M_r$).

Κυκλική συχνότητα αποκοπής ω_b : η κυκλ. συχνότητα για την οποία ισχύει: $|G(j\omega_b)| = \frac{\sqrt{2}}{2} |G(j0)|$ (ή $|G(e^{j\omega_b T})| = \frac{\sqrt{2}}{2} |G(1)|$).

2.
Περιθώριο κέρδους g_M : είναι το αντίστροφο του κέρδους $|G(j\omega_\theta)|$ (ή $|G(e^{j\omega_\theta T})|$)
 στην κυκλική συχνότητα ω_θ για την οποία ισχύει $\phi(\omega_\theta) = -180^\circ$ (ή $\phi_d(\omega_\theta) = -180^\circ$),
 δηλαδή :

$$g_M = \frac{1}{|G(j\omega_\theta)|} \quad \text{όπου } \omega_\theta \text{ είναι τ.ω. } \arg\{G(j\omega_\theta)\} = -180^\circ$$

$$\left(\text{ή } g_M = \frac{1}{|G(e^{j\omega_\theta T})|} \quad \text{όπου } \omega_\theta \text{ είναι τ.ω. } \arg\{G(e^{j\omega_\theta T})\} = -180^\circ \right)$$

Αν η συχνότητα ω_θ δεν είναι μοναδική τότε : $g_M = \min_i \left\{ \frac{1}{|G(j\omega_{\theta_i})|} \right\}$

Περιθώριο φάσης θ_M : είναι η γωνία $180^\circ + \phi(\omega_g)$ (ή $180^\circ + \phi_d(\omega_g)$)
 στην κυκλική συχνότητα ω_g για την οποία ισχύει $|G(j\omega_g)| = 1$ (ή $|G(e^{j\omega_g T})| = 1$),

δηλαδή :

$$\theta_M = 180^\circ + \arg\{G(j\omega_g)\} \quad \text{όπου } \omega_g \text{ είναι τ.ω. } |G(j\omega_g)| = 1$$

$$\left(\text{ή } \theta_M = 180^\circ + \arg\{G(e^{j\omega_g T})\} \quad \text{όπου } \omega_g \text{ είναι τ.ω. } |G(e^{j\omega_g T})| = 1 \right)$$

Αν η συχνότητα ω_g δεν είναι μοναδική τότε : $\theta_M = 180^\circ + \min_i \{ \arg\{G(j\omega_{g_i})\} \}$.

Παράδειγμα : $G(s) = \frac{K}{s+p}$

$$M(\omega) = |G(j\omega)| = \frac{K}{\sqrt{\omega^2 + p^2}}, \quad \phi(\omega) = \arg\{G(j\omega)\} = \arg\left\{\frac{K}{j\omega + p}\right\} = \arg\left\{\frac{K}{p^2 + \omega^2} (p - j\omega)\right\}$$

$$M_r = \max_{\omega} \{M(\omega)\} = \max_{\omega} \left\{ \frac{K}{\sqrt{\omega^2 + p^2}} \right\} = M(0) = \frac{K}{|p|}, \quad \omega_r = 0$$

$$M(\omega_b) = |G(j\omega_b)| = \frac{K}{\sqrt{\omega_b^2 + p^2}} = \frac{\sqrt{2}}{2} |G(j0)| = \frac{\sqrt{2}}{2} \frac{K}{|p|} \Rightarrow 2|p| = \sqrt{2(\omega_b^2 + p^2)}$$

$$\Rightarrow \omega_b^2 + p^2 = 2p^2 \Rightarrow \omega_b = \pm |p|$$

Περιθώριο κέρδους : $\phi(\omega) = \arg\left\{\frac{K}{p^2 + \omega^2} (p - j\omega)\right\} = \arctan\left\{-\frac{\omega}{p}\right\} \in (-90^\circ, 90^\circ), \forall \omega$
 $\Rightarrow \nexists \omega_\theta \Rightarrow g_M = \infty$ (??)

Περιθώριο φάσης : $M(\omega_g) = |G(j\omega_g)| = \frac{K}{\sqrt{\omega_g^2 + p^2}} = 1 \Rightarrow \sqrt{\omega_g^2 + p^2} = K \Rightarrow \omega_g^2 = K^2 - p^2$

αν $|K| > |p|$ τότε $\omega_g = \sqrt{K^2 - p^2}$,

οπότε $\theta_M = 180^\circ + \arg\{G(j\omega_g)\} = 180^\circ + \arg\left\{\frac{K}{j\omega_g + p}\right\} =$
 $= 180^\circ + \arg\left\{\frac{K}{p^2 + \omega_g^2} (p - j\omega_g)\right\} = 180^\circ + \arctan\left\{-\frac{\omega_g}{p}\right\}$
 $\Rightarrow \theta_M = 180^\circ - \arctan\left\{\frac{\sqrt{K^2 - p^2}}{p}\right\}$

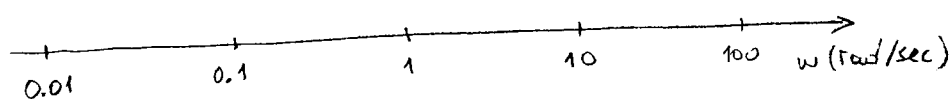
Απεικονίσεις αρμονικών αποκρίσεων

- (α) Διάγραμμα Bode : απεικονίζονται οι $K(\omega)$ και $\phi(\omega)$ συναρτήσεις του ω .
 (β) Διάγραμμα Nyquist : απεικονίζεται η $G(j\omega)$ σε πολική μορφή με παράμετρο το ω .
 (γ) Διάγραμμα Nichols : απεικονίζεται το $K(\omega)$ συναρτήσει της γάσης $\phi(\omega)$ σε καρτεσιανή μορφή με παράμετρο το ω .

7.5 Διάγραμματα Bode συστημάτων Σ.Χ.

Διάγραμμα Bode κέρδους : απεικονίζει την $K(\omega)$ συναρτήσει του ω για $\omega > 0$.
 άξονες : ω (rad/sec) σε λογαριθμική κλίμακα
 $K(\omega)$ (db) σε γραμμική -11-

Διάγραμμα Bode γάσης : απεικονίζει την $\phi(\omega)$ συναρτήσει του ω για $\omega > 0$.
 άξονες : ω (rad/sec) σε λογαριθμική κλίμακα
 $\phi(\omega)$ ($^\circ$) σε γραμμική -11-



προσοχή : η συχνότητα $\omega = 0$ δεν απεικονίζεται

Για τη χάραξη των Διαγραμμάτων Bode απαιτείται :

- (α) να παρεμφαντοποιηθούν ο αριθμητής & ο παρονομαστής της $G(s)$
 (β) η $G(s)$ να τεθεί στη μορφή :

$$G(s) = K \frac{\prod_{i=1}^{m_1} (1 + s \tilde{T}_i)}{\prod_{i=1}^{n_1} (1 + s T_i)} \frac{\prod_{k=1}^{m_2} \left[1 + 2 \frac{\tilde{\delta}_k}{\tilde{\omega}_k} s + \left(\frac{s}{\tilde{\omega}_k} \right)^2 \right]}{\prod_{k=1}^{n_2} \left[1 + 2 \frac{\delta_k}{\omega_k} s + \left(\frac{s}{\omega_k} \right)^2 \right]}$$

όπου οι πρωτοβάθμιοι παράγοντες αντιστοιχούν σε πραγματικούς πόλους/μηδενικά και οι δευτεροβάθμιοι -11- -11- μόνο σε ζεύγη μιγαδικών πόλων/μηδενικών

σημειώνεται : $\tilde{\delta}_k < 1$, $k=1, \dots, m_2$

$\delta_k < 1$, $k=1, \dots, n_2$

Αν $\tilde{\delta}_k \geq 1$ ή $\delta_k \geq 1$ ο δευτεροβάθμιος παράγοντας πρέπει να αναλυθεί σε γινόμενο 2 πρωτοβαθμίων.

Είναι : $\alpha^2 s^2 + \beta s + \gamma = \gamma \left(1 + \frac{\beta}{\gamma} s + \frac{\alpha}{\gamma} s^2 \right) = \gamma \left(1 + 2 \frac{\tilde{\delta}_1}{\omega_1} s + \frac{s^2}{\omega_1^2} \right)$ όπου $\omega_1 = \sqrt{\frac{\gamma}{\alpha}}$, $\tilde{\delta}_1 = \frac{\beta}{2\sqrt{\alpha\gamma}}$

$$\Delta = 4 \frac{\tilde{\delta}_1^2}{\omega_1^2} - 4 \frac{1}{\omega_1^2} = \frac{4}{\omega_1^2} (\tilde{\delta}_1^2 - 1) \quad \text{ή} \quad \Delta < 0 \Leftrightarrow |\tilde{\delta}_1| < 1.$$

Τότε

$$G(j\omega) = K \frac{\prod_{i=1}^{m_1} (1+j\omega \tilde{T}_i) \prod_{k=1}^{m_2} \left[1 + 2 \frac{\tilde{T}_k}{\omega_k} j\omega + \left(\frac{j\omega}{\omega_k}\right)^2\right]}{\prod_{i=1}^{n_1} (1+j\omega T_i) \prod_{k=1}^{n_2} \left[1 + 2 \frac{T_k}{\omega_k} j\omega + \left(\frac{j\omega}{\omega_k}\right)^2\right]}$$

Οπότε:

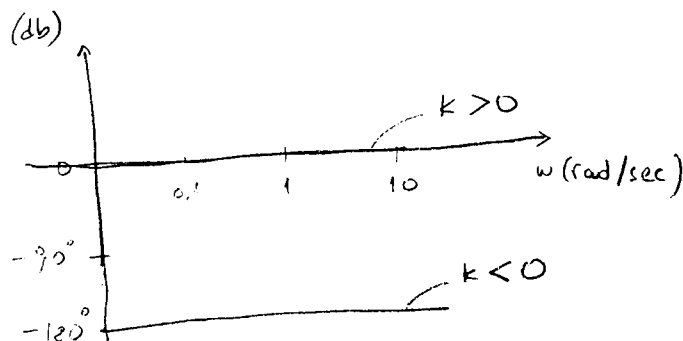
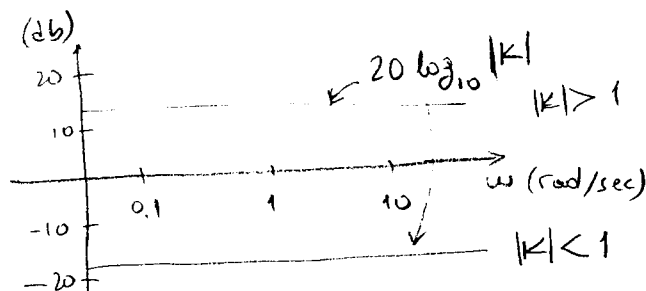
$$K(\omega) = 20 \log_{10} |G(j\omega)| = 20 \log_{10} \left\{ |K| \frac{\prod_i |1+j\omega \tilde{T}_i| \prod_k \left|1 + 2 \frac{\tilde{T}_k}{\omega_k} (j\omega) + \left(\frac{j\omega}{\omega_k}\right)^2\right|}{\prod_i |1+j\omega T_i| \prod_k \left|1 + 2 \frac{T_k}{\omega_k} (j\omega) + \left(\frac{j\omega}{\omega_k}\right)^2\right|} \right\}$$

$$\Rightarrow K(\omega) = \sum_{i=1}^{m_1} 20 \log_{10} |1+j\omega \tilde{T}_i| + \sum_{k=1}^{m_2} 20 \log_{10} \left|1 + 2 \frac{\tilde{T}_k}{\omega_k} (j\omega) + \left(\frac{j\omega}{\omega_k}\right)^2\right| - \sum_{i=1}^{n_1} 20 \log_{10} |1+j\omega T_i| - \sum_{k=1}^{n_2} 20 \log_{10} \left|1 + 2 \frac{T_k}{\omega_k} (j\omega) + \left(\frac{j\omega}{\omega_k}\right)^2\right| + 20 \log_{10} |K|$$

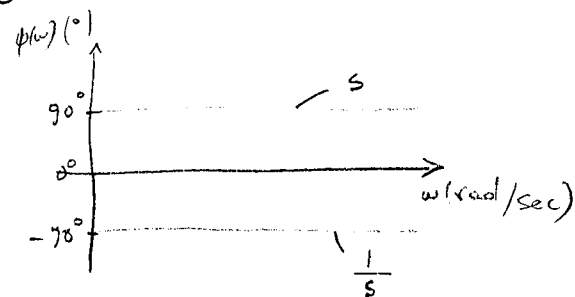
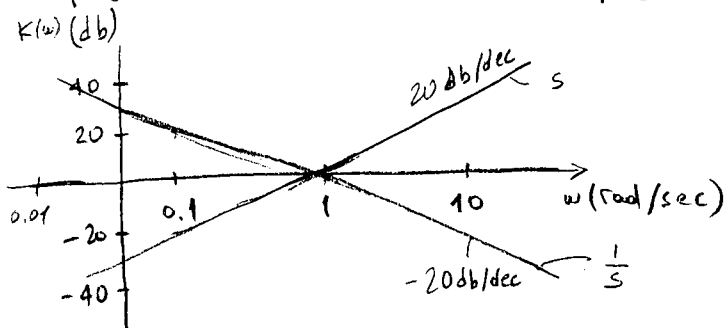
\Rightarrow διάγραμμα Bode κέρδους της $G(s)$ προκύπτει προσθέτοντας διαγρ. Bode κέρδους απλών παραγόντων

$$\phi(\omega) = \arg\{G(j\omega)\} = \sum_{i=1}^{m_1} \arg(1+j\omega \tilde{T}_i) + \sum_{k=1}^{m_2} \arg\left(1 + 2 \frac{\tilde{T}_k}{\omega_k} (j\omega) + \left(\frac{j\omega}{\omega_k}\right)^2\right) - \sum_{i=1}^{n_1} \arg(1+j\omega T_i) - \sum_{k=1}^{n_2} \arg\left(1 + 2 \frac{T_k}{\omega_k} (j\omega) + \left(\frac{j\omega}{\omega_k}\right)^2\right) + \arg(K)$$

\Rightarrow διάγραμμα Bode φάσης της $G(s)$ προκύπτει προσθέτοντας διαγρ. Bode φάσης απλών παραγόντων,

Παράγοντες: Κέρδος K παράγοντες παραγόμενοι ή ολοκληρώματα: $s^{\pm 1}$ - " - 1^{ος} βαθμοί: $(1+sT)^{\pm 1}$ - " - 2^{ος} βαθμοί: $\left[1 + 2\zeta\left(\frac{s}{\omega_n}\right) + \left(\frac{s}{\omega_n}\right)^2\right]^{\pm 1}$ (α) Κέρδος K :

(β) παρεχόμενες ο αποκρίσεις ή παρεχόμενες : $\frac{1}{s}$ ή s



$$K(\omega) = 20 \log_{10} \left| \frac{1}{j\omega} \right| = 20 \log_{10} \frac{1}{\omega}$$

$$= -20 \log_{10}(\omega)$$

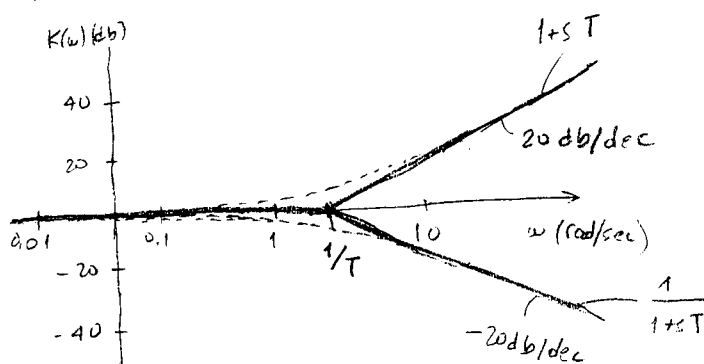
$$K(\bar{\omega}) = 0 \Rightarrow \bar{\omega} = 1$$

$$\phi(\omega) = \arg\left(\frac{1}{j\omega}\right) = \arg\left(-\frac{j}{\omega}\right) =$$

$$= \arctan\left(-\frac{1/\omega}{0}\right) = -90^\circ$$

(γ) πρωτοβάθμιας παρεχόμενες : $\frac{1}{1+sT}$ ή $1+sT$

(i) αν $T > 0$:



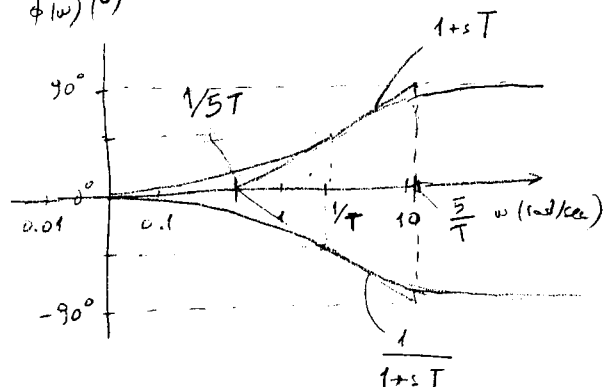
$$K(\omega) = 20 \log_{10} \left| \frac{1}{1+j\omega T} \right| = -20 \log_{10} \sqrt{1+\omega^2 T^2}$$

$$\text{αν } \omega \ll \frac{1}{T} : K(\omega) \approx -20 \log_{10}(1) = 0 \triangleq K_{as}(\omega)$$

$$\text{αν } \omega \gg \frac{1}{T} : K(\omega) \approx -20 \log_{10}(\omega T) \triangleq K_{as}(\omega)$$

$$\text{συχνότητα διασέσης : } K_{as}(\omega_0) = 0 \Leftrightarrow \omega_0 = \frac{1}{T}$$

$\phi(\omega) (^\circ)$



$$\phi(\omega) = \arg\left(\frac{1}{1+j\omega T}\right) = -\arctan(\omega T)$$

$$\text{αν } \omega \rightarrow 0 : \phi(\omega) \approx 0$$

$$\text{αν } \omega \rightarrow \infty : \phi(\omega) \approx -90^\circ$$

$$\phi(\omega_0) = -\arctan(1) = -45^\circ$$

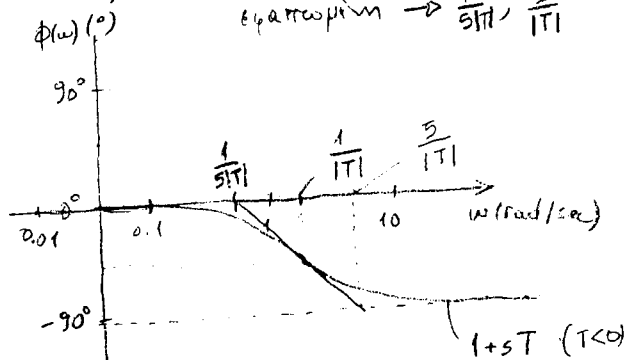
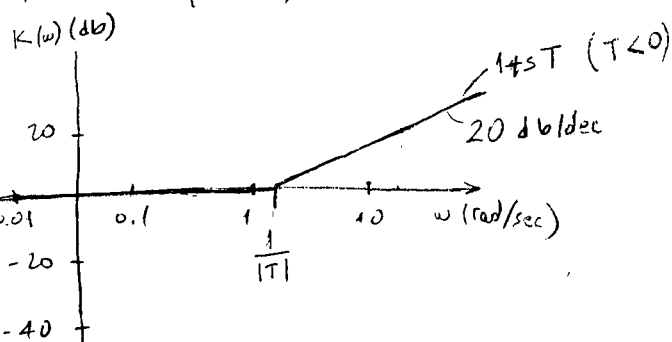
η εφαπτομένη της $\phi(\omega)$ στο $(\frac{1}{T}, \pm 45^\circ)$
είναι η ακριβής τιμή της συχνότητας $\frac{1}{5T}$ ή $\frac{5}{T}$

(ii) αν $T < 0$:

$$K(\omega) = 20 \log_{10} |1+j\omega T| = -20 \log_{10} \sqrt{1+\omega^2 T^2} = -20 \log_{10} |1+j\omega |T|| \Rightarrow \omega_0 = \frac{1}{|T|}$$

$$\phi(\omega) = \arg(1+j\omega T) = \arctan(\omega T) = -\arctan(\omega |T|) \Rightarrow \phi(\omega_0) = -\arctan(1) = -45^\circ$$

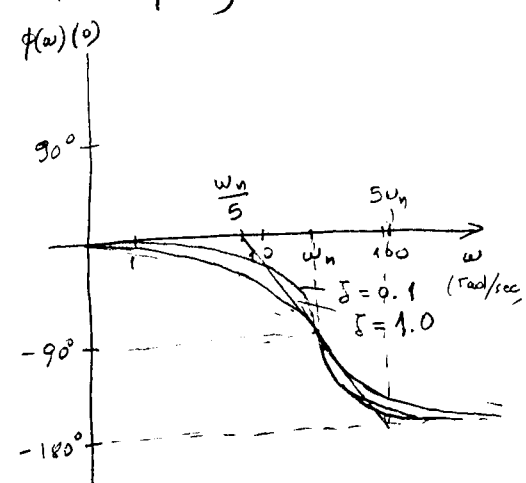
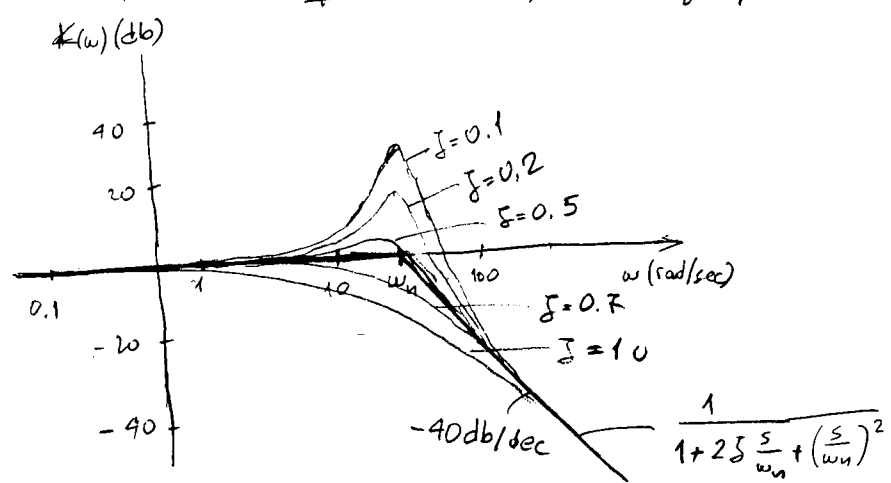
εφαπτομένη $\rightarrow \frac{1}{5|T|}, \frac{5}{|T|}$



(δ) Δωρεοβάθμιος παρέχοντας : $\frac{1}{1+2\frac{\zeta}{\omega_n}s+(\frac{s}{\omega_n})^2}$ ή $1+2\frac{\zeta}{\omega_n}s+(\frac{s}{\omega_n})^2$

(i) αν $0 < \zeta < 1$

(αν $\zeta \geq 1$ πρέπει να αναλυθεί σε γινόμενο 2 πρώτοβαθμίων όρων)



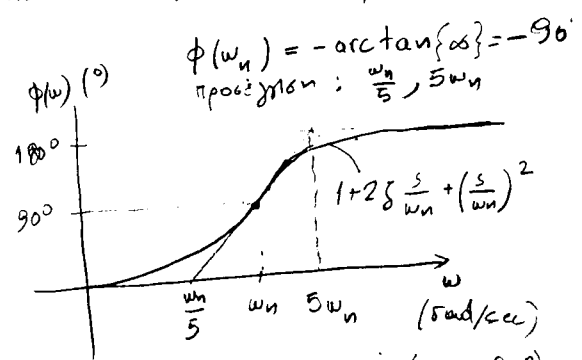
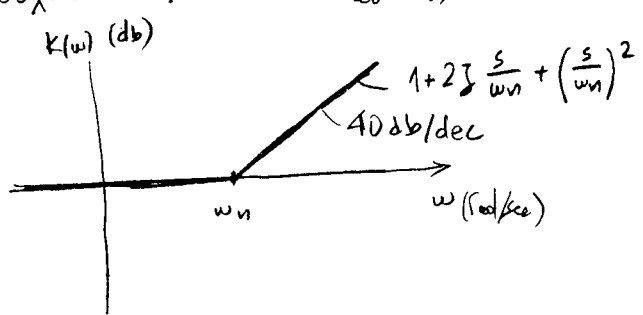
$$K(\omega) = 20 \log_{10} \left| \frac{1}{1+2\zeta(j\frac{\omega}{\omega_n})+(j\frac{\omega}{\omega_n})^2} \right| = -20 \log_{10} \sqrt{(1-\frac{\omega^2}{\omega_n^2})^2 + (2\zeta\frac{\omega}{\omega_n})^2}$$

$$\phi(\omega) = \arg \left(\frac{1}{1+2\zeta(j\frac{\omega}{\omega_n})+(j\frac{\omega}{\omega_n})^2} \right) = -\arctan \left(\frac{2\zeta(\omega/\omega_n)}{1-(\omega/\omega_n)^2} \right)$$

αν $\omega \ll \omega_n$: $K(\omega) \approx -20 \log_{10}(1) = 0 \triangleq K_{as}(\omega)$
 αν $\omega \gg \omega_n$: $K(\omega) \approx -20 \log_{10}(\frac{\omega^2}{\omega_n^2}) = -40 \log_{10}(\frac{\omega}{\omega_n}) \triangleq K_{as}(\omega)$

αν $\omega \rightarrow 0$: $\phi(\omega) \approx 0^\circ$
 αν $\omega \rightarrow \infty$: $\phi(\omega) \approx -180^\circ$

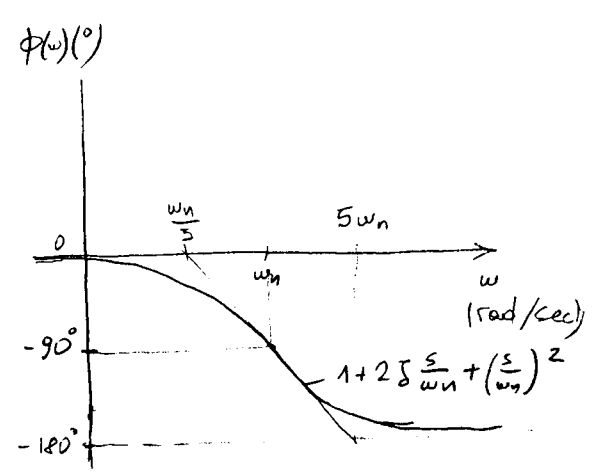
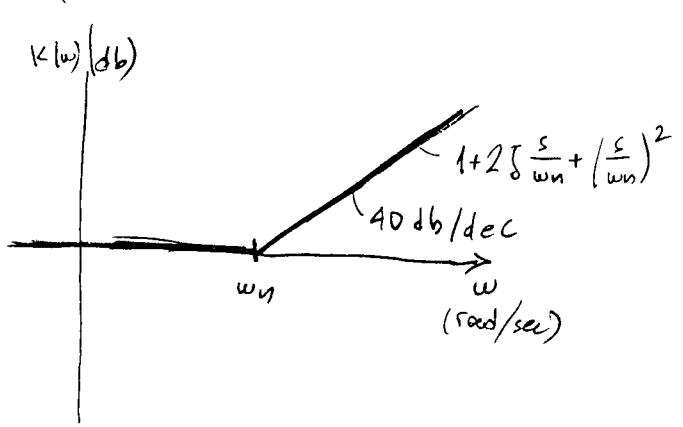
συχνότητα διακένου : $K_{as}(\omega_0) = 0 \Leftrightarrow \omega_0 = \omega_n$



προσέγγιση της $\phi(\omega)$ στο $(\omega_n, \pm 90^\circ)$:
 ζέρνεται ασυμπτωτικά στις συχν. $\frac{\omega_n}{5}$ & $5\omega_n$
 (όταν εφαρμόζεται αν $\zeta = 1$)

(ii) αν $-1 < \zeta < 0$

(αν $\zeta < -1$ πρέπει να αναλυθεί σε γινόμενο 2 πρώτοβαθμίων)



Παράδειγμα: $G(s) = \frac{10s-30}{s^4+3s^3+4s^2+2s}$

$$G(s) = \frac{10(s-3)}{s(s^3+3s^2+4s+2)} = \frac{10(s-3)}{s(s+2)(s^2+s+2)} = \frac{-30(1-\frac{s}{3})}{4s(1+\frac{s}{2})(1+\frac{s}{2}+\frac{s^2}{2})} = \frac{-7.5(1+\frac{s}{T_1})}{s(1+\frac{s}{T_2})(1+2\zeta\frac{s}{\omega_n}+\frac{s^2}{\omega_n^2})}$$

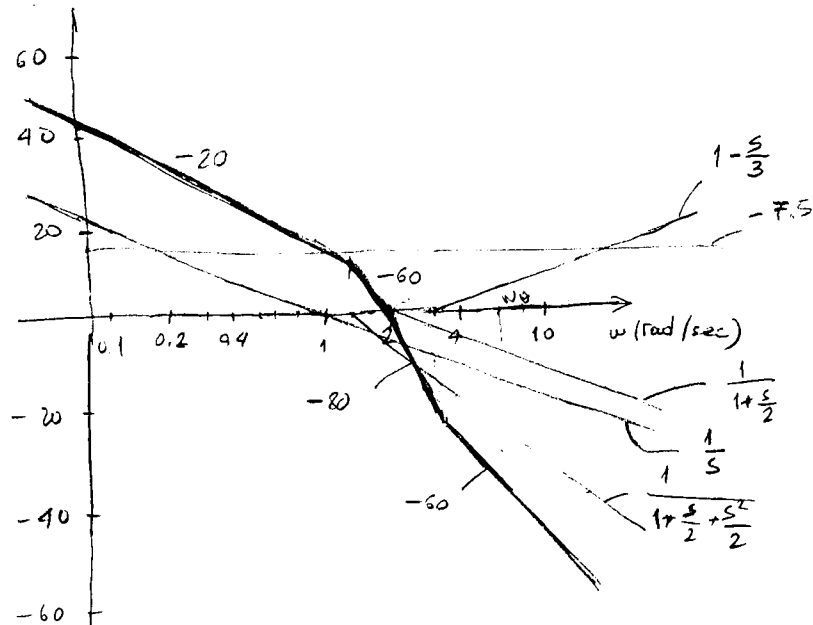
$$\Rightarrow T_1 = -\frac{1}{3}, \quad T_2 = \frac{1}{2}, \quad \omega_n = \sqrt{2}, \quad 2\frac{\zeta}{\omega_n} = \frac{1}{2} \Rightarrow \zeta = \frac{\omega_n}{4} = \frac{\sqrt{2}}{4} < 1 \text{ o.k.}$$

συχνότητες διατάξης: κρίσιμη: $\omega_{01} = \frac{1}{|T_1|} = 3$, κλίση 20 db/dec

παρονομαστή: $\omega_{02} = \frac{1}{T_2} = 2$, κλίση -20 db/dec

$\omega_{03} = \omega_n = \sqrt{2}$, κλίση -40 db/dec

$K(\omega)$ (db)



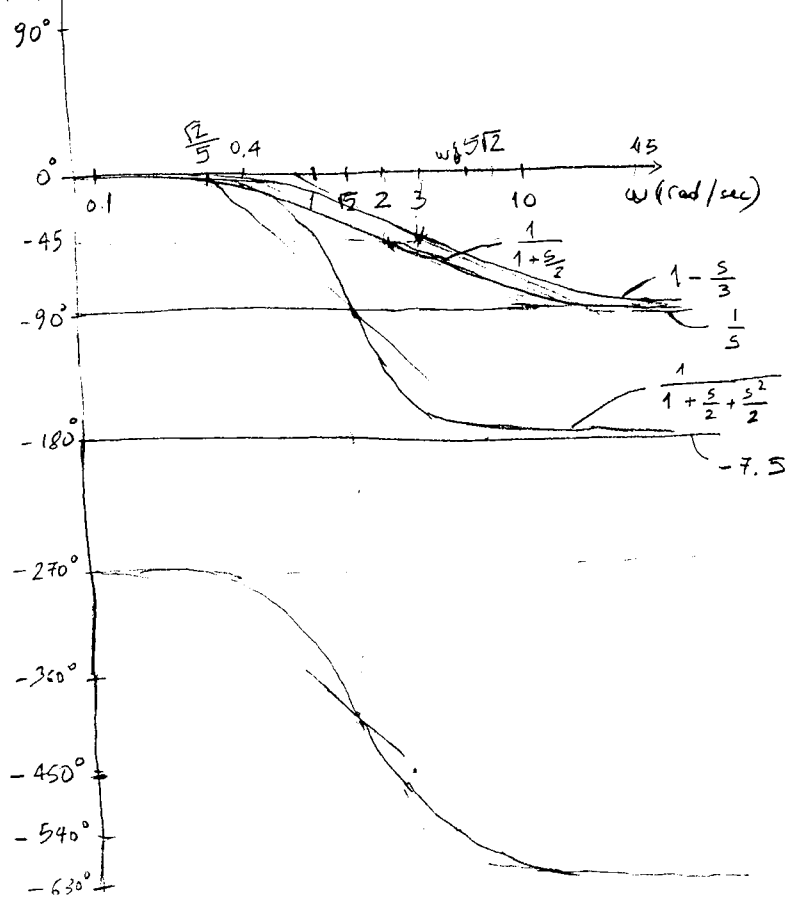
σταθερός όρος: $K = 20 \log_{10} |-7.5| = 17.5 \text{ db}$

$\omega_g \approx 2 \text{ rad/sec}$

$\arg\{G(j\omega_g)\} \approx -460^\circ$

$\theta_M \approx (180^\circ - 460^\circ) + 360^\circ = 540^\circ - 460^\circ = 80^\circ$

$\phi(\omega)$ ($^\circ$)



$\omega_g \approx 6 \text{ rad/sec}$

$20 \log_{10} |G(j\omega_g)| \approx -40 \text{ db}$

$20 \log_{10} \{g_M\} = 40 \text{ db}$

7.6 Διαγράμματα Bode συστημάτων Δ.Χ.

(α) χρειάζεται

Διαγρ. Bode κέρδους της $G(z)$: απεικονίζει την $K(\omega) = 20 \log_{10} |G(e^{j\omega T})|$
 ως συνάρτηση του $\omega > 0$ (ω σε ραδιομετρική κλίμακα)

Διαγρ. Bode φάσης της $G(z)$: απεικονίζει την $\phi(\omega) = \arg \{ G(e^{j\omega T}) \}$
 ως συνάρτηση του $\omega > 0$ (ω σε ραδιομετρική κλίμακα)

Δεν υπάρχει πλάνο ή ευκολία σχεδίασης των αντιστοιχικών διαγραμμάτων.

Παράδειγμα: $G(z) = \frac{1}{1+zT_1} \Rightarrow G(e^{j\omega T}) = \frac{1}{1+T_1 e^{j\omega T}} \Rightarrow$

$$e^{j\omega T} = \cos(\omega T) + j \sin(\omega T)$$

$$G(e^{j\omega T}) = \frac{1}{1+T_1 \cos(\omega T) + j T_1 \sin(\omega T)}$$

$$K(\omega) = 20 \log_{10} |G(e^{j\omega T})| = -20 \log_{10} |1+T_1 \cos(\omega T) + j T_1 \sin(\omega T)| =$$

$$= -20 \log_{10} \sqrt{1+T_1^2 + 2T_1 \cos(\omega T)} \rightarrow \text{περιοδική}$$

(Ενώ $G(s) = \frac{1}{1+sT_1} \Rightarrow K(\omega) = 20 \log_{10} |G(j\omega)| = -20 \log_{10} \sqrt{1+\omega^2 T_1^2} \rightarrow 0$ ως $\omega \rightarrow 0$
 $\rightarrow 20 \log_{10}(\omega T_1)$ ως $\omega \rightarrow \infty$)

Παρατηρούμε: Η $G(e^{j\omega T})$ είναι περιοδική συνάρτηση του ω με περίοδο $\omega_T = \frac{2\pi}{T}$.
 Πρέπει $e^{j(\omega + k\omega_T)T} = e^{j(\omega + \frac{2\pi k}{T})T} = e^{j\omega T} e^{j2\pi k} = e^{j\omega T} \Rightarrow G(e^{j(\omega + \frac{2\pi k}{T})T}) = G(e^{j\omega T})$

Επομένως τα διαγράμματα Bode αρκεί να σχεδιαστούν στην περιοχή:

$$0 \leq \omega \leq \frac{2\pi}{T}$$

Επειδή $|e^{j\omega T}| = 1 \forall \omega$, η $e^{j\omega T}$ διατρέχει την περίφραση του μοναδιαίου κύκλου (για διάφορα ω).

(β) με βάση το διτταμικό μετασχηματισμό

Διτταμικός μετασχηματισμός: $z = \frac{1+w}{1-w} \Leftrightarrow w = \frac{z-1}{z+1}$

Μετασχηματίζει το εσωτερικό του μοναδιαίου κύκλου (z) στο αριστερό ημιεπίπεδο (w)
 --- την περιφέρεια --- --- (z) των φανταστικών αξόνων (w).

Θέτουμε $\hat{G}(w) \triangleq G(z) \Big|_{z=\frac{1+w}{1-w}} = G\left(\frac{1+w}{1-w}\right)$

Τότε $G(z) \Big|_{z=e^{j\omega T}} = \hat{G}(w) \Big|_{w=\frac{e^{j\omega T}-1}{e^{j\omega T}+1}}$

όπως $w = \frac{e^{j\omega T} - 1}{e^{j\omega T} + 1} = \frac{e^{j\omega T/2} \frac{e^{-j\omega T/2} - e^{j\omega T/2}}{2j}}{e^{j\omega T/2} \frac{e^{j\omega T/2} + e^{-j\omega T/2}}{2}} = j \frac{\sin(\omega T/2)}{\cos(\omega T/2)} = j \tan\left(\frac{\omega T}{2}\right)$

Επομένως $G(e^{j\omega T}) = \hat{G}(j\Omega)$ όπου $\Omega = \tan\left(\frac{\omega T}{2}\right)$

Τα διαγράμματα Bode της $\hat{G}(w)$ κατασκευάζονται σαν να ήταν η $\hat{G}(w)$ συνάρτηση μεταφοράς ενός συστήματος συνεχούς χρόνου (w4ds),

δηλ. διαγράμμα Bode κέρδους: $K(\Omega) = 20 \log_{10} |\hat{G}(j\Omega)|$ συνάρτηση του $\log_{10} \Omega$
 --- --- φάσης: $\phi(\Omega) = \arg\{\hat{G}(j\Omega)\}$ --- --- ---

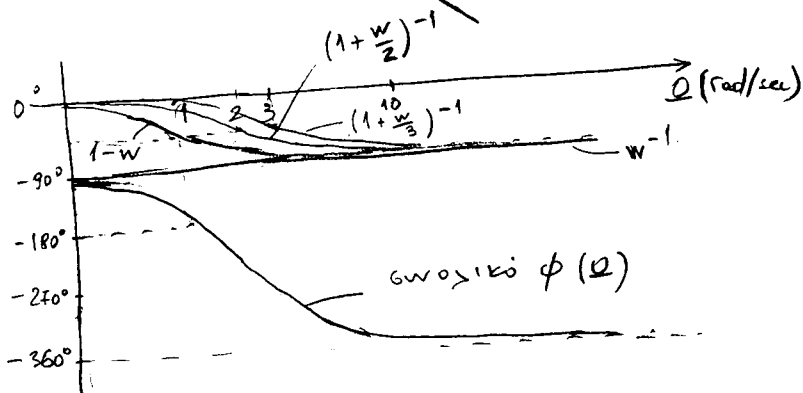
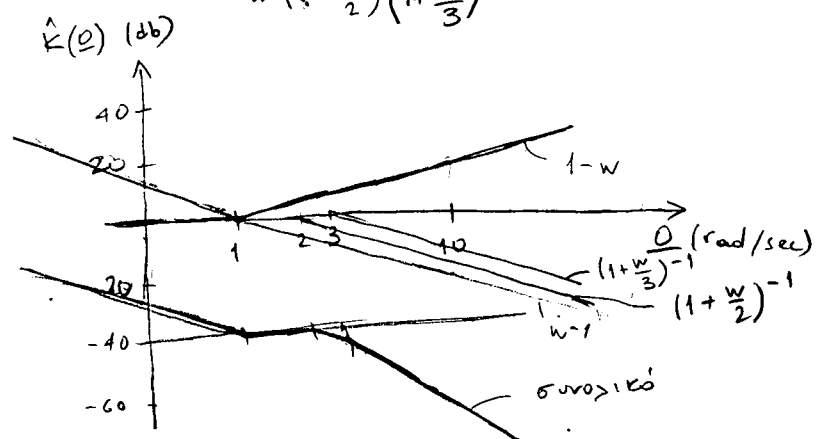
Στη συνέχεια μετατρέπονται τα περιθώρια κέρδους & φάσης με χρήση των

$\Omega = \tan\left(\frac{\omega T}{2}\right)$, $\omega = \frac{2}{T} \arctan\{\Omega\}$

Παράδειγμα: $G(z) = \frac{(z+1)^2}{100(z-1)(z+\frac{1}{3})(z+\frac{1}{2})}$

$\hat{G}(w) = G(z) \Big|_{z=\frac{1+w}{1-w}} = \frac{\left(\frac{1+w}{1-w} + 1\right)^2}{100 \left(\frac{1+w}{1-w} - 1\right) \left(\frac{1+w}{1-w} + \frac{1}{3}\right) \left(\frac{1+w}{1-w} + \frac{1}{2}\right)} = \frac{(1-w)(1+w+1-w)^2}{\frac{100}{6} (1+w-x+w)(3+3w+1-w) \cdot (2+2w+1-w)}$
 $= \frac{6 \cdot 4 (1-w)}{100 \cdot 2w \cdot (2w+4)(w+3)} = \frac{6}{100} \frac{1-w}{w(2+w)(3+w)} \Rightarrow$

$\hat{G}(w) = \frac{0.01 (1-w)}{w (1+\frac{w}{2})(1+\frac{w}{3})}$



σταθμίζω χρόνο & συχνότητες θάλας

αριθμητά: $T_1 = -1$, $\Omega_1 = \frac{1}{|T_1|} = 1$
 παρονομαστές: $T_2 = \frac{1}{2}$, $\Omega_2 = \frac{1}{T_2} = 2$
 $T_3 = \frac{1}{3}$, $\Omega_3 = \frac{1}{T_3} = 3$

$20 \log_{10}(0.01) = -40 \text{ db}$

Περιθώριο κέρδους:

$\arg\{\hat{G}(j\Omega_0)\} = -180^\circ \Rightarrow \Omega_0 \approx 1 \text{ rad/sec}$

$20 \log_{10}(g_M) = -20 \log_{10} |\hat{G}(j\Omega_0)| \approx 40 \text{ db}$

$\omega_0 = \frac{2}{T} \arctan\{\Omega_0\} \approx \frac{1.57}{T} \text{ rad/sec}$

Περιθώριο φάσης:

$|\hat{G}(j\Omega_g)| = 1 \Rightarrow \Omega_g \approx 0.01 \text{ rad/sec}$

$\theta_M = 180^\circ + \arg\{\hat{G}(j\Omega_g)\} \approx 180^\circ + (-90^\circ) = 90^\circ$

$\omega_g = \frac{2}{T} \arctan\{\Omega_g\} \approx \frac{0.02}{T} \text{ rad/sec}$

Απεικονίζει τον μιγάδα $G(j\omega)$ στο μιγαδικό επίπεδο με παράμετρο το $\omega \in (-\infty, \infty)$

$$G(j\omega) = \operatorname{Re}\{G(j\omega)\} + j \operatorname{Im}\{G(j\omega)\} = R(\omega) + jX(\omega)$$

$$= |G(j\omega)| \angle \phi(\omega) = |G(j\omega)| (\cos \phi(\omega) + j \sin \phi(\omega)), \quad \phi(\omega) = \arg\{G(j\omega)\} = \arctan\left\{\frac{X(\omega)}{R(\omega)}\right\}$$

Πολικό διάγραμμα της $G(s) =$ το σύνολο των σημείων $(R(\omega), X(\omega))$ για $\omega \in (-\infty, \infty)$
 (ο $G(j\omega)$ σε καρτεσιανή μορφή: άξονες $R(\omega) = \operatorname{Re}\{G(j\omega)\}$ και $X(\omega) = \operatorname{Im}\{G(j\omega)\}$)
 $=$ το σύνολο των σημείων $|G(j\omega)| \angle \phi(\omega)$ για $\omega \in (-\infty, \infty)$
 (ο $G(j\omega)$ σε πολική μορφή: ημιάξονες $\phi = 0^\circ, 90^\circ, 180^\circ, 270^\circ$)

Είναι: $R(\omega)$ άρτια συνάρτηση του ω , $X(\omega)$ περιττή συνάρτηση του ω , άρα

$$G(-j\omega) = \operatorname{Re}\{G(-j\omega)\} + j \operatorname{Im}\{G(-j\omega)\} = R(-\omega) + jX(-\omega) = R(\omega) - jX(\omega) = \overline{G(j\omega)}$$

\Rightarrow το πολικό διάγραμμα για συχνότητες $\omega \in (-\infty, 0]$ είναι το συμμετρικό του διαγράμματος για συχνότητες $\omega \in [0, \infty)$ ως προς τον πραγματικό άξονα.

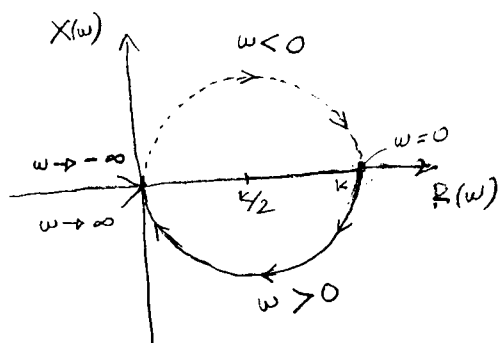
Ερμείευση σχεδίασης του Π.Δ.: προκύπτει ωδώς από τα διαγράμματα μέρους και φάσης της $G(s)$ ή από τα διαγράμματα Bode της $G(s)$, τα οποία δίνουν τον μιγάδα $G(j\omega)$, $\omega \in (0, \infty)$ σε πολική μορφή.

Άρτια σχεδίαση του Π.Δ.:

- (α) αρκεί η σχεδίαση στο διάστημα $\omega \in [0, \infty)$. Το υπόλοιπο είναι συμμετρικό ως προς τον πραγματικό άξονα: $G(-j\omega) = \overline{G(j\omega)}$
- (β) επισημαίνονται τα σημεία του Π.Δ. που αντιστοιχούν σε χαρακτηριστικές συχνότητες (π.χ. $\omega = 0, \omega \rightarrow \infty$) καθώς και η φορά αίσθησης του ω .
- (γ) δυσκολία στη σχεδίαση όταν η $G(s)$ έχει πόλους $j\hat{\omega}$ πάνω στον φανταστικό άξονα οπότε $\lim_{\omega \rightarrow \hat{\omega}} |G(j\omega)| \rightarrow \infty$ (βλ. διάγραμμα Nyquist).

Παράδειγμα: $G(s) = \frac{k}{1+sT} \Rightarrow G(j\omega) = \frac{k}{1+j\omega T} = \frac{k(1-j\omega T)}{1+\omega^2 T^2} = \frac{k}{1+\omega^2 T^2} - j \frac{k\omega T}{1+\omega^2 T^2}$

$$\Rightarrow R(\omega) = \operatorname{Re}\{G(j\omega)\} = \frac{k}{1+\omega^2 T^2}, \quad X(\omega) = \operatorname{Im}\{G(j\omega)\} = -\frac{k\omega T}{1+\omega^2 T^2}$$



$$\omega = 0 : R(0) = k, \quad X(0) = 0$$

$$\omega \rightarrow \infty : \lim_{\omega \rightarrow \infty} \{R(\omega)\} = 0, \quad \lim_{\omega \rightarrow \infty} \{X(\omega)\} = \lim_{\omega \rightarrow \infty} \left\{ -\frac{kT}{\frac{1}{\omega^2} + T^2} \right\} = 0$$

$$\text{Επί πλέον, } X(\omega) = -\omega T R(\omega) \Rightarrow \omega = -\frac{X(\omega)}{T R(\omega)}$$

$$\text{άρα } R(\omega) \left[1 + \left(\frac{X(\omega)}{T R(\omega)} \right)^2 T^2 \right] = k \Rightarrow R^2 + X^2 - kR = 0$$

$$\Rightarrow \left(R - \frac{k}{2} \right)^2 + X^2 = \frac{k^2}{4}$$

Πολικό διάγραμμα της $G(s) = \frac{k}{1+sT}$

Εύρεση των σημείων κοπής του πολικού διαγράμματος της $G(s)$ με τους άξονες. 90

$$G(s) = \frac{a(s)}{b(s)} = \frac{\tilde{a}(s^2) + s \hat{a}(s^2)}{\tilde{b}(s^2) + s \hat{b}(s^2)} \quad \text{όπου } \tilde{a}(s^2) \text{ και } \tilde{b}(s^2) \text{ είναι τα άρτια μέρη των } a(s), b(s) \\ s \hat{a}(s^2) \text{ και } s \hat{b}(s^2) \text{ -- -- -- περιττά -- -- -- -- --}$$

$$G(j\omega) = \operatorname{Re}\{G(j\omega)\} + j \operatorname{Im}\{G(j\omega)\} = R(\omega) + j X(\omega) \\ = \frac{\tilde{a}(-\omega^2) + j\omega \hat{a}(-\omega^2)}{\tilde{b}(-\omega^2) + j\omega \hat{b}(-\omega^2)} = \frac{[\tilde{a}(-\omega^2) + j\omega \hat{a}(-\omega^2)] [\tilde{b}(-\omega^2) - j\omega \hat{b}(-\omega^2)]}{(\tilde{b}(-\omega^2))^2 + \omega^2 (\hat{b}(-\omega^2))^2} = \\ = \frac{1}{|b(j\omega)|^2} \left[(\tilde{a}(-\omega^2)\tilde{b}(-\omega^2) + \omega^2 \hat{a}(-\omega^2)\hat{b}(-\omega^2)) + j\omega (\hat{a}(-\omega^2)\tilde{b}(-\omega^2) - \tilde{a}(-\omega^2)\hat{b}(-\omega^2)) \right]$$

σημεία κοπής με πραγματικό άξονα: $(R(\hat{\omega}), 0) = (G(j\hat{\omega}), 0) \quad (\text{αν } \exists R(\hat{\omega}))$
 όπου $\hat{\omega}$ είναι ρίζα της $X(\hat{\omega}) = 0$, δηλ. $\hat{\omega} [\hat{a}(-\hat{\omega}^2)\tilde{b}(-\hat{\omega}^2) - \tilde{a}(-\hat{\omega}^2)\hat{b}(-\hat{\omega}^2)] = 0 \quad (\text{αν } \neq 0)$

σημεία κοπής με φανταστικό άξονα: $(0, X(\tilde{\omega})) = (0, G(j\tilde{\omega}))$
 όπου $\tilde{\omega}$ είναι ρίζα της $R(\tilde{\omega}) = 0$, δηλ. $\tilde{a}(-\tilde{\omega}^2)\tilde{b}(-\tilde{\omega}^2) + \tilde{\omega}^2 \hat{a}(-\tilde{\omega}^2)\hat{b}(-\tilde{\omega}^2) = 0 \quad (\text{αν } \neq 0)$

Παράφοια για το πολικό διάγραμμα της $G(z)$.

Παράδειγμα: $G(s) = \frac{k}{1+s\tau} \Rightarrow R(\omega) = \frac{k}{1+\omega^2\tau^2}, \quad X(\omega) = -\frac{k\omega\tau}{1+\omega^2\tau^2}$

Η $R(\omega)$ δω μηδενίζεται, άρα \nexists σημεία κοπής με τον φανταστικό άξονα

$$X(\hat{\omega}) = 0 \Leftrightarrow \hat{\omega} = 0, \quad \text{οπότε } R(\hat{\omega}) = R(0) = k$$

\Rightarrow σημείο κοπής με πραγματικό άξονα: $(k, 0)$.

7.8 Πολικό διάγραμμα της $G(z)$ (συστήματα δ.χ.)

9:

Απεικονίζει τον μιγάδα $G(e^{j\omega T})$ στο μιγαδικό επίπεδο με παράμετρο $\omega \in (-\infty, \infty)$ (όπου T = σταδ. είναι η περίοδος δειγματοληψίας).

$$G(e^{j\omega T}) = |G(e^{j\omega T})| \angle \phi_d(\omega) = |G(e^{j\omega T})| e^{j\phi_d(\omega)} = |G(e^{j\omega T})| (\cos \phi_d(\omega) + j \sin \phi_d(\omega))$$

$$= R_d(\omega) + j X_d(\omega) \quad \text{όπου} \quad R_d(\omega) = \operatorname{Re}\{G(e^{j\omega T})\} = |G(e^{j\omega T})| \cos \phi_d(\omega)$$

$$X_d(\omega) = \operatorname{Im}\{G(e^{j\omega T})\} = |G(e^{j\omega T})| \sin \phi_d(\omega)$$

$$\phi_d(\omega) = \arg\{G(e^{j\omega T})\} = \arctan \left\{ \frac{X_d(\omega)}{R_d(\omega)} \right\}$$

Πολικό διάγραμμα της $G(z)$ = το σύνολο των σημείων $(R_d(\omega), X_d(\omega))$ για $\omega \in (-\infty, \infty)$
 $(G(e^{j\omega T}))$ σε καρτεσιανή μορφή: άξονες $R_d(\omega), X_d(\omega)$
 = το σύνολο των σημείων $|G(e^{j\omega T})| \angle \phi_d(\omega)$ για $\omega \in (-\infty, \infty)$
 $(G(e^{j\omega T}))$ σε πολική μορφή

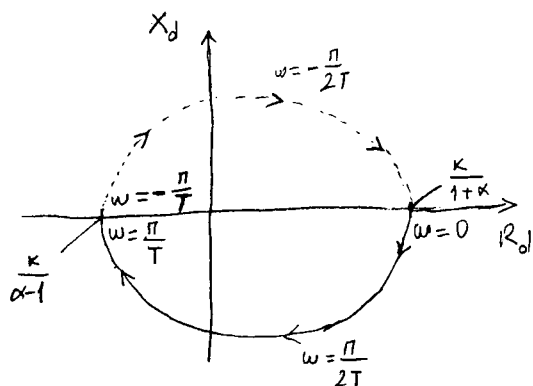
Όμως: $G(e^{j\omega T}) = G(e^{j(\omega T + 2k\pi)}) = G(e^{j(\omega + \frac{2k\pi}{T})T})$, $k=0, \pm 1, \pm 2, \dots$
 δηλαδή η $G(e^{j\omega T})$ είναι περιοδική συνάρτηση του ω με περίοδο $\omega_T = \frac{2\pi}{T}$
 άρα αρκεί η σχεδίαση του Π.Δ. στην περιοχή $\omega \in [-\frac{\pi}{T}, \frac{\pi}{T}]$.

Επίσης: $e^{j\omega T} = \cos(\omega T) + j \sin(\omega T)$, επομένως
 $G(e^{-j\omega T}) = G(\cos(-\omega T) + j \sin(-\omega T)) = G(\cos(\omega T) - j \sin(\omega T)) = G(\overline{e^{j\omega T}}) = \overline{G(e^{j\omega T})}$
 δηλαδή το Π.Δ. για $\omega \in (-\infty, 0]$ είναι το συμμετρικό του Π.Δ. για $\omega \in [0, \infty)$
 ως προς τον πραγματικό άξονα.

\Rightarrow αρκεί η σχεδίαση του Π.Δ. στο διάστημα $\omega \in [0, \frac{\pi}{T}]$ ή $\omega T \in [0, \pi]$.
 Το Π.Δ. για $\omega \in [-\frac{\pi}{T}, 0]$ είναι συμμετρικό ως προς τον πραγματικό άξονα
 και για $\omega \notin [-\frac{\pi}{T}, \frac{\pi}{T}]$ συντίθεται με το Π.Δ. για $\omega \in [-\frac{\pi}{T}, \frac{\pi}{T}]$ λόγω περιοδικότητας.

Δυσκολία στη σχεδίαση όταν η $G(z)$ έχει πόλους $\hat{z} = e^{j\hat{\omega}T}$ πάνω στον μοναδιαίο κύκλο, οπότε $\lim_{\omega \rightarrow \hat{\omega}} |G(e^{j\hat{\omega}T})| \rightarrow \infty$ (βλ. διάγραμμα Nyquist).

Παράδειγμα: $G(z) = \frac{\kappa}{z + \alpha}$, $\kappa > 0$, $0 < \alpha < 1$.



$$G(e^{j\omega T}) = \frac{\kappa}{e^{j\omega T} + \alpha} = \frac{\kappa}{\cos(\omega T) + \alpha + j \sin(\omega T)} = \frac{\kappa (\cos(\omega T) + \alpha - j \sin(\omega T))}{(\cos(\omega T) + \alpha)^2 + \sin^2(\omega T)}$$

$$= \frac{\kappa (\cos(\omega T) + \alpha)}{1 + \alpha^2 + 2\alpha \cos(\omega T)} - j \frac{\kappa \sin(\omega T)}{1 + \alpha^2 + 2\alpha \cos(\omega T)} = R_d(\omega) + j X_d(\omega)$$

$$\omega = 0: R_d(0) = \frac{\kappa(1+\alpha)}{(1+\alpha)^2} = \frac{\kappa}{1+\alpha}, \quad X_d(0) = 0$$

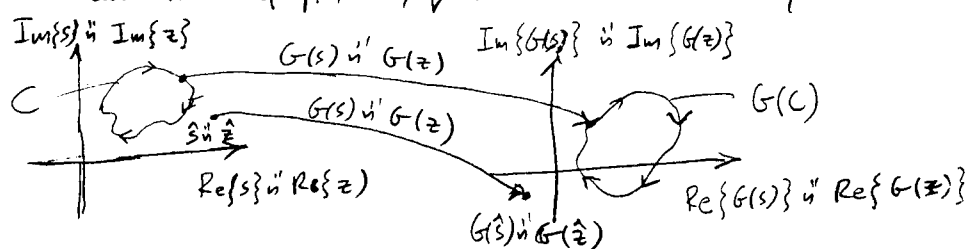
$$\omega = \frac{\pi}{2T}: R_d(\frac{\pi}{2T}) = \frac{\kappa \alpha}{1 + \alpha^2}, \quad X_d(\frac{\pi}{2T}) = -\frac{\kappa}{1 + \alpha^2}$$

$$\omega = \frac{\pi}{T}: R_d(\frac{\pi}{T}) = \frac{\kappa(-1+\alpha)}{(1-\alpha)^2} = \frac{\kappa}{\alpha-1}, \quad X_d(\frac{\pi}{T}) = 0$$

8.1 Εισαγωγή

Το διάγραμμα Nyquist της $G(s)$ ή της $G(z)$:

- αποτελεί γενίκεση του αντίστοιχου πολικού διαγράμματος.
- αντιπροσωπεύει τις δυσκολίες που προκύπτουν όταν η $G(s)$ έχει πόλους πάνω στον φανταστικό άξονα ή η $G(z)$ έχει πόλους πάνω στον μοναδιαίο κύκλο.
- εξετάζει την $G(s)$ ή την $G(z)$ σαν απεικονίσεις του μιγαδικού επιπέδου s ή z στο μιγαδικό επίπεδο $G(s)$ ή $G(z)$ αντίστοιχα ($G: \mathbb{C} \rightarrow \mathbb{C}$).
- ορίζει μία κλειστή καμπύλη (διαδρομή Nyquist) στο επίπεδο s ή z που αποφεύγει τους πόλους της $G(s)$ ή $G(z)$.
- το διάγραμμα Nyquist είναι η κλειστή καμπύλη που προκύπτει όταν η διαδρομή Nyquist απεικονισθεί μέσω της $G(s)$ ή $G(z)$.

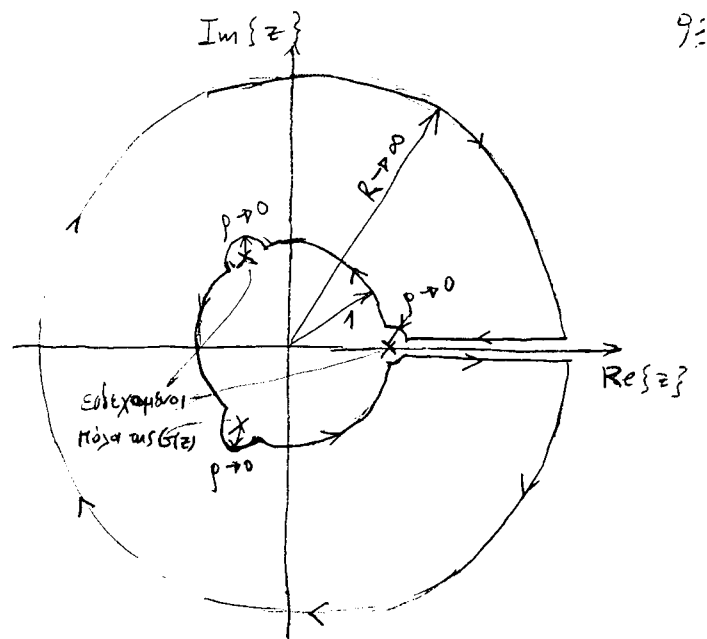
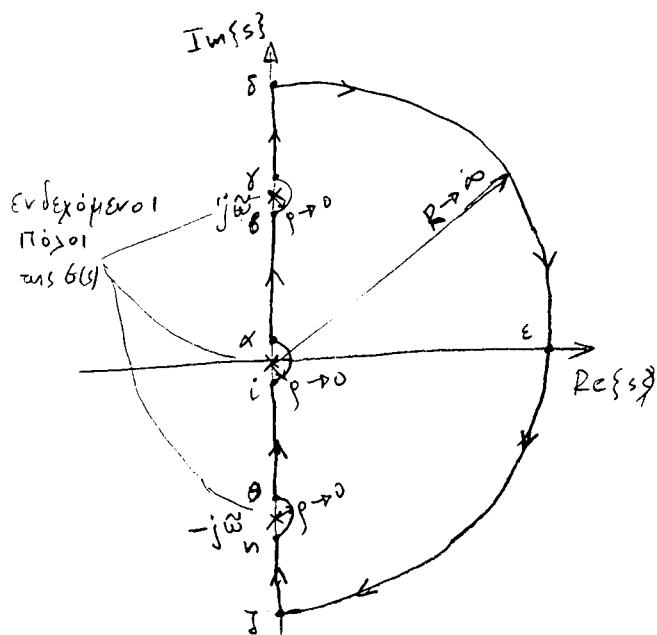


Μία ρητή συνάρτηση $G(s)$ ή $G(z)$ της μιγαδικής μεταβλητής s ή z έχει τις εξής ιδιότητες:

- είναι ανεστρεψίμη (δηλαδή συνεχώς διαφορίσιμη) σε όλα τα άλλα σημεία του μιγαδικού επιπέδου s ή z εκτός από τους πόλους της (ιδιότροφα σημεία της G).
- απεικονίζει κάθε κλειστή καμπύλη του μιγαδικού επιπέδου s ή z σε μία κλειστή καμπύλη του μιγαδικού επιπέδου $G(s)$ ή $G(z)$.
- είναι εύμορφη απεικόνιση, δηλαδή η γωνία μεταξύ δύο τεμνομένων καμπυλών του επιπέδου s ή z διατηρείται αμετάβλητη κατά την απεικόνιση των καμπυλών στο επίπεδο $G(s)$ ή $G(z)$.

8.2 Η διαδρομή Nyquist

- Για συστήματα σ.χ. είναι κλειστή καμπύλη που περιλαμβάνει όλο το δεξιό ήμιεπίπεδο μαζί με τον φανταστικό άξονα εκτός ενδεχόμενων πόλων της $G(s)$ πάνω στον φανταστικό άξονα.
- Για συστήματα δ.χ. είναι κλειστή καμπύλη που περιλαμβάνει όλο το επίπεδο z εκτός του εσωτερικού του μοναδιαίου κύκλου και ενδεχόμενων πόλων της $G(z)$ πάνω στον μοναδιαίο κύκλο.



διαδρομή Nyquist για συνάρτηση δ.χ.

διαδρομή Nyquist για συνάρτηση δ.χ.

- τμήμα α β : $s = j\omega$, $\omega \in (0, \tilde{\omega})$
 -||- ε δ : $s = \lim_{r \rightarrow 0} \{j\tilde{\omega} + r e^{j\theta}\}$, $\theta \in [-90^\circ, 90^\circ]$
 -||- γ δ : $s = j\omega$, $\omega \in (\tilde{\omega}, \infty)$
 -||- δ ε ζ : $s = \lim_{R \rightarrow \infty} \{R e^{(-j)\theta}\}$, $\theta \in [-90^\circ, 90^\circ]$
 -||- ζ η : $s = j\omega$, $\omega \in (-\infty, -\tilde{\omega})$
 -||- η θ : $s = \lim_{r \rightarrow 0} \{-j\tilde{\omega} + r e^{j\theta}\}$, $\theta \in [-90^\circ, 90^\circ]$
 -||- θ ι : $s = j\omega$, $\omega \in (-\tilde{\omega}, 0)$
 -||- ι α : $s = \lim_{r \rightarrow 0} \{r e^{j\theta}\}$, $\theta \in [-90^\circ, 90^\circ]$

8.3 Το διάγραμμα Nyquist

Το διάγραμμα Nyquist της $G(s)$ ή της $G(z)$:

- είναι η κλειστή καμπύλη του μιγαδικού επιπέδου $G(s)$ ή $G(z)$ που προκύπτει απεικονίζοντας την διαδρομή Nyquist μέσω της $G(s)$ ή $G(z)$.
- αν το πολικό διάγραμμα της $G(s)$ ή της $G(z)$ είναι κλειστή γραμμή, τότε το διάγραμμα Nyquist ταυτίζεται με το πολικό διάγραμμα.
- αν όχι, τότε το πολικό διάγραμμα συμπληρώνεται με τις εικόνες των πόλων γύρω από τους πόλους του φανταστικού άξονα.
- το επ' άπειρο τόξο ενώνεται σε ένα σημείο του επιπέδου $G(s)$ ή $G(z)$ το οποίο ταυτίζεται με το επ' άπειρο σημείο του πολικού διαγράμματος.
- αν η $G(s)$ δεν έχει πόλους πάνω στον φανταστικό άξονα τότε το διάγραμμα Nyquist ταυτίζεται με το πολικό διάγραμμα.

$$G(s) = \frac{\alpha_0 + \alpha_1 s + \dots + \alpha_m s^m}{b_0 + b_1 s + \dots + b_n s^n}, \quad n \geq m \Rightarrow G(j\omega) = \frac{\alpha_0 + \alpha_1(j\omega) + \dots + \alpha_m(j\omega)^m}{b_0 + b_1(j\omega) + \dots + b_n(j\omega)^n}$$

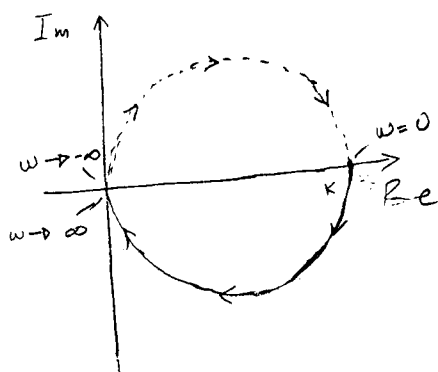
A) Αν το σύστημα δεν έχει πόλους πάνω στον φανταστικό άξονα

$$G(j0) = \frac{\alpha_0}{b_0}$$

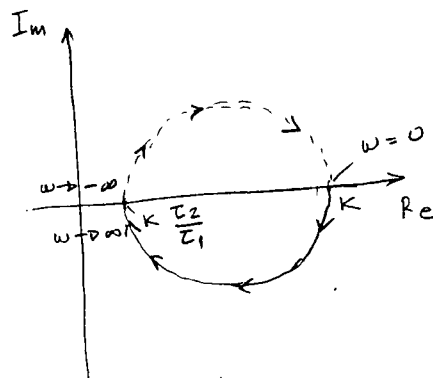
$$\lim_{R \rightarrow \infty} \{G(R e^{j\theta})\} = \lim_{R \rightarrow \infty} \left\{ \frac{1}{R^{n-m}} \cdot \frac{\frac{\alpha_0}{R^m} + \frac{\alpha_1 e^{j\theta}}{R^{m-1}} + \dots + \frac{\alpha_{m-1} e^{j(m-1)\theta}}{R} + \alpha_m e^{jm\theta}}{\frac{b_0}{R^n} + \frac{b_1 e^{j\theta}}{R^{n-1}} + \dots + \frac{b_{n-1} e^{j(n-1)\theta}}{R} + b_n e^{jn\theta}} \right\} = \begin{cases} 0 & \text{αν } n > m \\ \frac{\alpha_n}{b_n} & \text{αν } n = m \end{cases}$$

\Rightarrow το διάγραμμα Nyquist ταυτίζεται με το ποτικό διάγραμμα.

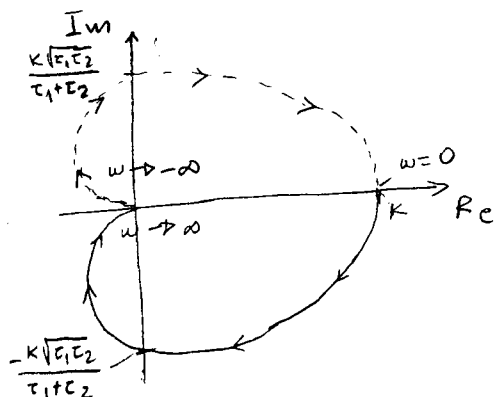
Παράδειγμα: $K > 0, \tau_i > 0, i=1, 2, \dots$



$$G(s) = \frac{K}{1 + s\tau_1}$$



$$G(s) = K \frac{1 + s\tau_2}{1 + s\tau_1}$$



$$G(s) = \frac{K}{(1 + s\tau_1)(1 + s\tau_2)}$$

$$G(j\omega) = \frac{K}{(1 + j\omega\tau_1)(1 + j\omega\tau_2)} = \frac{K}{1 - \omega^2\tau_1\tau_2 + j\omega(\tau_1 + \tau_2)}$$

$$= \frac{K(1 - \omega^2\tau_1\tau_2 - j\omega(\tau_1 + \tau_2))}{(1 - \omega^2\tau_1\tau_2)^2 + \omega^2(\tau_1 + \tau_2)^2}$$

$$G(j0) = K, \quad \lim_{\omega \rightarrow \infty} \{G(j\omega)\} = 0$$

$$X(\hat{\omega}) = 0 \Rightarrow \hat{\omega} = 0, \quad R(0) = K \Rightarrow (K, 0)$$

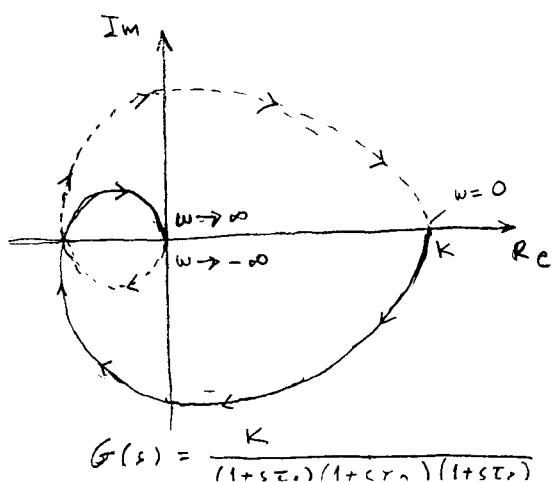
$$R(\tilde{\omega}) = 0 \Rightarrow \tilde{\omega} = \pm \frac{1}{\sqrt{\tau_1\tau_2}}, \quad X(\tilde{\omega}) = \frac{K\tilde{\omega}(\tau_1 + \tau_2)}{\tilde{\omega}^2(\tau_1 + \tau_2)^2} = \pm \frac{K\sqrt{\tau_1\tau_2}}{\tau_1 + \tau_2}$$

$$G(j0) = K, \quad \lim_{\omega \rightarrow \infty} \{G(j\omega)\} = 0$$

$$G(j\omega) = \frac{K}{(1 - \omega^2\tau_1\tau_2 + j\omega(\tau_1 + \tau_2))(1 + j\omega\tau_3)} = \frac{K}{1 - \omega^2(\tau_1\tau_2 + \tau_1\tau_3 + \tau_2\tau_3) + j\omega(\tau_1 + \tau_2 + \tau_3 - \omega^2\tau_1\tau_2\tau_3)}$$

$$X(\hat{\omega}) = 0 \Rightarrow \begin{cases} \hat{\omega} = 0, & R(0) = K \\ \hat{\omega} = \pm \sqrt{\frac{\tau_1 + \tau_2 + \tau_3}{\tau_1\tau_2\tau_3}}, & R(\hat{\omega}) = \frac{K\tau_1\tau_2\tau_3}{\tau_1\tau_2\tau_3 - (\tau_1 + \tau_2 + \tau_3) * } \end{cases}$$

$$R(\tilde{\omega}) = 0 \Rightarrow \tilde{\omega} = \pm \frac{1}{\sqrt{\tau_1\tau_2 + \tau_1\tau_3 + \tau_2\tau_3}}, \quad X(\tilde{\omega}) = \dots$$



$$G(s) = \frac{K}{(1 + s\tau_1)(1 + s\tau_2)(1 + s\tau_3)}$$

B) Αν το σύστημα έχει l πόλους στο 0 χωρίς άλλους πόλους στον φανταστικό άξονα. 95
(σύστημα τύπου l)

$$G(s) = \frac{\alpha_0 + \alpha_1 s + \dots + \alpha_m s^m}{s^l (b_l + b_{l+1} s + \dots + b_n s^{n-l})}, \text{ δηλαδή } b_0 = b_1 = \dots = b_{l-1} = 0$$

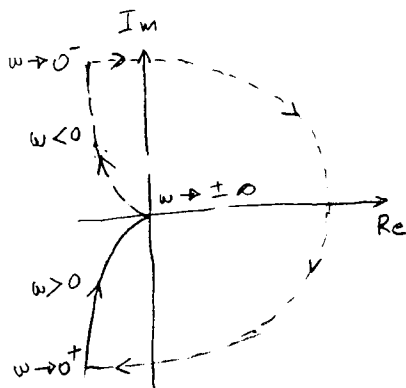
$$\lim_{R \rightarrow \infty} \{G(R e^{j\theta})\} = \begin{cases} 0 & \text{αν } n > m \\ \frac{\alpha_n}{b_n} & \text{αν } n = m \end{cases} \quad (\text{όπως προηγουμένως})$$

$$\lim_{\rho \rightarrow 0} \{G(\rho e^{j\theta})\} = \lim_{\rho \rightarrow 0} \left\{ \frac{\alpha_1 + \alpha_1 \rho e^{j\theta} + \dots + \alpha_m \rho^m e^{jm\theta}}{\rho^l e^{jl\theta} (b_l + b_{l+1} \rho e^{j\theta} + \dots + b_n \rho^{n-l} e^{j(n-l)\theta})} \right\} = e^{jl\theta} \infty, \theta \in [-\frac{\pi}{2}, \frac{\pi}{2}]$$

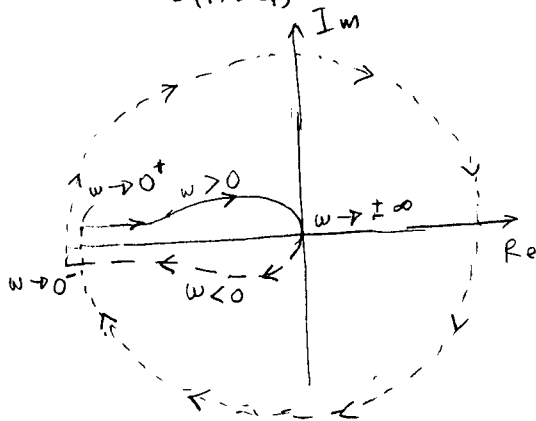
\Rightarrow Διάγραμμα Nyquist \neq πολικό διάγραμμα

Διάγραμμα Nyquist = πολικό διάγραμμα + l ημικύκλια άπειρης ακτίνας.

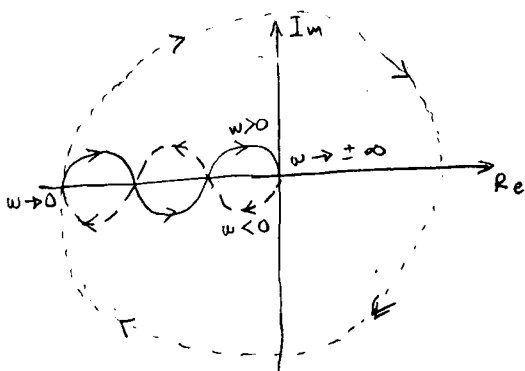
Παράδειγμα: $K > 0, \tau_i > 0, i=1, 2, \dots$



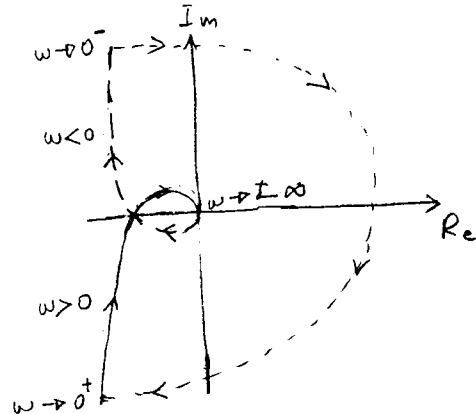
$$G(s) = \frac{K}{s(1+s\tau_1)}$$



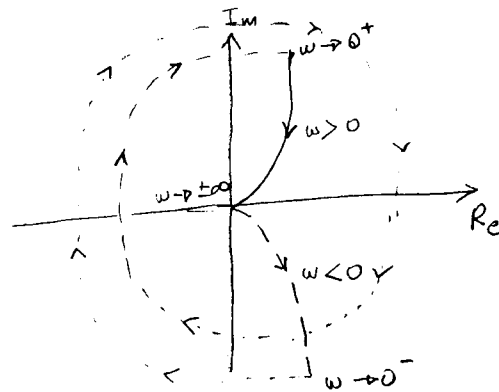
$$G(s) = \frac{K}{s^2(1+s\tau_1)}$$



$$G(s) = \frac{K(1+s\tau_4)(1+s\tau_5)}{s^2(1+s\tau_1)(1+s\tau_2)(1+s\tau_3)}$$



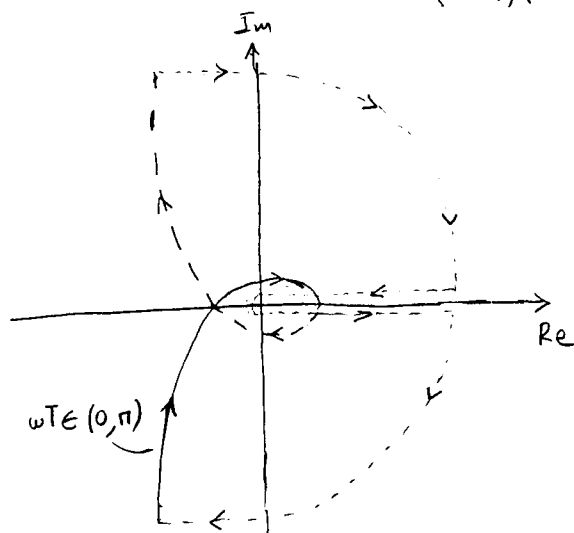
$$G(s) = \frac{K}{s(1+s\tau_1)(1+s\tau_2)}$$



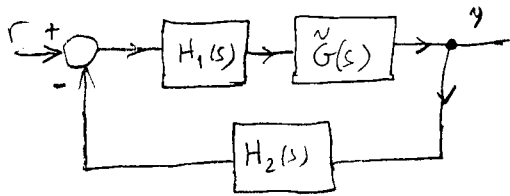
$$G(s) = \frac{K}{s^3(1+s\tau_1)}$$

Γίνεται παρόμοια με αυτή των συστημάτων σ.χ. με βάση όμως τη διαφορά Nyquist δ.χ.

Παράδειγμα: $G(z) = \frac{K}{(z-1)(z-q)}$, $q \in (0,1)$



$$G(e^{j\omega T}) = \frac{K}{(e^{j\omega T} - 1)(e^{j\omega T} - q)}$$



Συνάρτηση μεταφοράς κλειστού βρόχου:

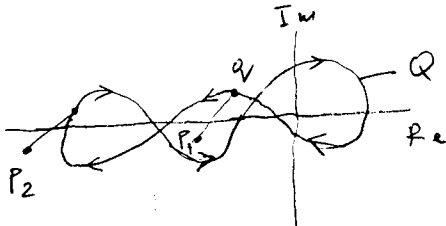
$$y = \tilde{G}(s) H_1(s) (r - H_2(s)y) \Rightarrow$$

$$G(s) = \frac{y}{r} = \frac{\tilde{G}(s) H_1(s)}{1 + H_1(s) H_2(s) \tilde{G}(s)} = \frac{\tilde{G}(s) H_1(s)}{1 + G_0(s)}$$

Συνάρτηση μεταφοράς ανοικτού βρόχου: $G_0(s) = H_1(s) H_2(s) \tilde{G}(s)$.

Κριτήριο ευστάθειας Nyquist: από διάγραμμα Nyquist $G_0(s)$ συνάγει ευστάθεια $G(s)$.

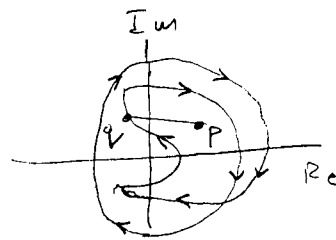
Ορισμός: Μια καμπύλη $Q \subset \mathbb{C}$ περιτρεχούμενη N φορές το σημείο $p \in \mathbb{C}$ κατά τη δετική φορά αν το πάρει επιβατικής ακτίνες από το p μέχρι ένα σημείο $q \in Q$ (κρηνική) περιτρεχέται δεξιόστροφα (αριστερόστροφα) κατά $360N$ μοίρες καθώς το q διατρέχει πλήρως την καμπύλη Q .



Αριθμός περιτρεχισμάτων

$$\text{του } p_1: N_1 = -1$$

$$\text{του } p_2: N_2 = 0$$



$$N = 2$$

Το κριτήριο ευστάθειας Nyquist βασίζεται στο ακόλουθο θεώρημα της μιγαδικής ανάλυσης

Θεώρημα Cauchy: Αν C είναι μία κλειστή καμπύλη του μιγαδικού επιπέδου s , αν $F(s)$ είναι μία ρητή συνάρτηση αναλυτική $\forall s \in C$ (δεν έχει πόλους πάνω στην C), αν Q είναι η εικόνα της C μέσω της $F(s)$, και αν η Q περιτρεχούμενη την αρχή των αξόνων N φορές κατά την δετική φορά, τότε ισχύει

$$N = Z_F - P_F$$

όπου: Z_F είναι ο αριθμός των μηδενικών (ρίζων) της $F(s)$ μέσα στη C
 P_F " " " " των πόλων της $F(s)$ μέσα στη C .

Πρόταση: Η εικόνα Q της κλειστής καμπύλης C μέσω της $F(s) = 1 + K W(s)$ περιτρεχούμενη την αρχή των αξόνων N φορές, αν και μόνο αν η εικόνα Q' της C μέσω της $W(s)$ περιτρεχούμενη το σημείο $(-\frac{1}{K}, 0)$ N φορές.

(Ιδίες διασκέψεις για ευστάθεια δ.χ.)

9.
Ας είναι: C η διαδρομή Nyquist συνεχούς ή διακριτού χρόνου

$F(s)$ (ή $F(z)$) ο παρονομαστής της $G(s)$ (ή $G(z)$):

$$F(s) = 1 + G_0(s) = 1 + H_1(s) H_2(s) \tilde{G}(s)$$

$$(ή \quad F(z) = 1 + G_0(z) = 1 + H_1(z) H_2(z) \tilde{G}(z))$$

Τότε το Θεώρημα Cauchy \Rightarrow

Κριτήριο ευστάθειας Nyquist: Αν το διάγραμμα Nyquist της $G_0(s) = H_1(s) H_2(s) \tilde{G}$

(ή $G_0(z) = H_1(z) H_2(z) \tilde{G}(z)$) περιτριγυρίζει το σημείο $(-1, 0)$ N φορές κατά την

δικτική φορά, τότε ισχύει: $N = Z - P_0$

όπου Z = αριθμός ριζών της $1 + G_0(s)$ στο δεξιο ημιεπίπεδο $(Z \geq 0)$
(ή της $1 + G_0(z)$ εκτός του μοναδιαίου κύκλου)

P_0 = αριθμός πόλων της $G_0(s)$ στο δεξιο ημιεπίπεδο $(P_0 \geq 0)$
(ή της $G_0(z)$ εκτός του μοναδιαίου κύκλου)

Άρα το σύστημα κλειστού βρόχου είναι "ευσταθές" αν και μόνο αν ισχύει

$$Z = 0, \text{ δηλαδή } N = -P_0.$$

Παρατήρηση 1: Αν είναι $G_0(s) = K \hat{G}(s)$ τότε το κριτήριο ευστάθειας Nyquist ισχύει με N τον αριθμό περιτριγυρισμάτων του σημείου $(-\frac{1}{K}, 0)$ από το διάγραμμα Nyquist της $\hat{G}(s)$.

Παρατήρηση 2: Αν N_0 είναι ο αριθμός περιτριγυρισμάτων του σημείου $(0, 0)$ υπό το διάγραμμα Nyquist της $G_0(s)$, τότε

$$\Theta, \text{ Cauchy} \Rightarrow N_0 = Z_0 - P_0$$

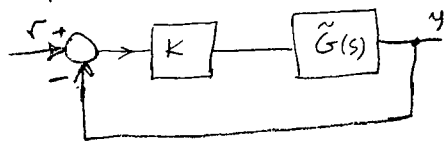
όπου Z_0 είναι ο αριθμός μηδενικών της $G_0(s)$ στο δεξιο ημιεπίπεδο.

Αν \bar{N}_0 είναι ο αριθμός περιτριγυρισμάτων του σημείου $(0, 0)$ από το διάγραμμα Nyquist του αριθμητή $\alpha_0(s)$ της $G_0(s)$, τότε

$$\Theta, \text{ Cauchy} \Rightarrow \bar{N}_0 = Z_0$$

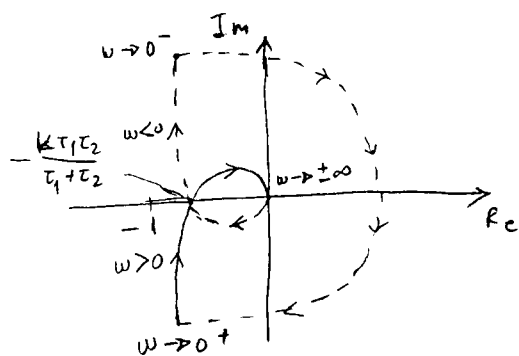
$$\text{Τελικά: } P_0 = Z_0 - N_0 = \bar{N}_0 - N_0.$$

Παράδειγμα :



$$\tilde{G}(s) = \frac{1}{s(1+s\tau_1)(1+s\tau_2)} \quad (H_1(s)=K, H_2(s)=1), \tau_1 > \tau_2$$

$$G_o(s) = \frac{K}{s(1+s\tau_1)(1+s\tau_2)}$$

Διάγραμμα Nyquist της $G_o(s)$

$$G_o(j\omega) = \frac{K}{j\omega(1+j\omega\tau_1)(1+j\omega\tau_2)} = -\frac{Kj}{\omega(1-\omega^2\tau_1\tau_2+j\omega(\tau_1+\tau_2))}$$

$$= -\frac{Kj(1-\omega^2\tau_1\tau_2-j\omega(\tau_1+\tau_2))}{\omega[(1-\omega^2\tau_1\tau_2)^2+\omega^2(\tau_1+\tau_2)^2]}$$

$$= \frac{-K\omega(\tau_1+\tau_2) - jK(1-\omega^2\tau_1\tau_2)}{\omega[(1-\omega^2\tau_1\tau_2)^2+\omega^2(\tau_1+\tau_2)^2]} = R(\omega) + jX(\omega)$$

βρούμε τμήμα του διαγράμματος Nyquist με τον πραγματικό άξονα :

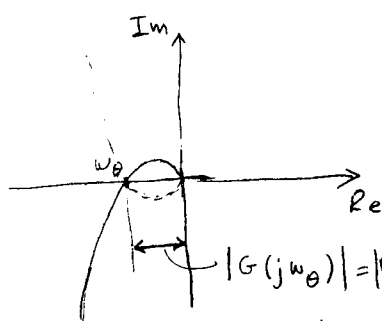
$$X(\omega) = 0 \Leftrightarrow \omega^2\tau_1\tau_2 = 1 \Leftrightarrow \hat{\omega} = \pm \frac{1}{\sqrt{\tau_1\tau_2}}$$

$$R(\hat{\omega}) = \frac{-K\hat{\omega}(\tau_1+\tau_2)}{\hat{\omega}[(1-\hat{\omega}^2\tau_1\tau_2)^2+\hat{\omega}^2(\tau_1+\tau_2)^2]} = -\frac{K(\tau_1+\tau_2)}{\frac{(\tau_1+\tau_2)^2}{\tau_1\tau_2}} = -\frac{K\tau_1\tau_2}{\tau_1+\tau_2}$$

Συστήμα χωρίς βρόχους ωσπείας $\Leftrightarrow N=Z=0$ (δίδει $P_o=0$)

$$\Leftrightarrow -1 < -\frac{K\tau_1\tau_2}{\tau_1+\tau_2} \Leftrightarrow K < \frac{\tau_1+\tau_2}{\tau_1\tau_2}$$

8.7 Περίθωρο κέρδους και φάσης



περίθωρο κέρδους :

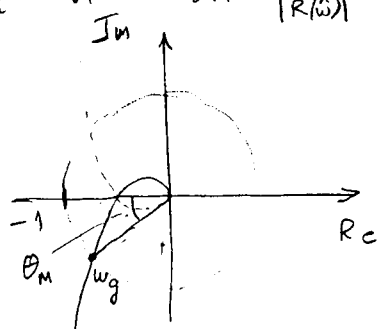
$$g_M = \frac{1}{|G(j\omega_0)|}$$

όπου ω_0 τ.ω. $\arg\{G(j\omega_0)\} = -180^\circ$
δηλ. $\text{Im}\{G(j\omega_0)\} = 0$

ήρα $g_M = \frac{1}{|R(\omega_0)|}$

επομένως τμήμα του διαγράμματος με τον πραγματικό άξονα

(παράδειγμα : $g_M = \frac{1}{|R(\hat{\omega})|} = \frac{\tau_1+\tau_2}{K\tau_1\tau_2}$)

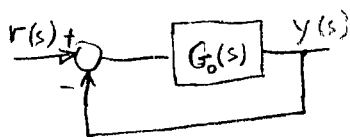


περίθωρο φάσης :

$$\theta_M = 180^\circ + \arg\{G(j\omega_g)\}, \text{όπου } \omega_g \text{ τ.ω. } |G(j\omega_g)| = 1$$

= η γωνία μεταξύ του ημιεξάγων $-Re$ και του σημείου όπου ο κύκλος με κέντρο $(0,0)$ και ακτίνα 1 τέμνει το διάγραμμα.

Συστήματα δ.χ. : τα ίδια με $G(e^{j\omega T})$ αντί της $G(j\omega)$.



συνάρτηση μεταφοράς κλειστού βρόχου: $G_{\kappa}(s) = \frac{G_o(s)}{1+G_o(s)}$

$$\Rightarrow G_{\kappa}(j\omega) = |G_{\kappa}(j\omega)| e^{j\phi_{\kappa}(\omega)},$$

$$|G_{\kappa}(j\omega)| = \left| \frac{G_o(j\omega)}{1+G_o(j\omega)} \right|, \quad \phi_{\kappa}(\omega) = \arctan \left\{ \frac{\text{Im}\{G_{\kappa}(j\omega)\}}{\text{Re}\{G_{\kappa}(j\omega)\}} \right\}$$

όμως $G_o(j\omega) = R_o(\omega) + jX_o(\omega)$

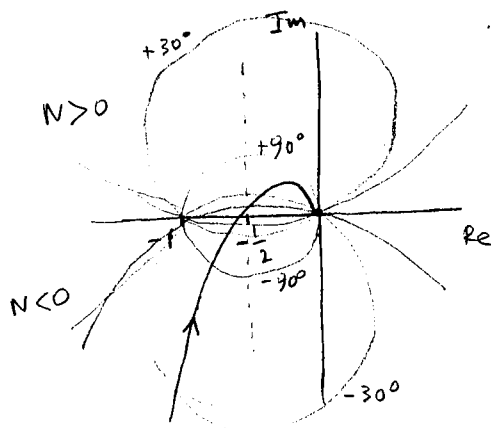
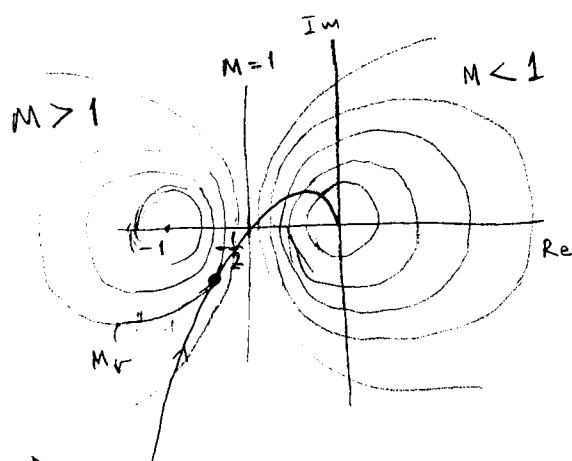
M-κύκλος: Γεωμετρικός τόπος ευρείων όπου $|G_{\kappa}(j\omega)| = M$:

$$|G_{\kappa}(j\omega)|^2 = \left| \frac{R_o(\omega) + jX_o(\omega)}{1 + R_o(\omega) + jX_o(\omega)} \right|^2 = \frac{R_o^2 + X_o^2}{(1+R_o)^2 + X_o^2} = M^2 \Leftrightarrow R_o^2 + X_o^2 = M^2(1+R_o^2 + 2R_o) + M^2X_o^2$$

$$\Leftrightarrow R_o^2(M^2-1) + X_o^2(M^2-1) + 2M^2R_o + M^2 = 0 \Leftrightarrow R_o^2 + 2\frac{M^2}{M^2-1}R_o + X_o^2 + \frac{M^2}{M^2-1} = 0$$

$$\Leftrightarrow \left(R_o + \frac{M^2}{M^2-1}\right)^2 + X_o^2 = \frac{M^4}{(M^2-1)^2} - \frac{M^2}{M^2-1} = \frac{M^2}{M^2-1} \left(\frac{M^2}{M^2-1} - 1\right) = \frac{M^2}{M^2-1} \left(\frac{M^2-M^2+1}{M^2-1}\right) = \frac{M^2}{(M^2-1)^2}$$

δηλαδή κύκλος κέντρου $\left(-\frac{M^2}{M^2-1}, 0\right)$ και ακτίνας $\left|\frac{M}{M^2-1}\right|$



N-κύκλος: Γεωμετρικός τόπος ευρείων όπου $\frac{\text{Im}\{G_{\kappa}(j\omega)\}}{\text{Re}\{G_{\kappa}(j\omega)\}} = N$:

$$G_{\kappa}(j\omega) = \frac{R_o(\omega) + jX_o(\omega)}{1 + R_o(\omega) + jX_o(\omega)} = \frac{(R_o + jX_o)(1 + R_o - jX_o)}{(1 + R_o)^2 + X_o^2} = \frac{R_o(1 + R_o) + X_o^2 + jX_o(1 + R_o - R_o)}{(1 + R_o)^2 + X_o^2} = \frac{R_o^2 + R_o + X_o^2 + jX_o}{(1 + R_o)^2 + X_o^2}$$

$$\Rightarrow \frac{X_o}{R_o^2 + R_o + X_o^2} = N \Leftrightarrow R_o^2 + R_o + X_o^2 - \frac{X_o}{N} = 0 \Leftrightarrow \left(R_o + \frac{1}{2}\right)^2 - \frac{1}{4} + \left(X_o - \frac{1}{2N}\right)^2 - \frac{1}{4N^2} = 0$$

$$\Leftrightarrow \left(R_o + \frac{1}{2}\right)^2 + \left(X_o - \frac{1}{2N}\right)^2 = \frac{1}{4} \left(1 + \frac{1}{N^2}\right)$$

δηλαδή κύκλος κέντρου $\left(-\frac{1}{2}, \frac{1}{2N}\right)$ και ακτίνας $\frac{1}{2} \sqrt{1 + \frac{1}{N^2}}$

Μέγιστο πλάτος σε συντονισμό $M_r = \omega M$ του M-κύκλου που εφάπτεται στο πολικό
διάγραμμα της $G_o(s)$